

# DODACI ZA CEMENTNE KOMPOZITE

## PODJELA ADITIVA:

- **sredstva za poboljšanje betona prilikom priprave**  
(lakše rukovanje i obradivost)
- **sredstva za mijenjanje karakteristika betona tijekom očvršćivanja** (usporivači i ubrzivači)
- **sredstva za poboljšanje kvalitete**  
(fizička,kemijska,toplinska) **očvrstog betona**  
(plastifikatori, aeranti, filterska  $\text{SiO}_2$  prašina, leteći pepeli, sredstva protiv smrzavanja itd.)

## Djelotvornost aditiva:

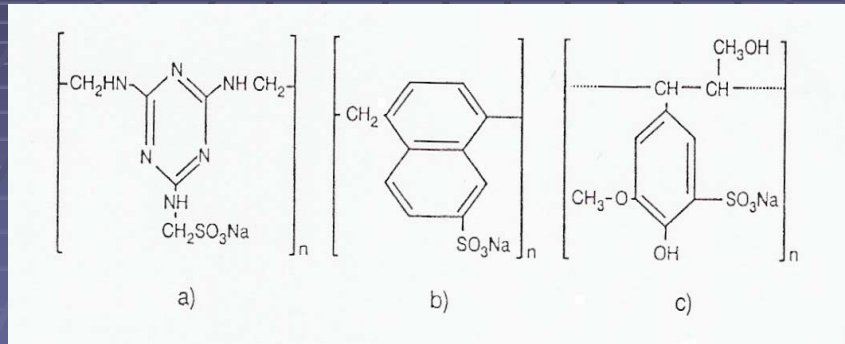
- smanjenje negativnih pojava prilikom vezanja i očvršćivanja
- poboljšanje kvalitete

## SUPERPLASTIFIKATORI

- veliko smanjenje vode
  - nema promjene obradivosti (i obrnuto)
- Podjela superplastifikatora prema kemijskom sastavu:
- sulfonirane melamin-formaldehidne kondenzate (SMF)
  - sulfonirane naftalen-formaldehidne kondenzate (SNF)
  - modificirane ligno-sulfonate (MLS)
  - ostale tipove superplastifikatora (esteri sulfonskih kiselina)

Slika1. Reprezentativni segmenti polimera iz kemijskog sastava superplastifikatora:

- a)sulfonirani melamin- formaldehidni kondenzati (SMF)
- b)sulfonirani naftalen-formaldehidni kondenzati (SNF)
- c) modificirani lignosulfonati (MLS)



TRIAZINSKI PRSTEN  
Triamino derivat-melamin  
sulfoniran i kondenziran  
s formaldehidom  
Mr=30 000

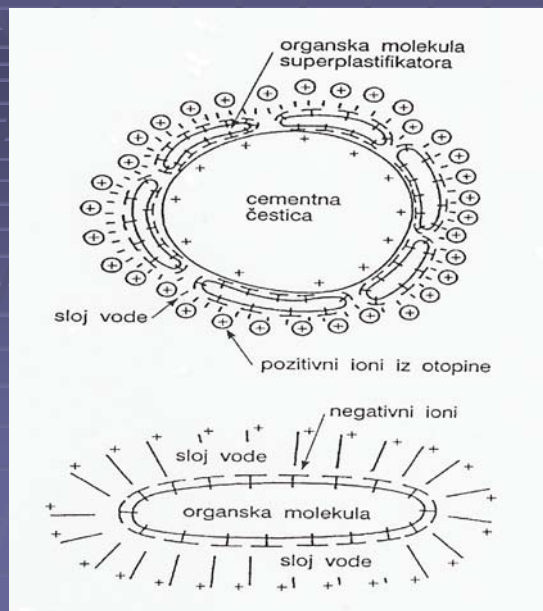
NAFTALENSKI PRSTEN  
Sulfoniran u β položaj  
kondenziran s formaldehidom  
preveden u Na sol  
10 osnovnih jedinica

SULFONIRANI FENIL-PROPAN  
s hidroksilnim, metoksi, karbonilnim  
i sulfonskim skupinama  
Mr=300-100 000

### Mehanizam djelovanja superplastifikatora:

- fluidnost
- pravilno balansiranje među silama u kompozitu
- odnos flokulacijskih i koloidnih sila
- deflokuliranje
- adsorbiranje

Slika 2. Shematski prikaz interakcije molekule superplastifikatora u sustavu cement-voda-superplastifikator



### Rezultati dodatka superplastifikatora

- Disperzija aglomerata
- Manje trenje-manja energija
- Rast hidratačijskih produkata

### Utjecaj superplastifikatora na hidrataciju cementa

- Omjer v/c
- Količina superplastifikatora
- Mr, temperatura
- Usporavaju hidrataciju C<sub>3</sub>A

## PLASTIFIKATORI

- Smanjenje površinske napetosti
- Brzo kvašenje
- Potpuna hidratacija

Ovisno o utjecaju na stupanj hidratacije razlikuju se:

- Normalni plastifikatori (NP)
- Plastifikatori ubrzivači (PA)
- Plastifikatori usporivači (PR)

## Tvari koje se rabe kao plastifikatori:

- lignosulfonske kiseline (Ca, Na i NH<sub>3</sub>-soli)
- hidroksikarbonske kiseline (Ca, Na i NH<sub>3</sub>-soli)
- ugljikohidrati
- ostale vrste

## Utjecaj plastifikatora na hidrataciju

### C<sub>3</sub>A

- $2 \text{C}_3\text{A} + 21 \text{H} \rightarrow \text{C}_4\text{AH}_{19}$  (ili  $\text{C}_4\text{AH}_{13}$ ) +  
 $\text{C}_2\text{AH}_8$  (1)
- $\text{C}_4\text{AH}_{19} + \text{C}_2\text{AH}_8 \rightarrow 2 \text{C}_3\text{AH}_6 + 15 \text{H}$  (2)
- ili
- $\text{C}_4\text{AH}_{13} + \text{C}_2\text{AH}_8 \rightarrow 2 \text{C}_3\text{AH}_6 + 9 \text{H}$  (3)

- usporena hidratacija C<sub>3</sub>A
- stabilizacija heksagonskih hidrata
- potisnuta hidratacija C<sub>3</sub>A

## Djelovanje lignosulfonata:

- a) malo usporenje ili malo ubrzanje početka vezanja
- b) usporenje kraja vezanja i smanjenje ranih čvrstoća portland cementa
- c) povećanje čvrstoća u kasnijoj hidrataciji

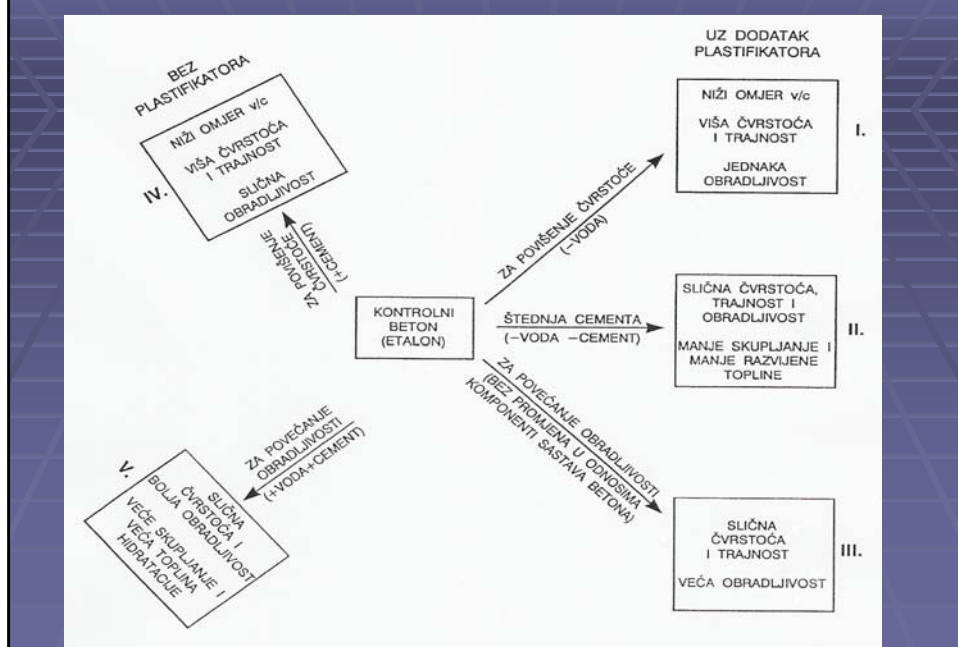
## Organski spojevi

- usporavaju ranu hidrataciju i razvoj topline hidratacije

## Saharoza- ubrzava početak vezanja

- produžava kraj vezanja
- djeluje na hidrataciju C<sub>3</sub>S-a

Slika 3. Shematski prikaz načina i svrhe uporabe plastifikatora



## DODACI PROTIV SMRZAVANJA

- zaustavljena hidratacija
- unutarnja naprezanja-razorena formirana struktura

### Podjela antifriznih dodataka

- a) antifrizni dodaci koji snizuju ledište tekuće faze (slabi ubrzivači i usporivači)
  - jaki i slabi elektroliti
- b) antifrizni dodaci koji imaju svojstvo ubrzanja vezanja i očvršćivanja - dobro antifrizno svojstvo
  - smjese NaCl, CaCl<sub>2</sub>, NaNO<sub>2</sub>, smjese Ca i Na-nitrita, smjese Ca i Na-nitrata

- visoko doziranje
- mijenjaju ionsku jakost otopine
- utječu na pH vodene otopine
- snižene konačne čvrstoće

## LETEĆI PEPELI

- ostaci nastali spaljivanjem mljevenog ugljena
- mineralni dodaci za beton
- nusprodukt u modernim termoelektranama
- veličina čestica
- sadržaj pucolanski aktivnog  $\text{SiO}_2$  i  $\text{CaO}$
- usporena hidratacija cementa
- pospješena inicijalna hidratacija  
(dispergiranje čestica cementa u vodi-nuklearne jezgre)

### Uporabom letećih pepela:

- smanjenje sadržaja cementa
- smanjenje troškova
- smanjenje topline hidratacije
- poboljšana obradivost

## AERANTI

- Površinski aktivne tvari koje smanjuju površinsku napetost između vode, čestica cementa i čestica agregata
- Miješanje betona – 2 procesa
  - 1) uvlačenje zraka vrtlogom
  - 2) uključuje agregat koji djeluje kao "trodimenzionalno sito"

" zarobljeni zrak "

### Dodatak aeranta

- više zraka dispergiranog u sitne mjehuriće
- stabilizacija sitnih mjehurića
- zadržavanje u cementnom kompozitu

### Aeranti su svrstani u ove skupine:

- soli aktivnih smola
- sintetski detergenti
- soli sulfoniranog lignina
- soli karbonskih kiselina koji se dobivaju od nafte
- soli dobivene od proteinског materijala
- masne kiseline i njihove soli

## FILTARSKA SiO<sub>2</sub> PRAŠINA

- ASTM C-1240-

“ Silica fume je fini pucolanski materijal koji se sastoji uglavnom od amorfног SiO<sub>2</sub> koji je nastao pri proizvodnji silicija ili ferosilicijevih slitina, a koji je znan i kao condensed silica fume i microsilica.” (CSF)

Aktivnost CSF-a:

- a) **pucolanska reakcija**



- b) **učinak sitnih čestica**

- nukleacijske jezgre

CSF- ubrzava hidrataciju C<sub>3</sub>A (28 dana)

## USPORIVAČI

- usporavaju brzinu vezanja cementa
- “odgađaju” se reakcije hidratacije
- prividno odgađanje oslobođanja topline hidratacije – usporavaju hidrataciju cementa

### Tvari koje se rabe kao usporivači:

- nerafinirani ili modificirani lignosulfati koji sadrže šećere
- hidroksikarbonske kiseline i izvedene modifikacije
- ugljikohidrati
- heptoni
- anorganske soli

## ANORGANSKI SPOJEVI:

- Borati
- Fosfati
- Soli Pb, Zn, As i Sn

**Zn>Pb>Cu>Sn>Cd**

- Zaštitni sloj želatinoznog oksida
- usporena konverzija  $C_2AH_8$  i  $C_4AH_{13}$  u  $C_3AH_6$

## UBRZIVAČI VEZANJA

- kemijskim putem utječu na vezanje i očvršćivanje
- aktivne tvari
  - a) kloridne
  - b) beskloridne

**Kloridni ubrzivači:**  $\text{CaCl}_2$ ,  $\text{NaCl}$  i  $\text{AlCl}_3$

**Beskloridni ubrzivači-** anorganski i organski spojevi  
(alkalni hidroksidi, karbonati, silikati, nitrati,  
formijati i kalcij-propionat)

## KLORIDNI UBRZIVAČI

Kalcijev klorid  $\text{CaCl}_2$  - jeftina supstancija  
- velik učinak ubrzanja vezanja

- Ubrzava hidrataciju  $\text{C}_3\text{S}$ -a

**Objašnjenja brze hidratacije:**

1. Anorganske soli smanjuju konc. hidroksilnih iona u otopini, taloži se kalcijev hidroksid i time uvjetuje ubrzavanje hidratacije
2. Kalcij-klorid potiče oslobođanje kalcija iz kalcijevih silikata i pospješuje precipitaciju kalcij hidroksida

- korozisko djelovanje na čelik
- armiranje 2%

Termička prednost- reguliranje trajanja  
obradivosti

- visoke rane čvrstoće
- reakcijska toplina (ispod 0°C)
- zaštitna sredstva protiv djelovanja mraza

### Nekloridni ubrzivači

- nitriti, nitrati, trietatanolamin, formijati, acetati
- natrijev karbonat, litijev karbonat, kalijev karbonat, kalcijev nitrat
- Skraćuju trajanje obradivosti
- Povećavaju završne čvrstoće

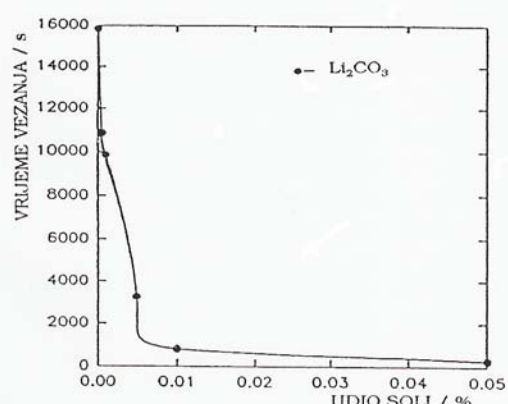
**Tablica 1.** Litij-karbonat: Vremena vezanja AC pri različitim masenim udjelima  $\text{Li}_2\text{CO}_3$

B-brzo vezanje do kojeg je došlo tijekom miješanja AC s otopinom soli

T-trenutno vezanje do kojeg je došlo odmah po dodatku otopine soli AC

w( $\text{Li}_2\text{CO}_3$ )/%	vrijeme vezanja/s
0	15 840
0.0005	10 870
0.001	9 855
0.005	3 250
0.01	370
0.05	290
0.1	B
0.5	T

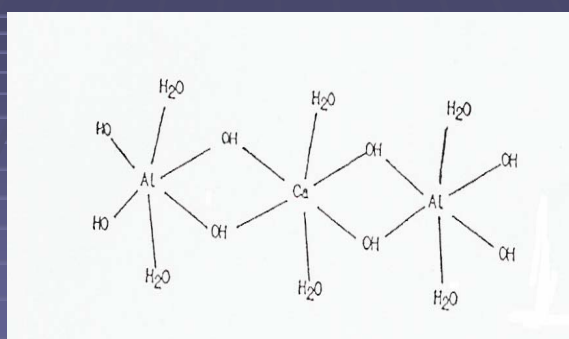
**Slika 4.** Litij-karbonat: Vremena vezanja AC  
pri različitim masenim udjelima soli

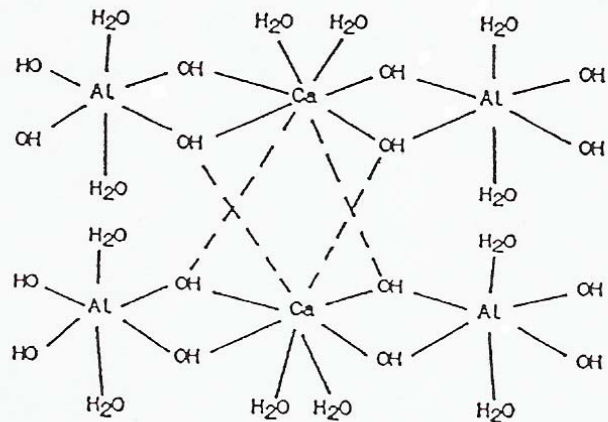


**Tablica 2:** Alkalijiske soli: vremena vezanja AC (maseni udio 0,01%)

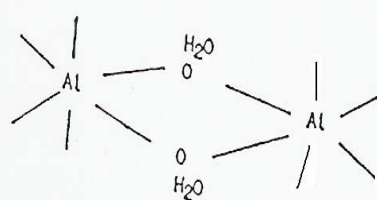
Anion	$\text{OH}^-$	$\text{S}^-$	$\text{CO}_3^{2-}$	$\text{Br}^-$	$\text{Cl}^-$	$\text{NO}_3^-$	$\text{SO}_4^{2-}$
Kation			vrijeme vezanja		/ s		
Li	300	325	370	305	360	440	560
Na	5140	5620	6300	8940	9720	6480	7800
K	7200	7400	7980	10120	10200	7920	8100
Rb	9140	-	9260	10930	10680	9360	9300
Cs	11110	-	11990	11200	11400	11480	11630

### Otapanje i disocijacija CA - središte kristalizacije





KOVINSKI KATIONI  
KOORDINACIJSKE VEZE –OH  
Li - tetraedarska struktura



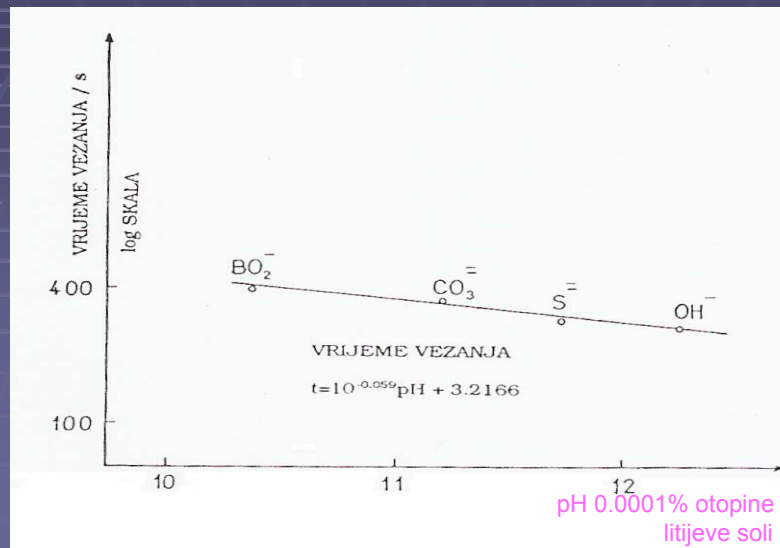
**Tablica 3.** Litijeve soli: Vremena vezanja AC  
(maseni udio 0,01%)

Litijeva sol	pH otopine	Vrijeme vezanja/s
LiOH	12.3	300
Li <sub>2</sub> S	11.8	325
Li <sub>2</sub> CO <sub>3</sub>	11.2	370
LiBO <sub>2</sub>	10.4	390
Li <sub>2</sub> SO <sub>4</sub>	6.4	560
LiNO <sub>3</sub>	5.9	440
LiCl	5.6	360
LiBr	5.4	305

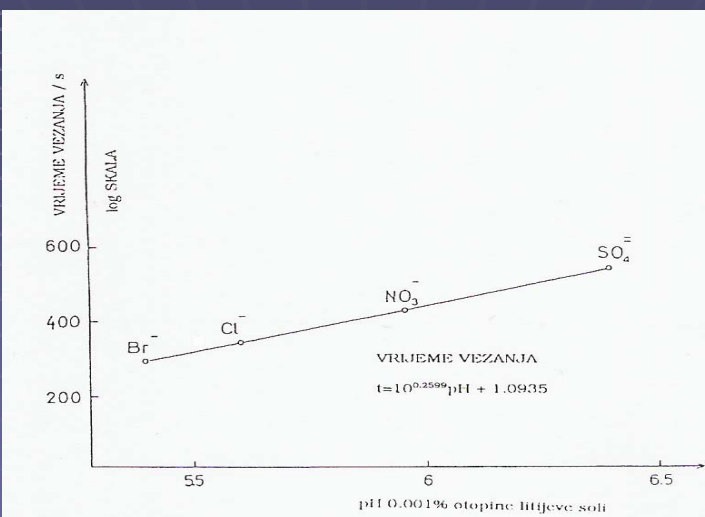
**Tablica 5.** Karbonati alkalijskih kovina:  
Čvrstoća na tlak (maseni udjeli soli 0,05%)

Vrijeme/ dani	Čvrstoća na tlak / MPa					
	AC + Li <sub>2</sub> CO <sub>3</sub>	AC + Na <sub>2</sub> CO <sub>3</sub>	AC + K <sub>2</sub> CO <sub>3</sub>	AC + Rb <sub>2</sub> CO <sub>3</sub>	AC + Cs <sub>2</sub> CO <sub>3</sub>	AC
1	48.0	49.2	50.4	51.1	51.6	52.0
3	53.7	55.4	57.0	57.6	58.0	58.9
7	55.1	61.2	61.8	62.0	62.5	63.0
28	57.3	69.9	70.1	70.4	70.8	71.2

**Slika 5.** Bazične litijeve soli: vremena vezanja AC u ovisnosti o pH

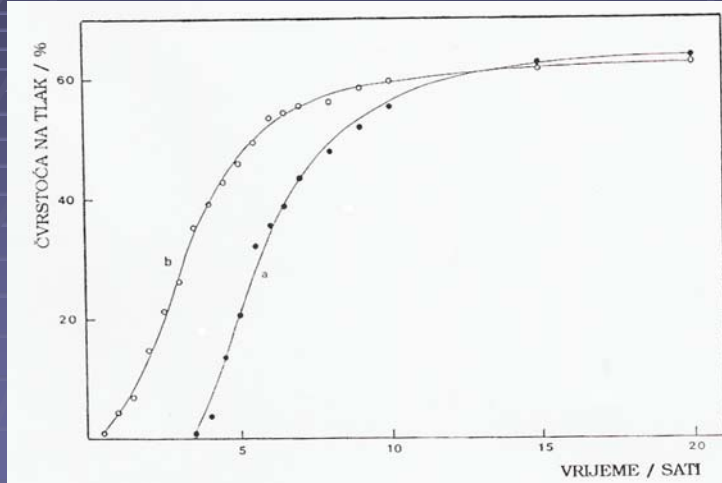


**Slika 6.** Kisele litijeve soli: vrijeme vezanja AC u ovisnosti o pH



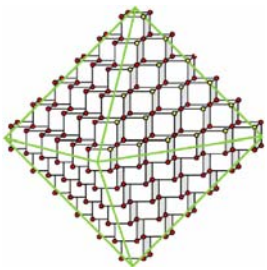
**Slika 7.** Čvrstoće na tlak: Ovisnost čvrstoće na tlak o vremenu hidratacije

a) hidratacija AC  
b) hidratacija AC uz 0.05% Li<sub>2</sub>CO<sub>3</sub>



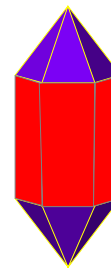
## Kristalografija

- Proučava vanjske forme kristala i bavi se odnosima između kristalnih formi
- Forma je skup simetrijski identičnih ploha
- Vanjska forma kristala odražava njegovu unutrašnju građu – slijedi da kristalografija proučava i unutrašnju građu kristala
- Svaki mineral ima karakteristične forme
- Morfologija kristala ovisi o unutrašnjoj strukturi i fizikalnim uvjetima (T, P, matriks, priroda otopine, strujanja u otopini, itd.)



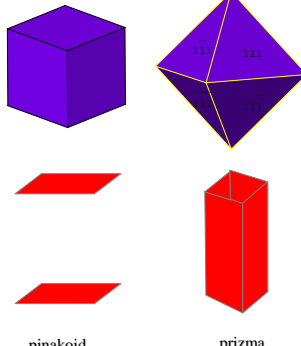
## Plohe, bridovi, kutovi, forma

- Kristal sačinjavaju plohe, bridovi i kutovi
- Ovi elementi stoje u slijedećem matematičkom odnosu:
- $P+K=B+2$

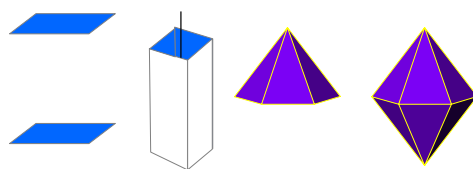


## Plohe, bridovi, kutovi, forme

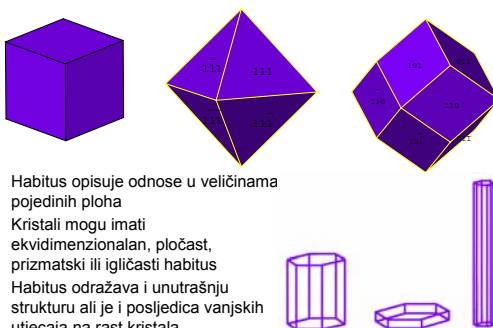
- Kad se na kristalu razviju samo istovjetne plohe, npr. plohe oktaedra, kristal nazivamo jednostavnim
- Ako na jednostavnom kristalu istovrsne plohe sa svih strana zatvaraju prostor kristala onda jednostavnu formu nazivamo zatvorenom, npr. oktaedar
- U suprotnom slučaju – istovrsne plohe sa svih strana ne zatvaraju prostor kristala (npr. tetragonske prizme) – otvorene forme



- Otvorena forma ne može se razviti samostalno pa se jednostavnoj formi pridružuje neka druga jednostavna forma, razvija se kristal sastavljen od raznovrsnih ploha (nisu međusobno istovjetne) – kristalne kombinacije – rasprostranjenije su od jednostavnijih formi i mnogo bogatije plohama

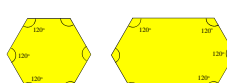


- Najveći broj ploha koje može imati jednostavna kristalna forma je 48
- Najmanji broj ploha koje može imati kristalna forma je 1 (ova forma naravno ne dolazi zasebno već u kombinaciji)
- Heksaedar + oktaedar = dodekaedron



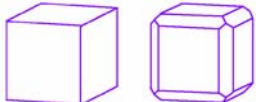
## Zakon o stalnosti kutova

- Plohe se sijeku u bridovima i kutovima
- Kutovi između ploha nazivaju se plošnim kutovima
- Kutovi između bridova tvore bridne kutove
- Plohe su promjenljive (razvučeni kristali) ili kutovi su stali – smjer rasta ploha je nepromjenljiv, plohe uvijek rastu paralelno svom prvobitnom položaju
- Zakon o stalnosti kutova (Nicolaus Steno)
- Kutovi između odgovarajućih ploha na svim kristalima neke mineralne vrste su jednaki, bez obzira na nalazište, pod uvjetom da se mijere pri istom tlaku i temperaturi
- Zakon o stalnosti kutova – temeljni zakon kristalografske



## Zakon simetrije

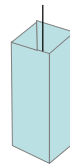
- Kad se tijekom razvijanja kristala dođe do modifikacije jednog brida razvojem jedne nove plohe, na isti način modifisirat će se i svi ostali bridovi
- Npr. kristal u formi heksaedra (kocke)
- Na mjestu bridova počinje razvoj novih ploha
- Kako su svi bridovi istovrsni na mjestu 12 bridova razvit će se 12 ploha
- One su s plohami oktaedra povezane paralelnim bridovima



- Tijekom kristalizacije na kristalima dolazi do istovjetnih modifikacija na svim identičnim plohami, bridovima i kutovima – zakon simetrije  
- Hauy

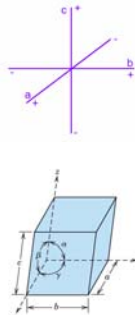
## Zona, zonska ravnina, zakon zona

- Kad se tijekom razvijanja kristala počnu razvijati nove plohe one su s ranije razvijenima vezane paralelnim bridovima
- Skup ploha koje imaju paralelne bridove čine zonu
- Zona je skup ploha na kristalu koje leže paralelno nekom bridu
- Po definiciji Weissa – skup ploha paralelnih jednom pravcu
- Taj pravac (ili brid) naziva se os zone
- Ravnina koja je okomita na os zone i sve plohe zone je zonska ravnina
- Položaj neke ravnine na kristalu točno je određen ako ona leži u dvije poznate zone (ravninu određuju 2 pravca)
- Na ovom odnosu ploha i zona temelji se zakon zona – svaka ploha na kristalu mora ležati u presjecištu najmanje dvije zone (pripadati najmanje dvjema zonomama), na nekom su kristalu moguće samo one plohe koje su međusobno povezane zonomama



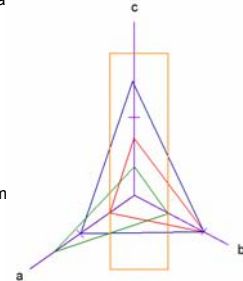
## Kristalografske osi, kristalni elementi

- Položaj ploha određuju kristalografske osi – zamišljeni pravci koji prolaze središtem kristala i sijeku se u tom središtu
- Kristalografske osi tvore koordinatni sustav (osni krizi) – gornji dio pozitivan, donji negativan, desni dio pozitivan, lijevi negativan, prednji dio pozitivan, stražnji negativan
- Kristalne osi leže u ravnini koju nazivamo osnom ravninom
- Među sobom zatvaraju osne kuteve (c i b kut  $\alpha$ , c i a kut  $\beta$  te a i b kut  $\gamma$ )
- Osnii kutovi  $\alpha$ ,  $\beta$  i  $\gamma$  te osi a i c (os b uvijek se uzima da je jednak 1) je 5 kristalnih elemenata
- (Kristalne osi predložio je Hauy te podržao Weiss)



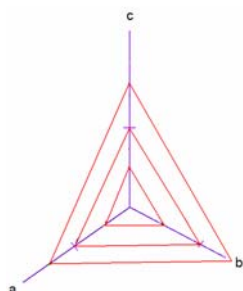
## Weissovi koeficijenti

- Ploha je određena parametrima, udaljenostima od ishodišta na kojima ploha siječe određenu os (odsjećima)
- Svaka ploha označava se simbolom
- Ploha se označava na odnosu na kristalografske osi
- Stariji način označavanja – Weissovi koeficijenti (ma:nb:pc)
- Prvo se odabire ploha jedne forme – jedinična ploha – siječe sve tri osi u jediničnim odsjećima – njeni parametri služe kao jedinice mjere
- Sve se ostale dijele se s osnovnom plohom
- Npr osnovna ploha:  $0,5 : 1 : 0,75$
- Podjelom osnovne plohe s samom sobom  $0,5/0,5=1; 1/1=1; 0,75/0,75=1 \rightarrow a:b:c$
- Podjela neke druge plohe s osnovnom  $1/0,5=2; 1/1=1; 1,5/0,75=2 \rightarrow 2a:b:2c$
- Ili  $1,5/0,5=3; 0,5/1=1/2; 0,375/0,75=1/2 \rightarrow 3a:1/2b:1/2c$
- Ili  $0,5/0,5=1; 0,5/1=1/2; \infty/0,75=0 \rightarrow 1a:1/2b:0c$



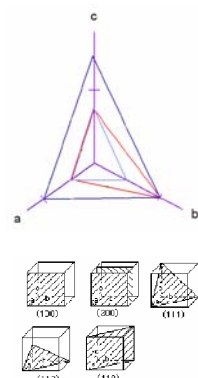
## Zakon o racionalnom odnosu parametara

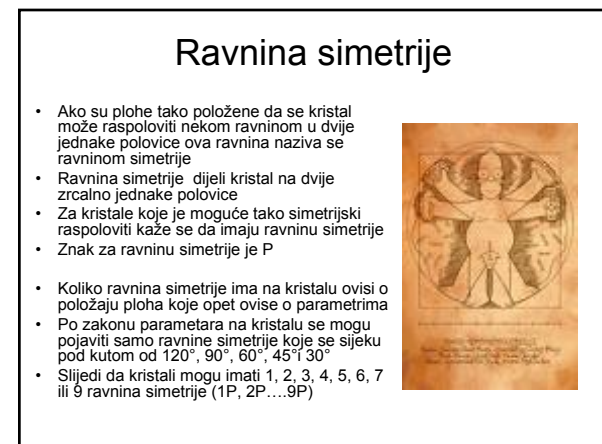
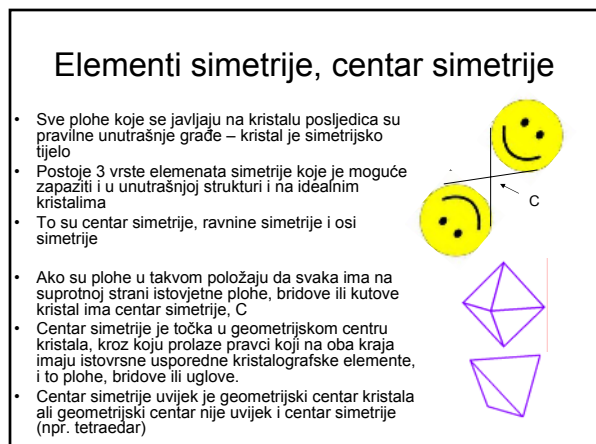
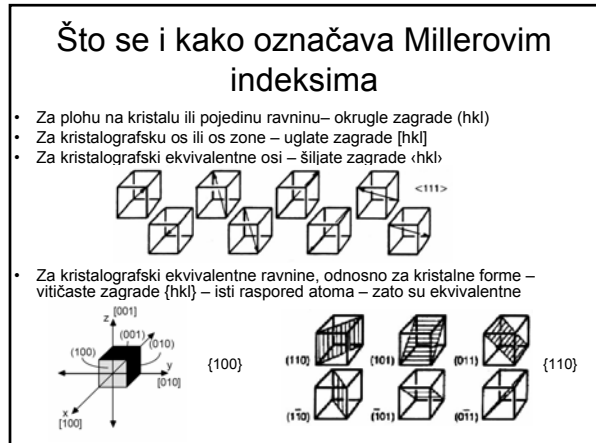
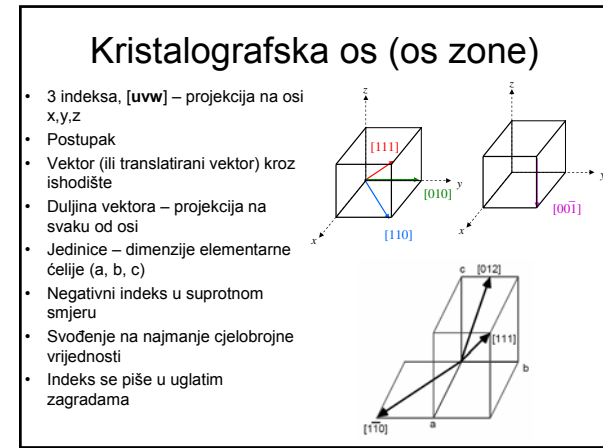
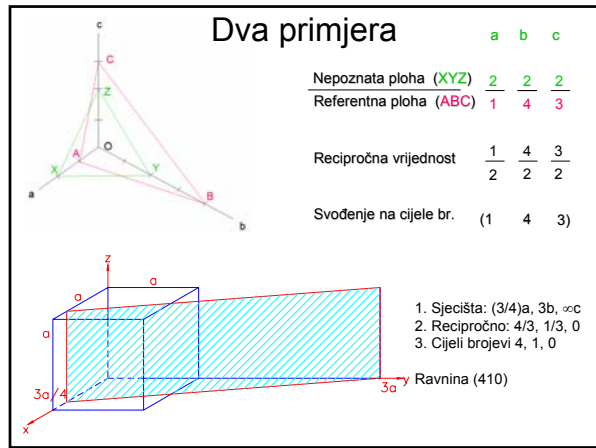
- $m, n$  i  $p$  su uvijek mali cijeli brojevi ili razlomci
- Koeficijenti parametara uvijek su racionalni brojevi
- Zakon o racionalnom odnosu parametara (Hauy) – Na kristalu se mogu razviti samo takve plohe koljih parametri stoe u racionalnom odnosu čiji osni odnosi u usporedbi s osnim odnosom jedinične plohe daju male cijele brojeve
- Množenjem ili dijeljenjem parametara iste plohe dobiva se uvijek ista ploha



## Millerovi indeksi

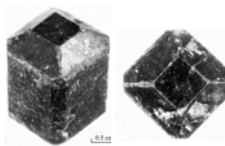
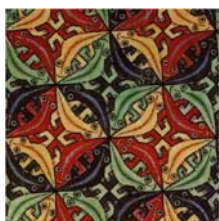
- Suvremeni način označavanja ploha - Millerovi indeksi ( $hkl$ )
- Recipročni odnosi Weissovih koeficijenata
- Npr ploha  $a:b:c = 1:1:1$
- Podjelom s osnovnom formom  $1/0,5=2; 1/1=1; 1,5/0,75=2 \rightarrow 2a:b:2c$
- Recipročna vrijednost  $1/2, 1, 1/2$
- Množenjem s 2 (da se dobiju cijeli brojevi)  $1, 2, 1$
- Procedura pri određivanju Millerovih indeksa mrežnih ravnina
- 1. odredi se sječiste ravnine sa svakom od osi (ako ravnina ne siječe os  $\rightarrow \infty$ )
- 2. odredite recipročne vrijednosti sjećista (ako ravnina ne siječe os  $\rightarrow 1/\infty = 0$ )
- 3. recipročne vrijednosti svedu se na cijele brojeve





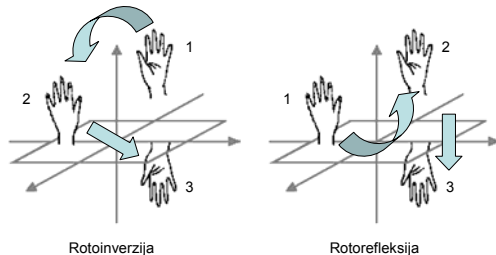
## Osi simetrije

- Druga vrsta simetrije definirana je zakretanjem za određeni kut došlo do ponavljanja istovjetnih ploha, bridova i kutova
- Pravac oko kojeg se kristal rotira za određeni kut da bi došlo do ponavljanja istovjetne forme naziva se os simetrije ili gira
- Znak za os simetrije je L
- I osi simetrije podvrgavaju se zakonu parametara
- Postoje osi simetrije oko kojih je kristal potrebno zarotirati za  $180^\circ$ ,  $120^\circ$ ,  $90^\circ$  i  $60^\circ$
- Os oko koje treba zarotirati kristal za  $180^\circ$  naziva se digira i označava s  $L^2$
- $120^\circ$  trigira  $L^3$
- $90^\circ$  tetragira  $L^4$
- $60^\circ$  heksagira  $L^6$
- Prema zakonu parametara na kristalu može biti 1, 3, 4, 5, 7 i 13 osi simetrije koje se označavaju s  $(1L, 3L\dots)$



## Rotoinverzna i rotorefleksna os

- Na nekim kristalima ponavljanje formi može se postići kombinacijom elemenata simetrije – rotoinverzna i rotorefleksna os simetrije
- Rotoinverzna (rotacija oko osi simetrije i inverzija u centru simetrije)
- Rotorefleksna (rotacija oko osi simetrije i preslikavanje preko ravnine okomite na os simetrije)



## Elementi simetrije

Simetrijska operacija	Element simetrije	Oznake	
		Klasične	Internacionalne
Inverzija (preslikavanje u točki)	Centar simetrije	C	
Refleksija (preslikavanje u ravnini)	Ravnina simetrije	P	M
Rotacija oko pravca	Os simetrije	$L^2, L^3, L^4, L^6$	2, 3, 4, 6

$$\tilde{1} \equiv \bar{2}, \tilde{2} \equiv \bar{1}, \tilde{3} \equiv \bar{6}, \tilde{4} \equiv \bar{4}, \tilde{6} \equiv \bar{3}$$

## Razredi ili klase kristalnih formi

- Postoje 32 moguće kombinacije elemenata simetrije
  - Zato se kristalne forme dijele na 32 razreda ili klase (točkaste grupe)
  - Kristalne forme istog razreda imaju jednake vrste i jednaki broj simetrija
  - S obzirom na kristalne osi razvrstavaju se u 7 kristalnih sustava ili singonija
  - Razlikuju se prema odnosu kristalografskih osi i kutova između osi
  - Kubični                     $a = b = c$                      $\alpha = \beta = \gamma = 90^\circ$
  - Tetragonski                 $a = b \neq c$                  $\alpha = \beta = \gamma$
  - Rompski                     $a \neq b \neq c$                  $\alpha = \beta = \gamma$
  - Monoklinski               $a \neq b \neq c$                  $\alpha = \gamma = 90^\circ \neq \beta$
  - Triklinski                   $a \neq b \neq c$                  $\alpha \neq \beta \neq \gamma$
  - Heksagonski               $a = b \neq c$                  $\alpha = \beta = 90^\circ, \gamma = 120^\circ$
  - Romboedarski             $a = b = c$                  $\alpha \neq \beta \neq \gamma \neq 90^\circ$
- } isti osni križ ali različite rešetke
- Kristalni sustavi ili singonije obuhvaćaju različite forme kristala koje imaju jednake kristalne osi

## Kristalni sustavi vs. kristalne klase

- Jedan kristalni sustav obuhvaća više kristalnih razreda (isti položaj kristalografskih osi – različiti elementi simetrije)
- Kubični – 5 kristalnih formi
- Tetragonski – 7 kristalnih formi
- Rompski – 3 kristalne forme
- Monoklinski – 3 kristalne forme
- Triklinski – 2 kristalne forme
- Heksagonski – 5
- Romboedarski 7

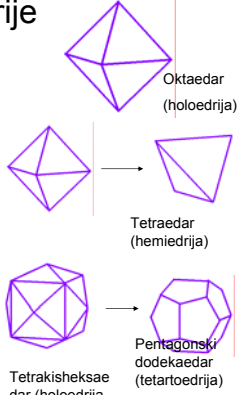
## Elementi simetrije osnog križa

- Svaki kristalni sustav ima različit osni križ
- Svaki osni križ ima svoje elemente simetrije

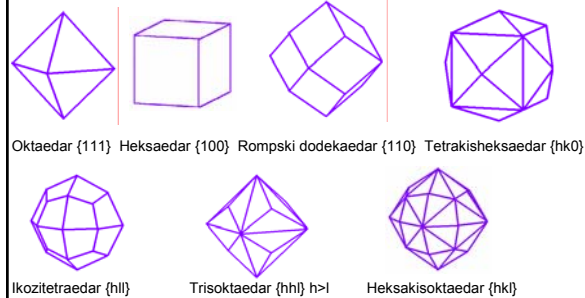
Kubični	$9P, 3L^4, 4L^3, 6L^2, C$
Tetragonski	$5P, 1L^4, 4L^2, C$
Rompski	$3P, 3L^2, C$
Monoklinski	$1P, 1L^2, C$
Triklinski	C
Heksagonski	$7P, 1L^6, 6L^2, C$
Romboedarski	$3P, 3L^2, C (1L_6^3)$

## Holoedrije, hemiedrije, tetartoedrije i ogdoedrije

- Klase se unutar pojedinog kristalnog sustava razvrstava na temelju stupnja simetrije
- Ako klasa ima sve elemente simetrije kao i osni križ (maksimalni stupanj simetrije) naziva se holoedrijom (npr. oktaedar je holoedar jer ima isti stupanj simetrije kao osni križ kubičnog sustava)
- Ako forma nekog sustava ima manji stupanj simetrije od osnog križa naziva se hemiedrija (polovica stupnjeva simetrije), tetartoedrija (četvrtina) i ogdoedrija (osmina)
- Kako se izgubiti mogu različiti elementi simetrije može postojati više hemiedrija
- Hemimorfija – razlika između dvije polovice kristala (gubitak ravnine simetrije)

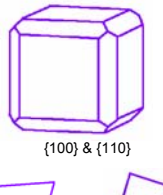


## Holoedrija kubičnog sustava (1. kristalni razred)



- Najčešće se pri kristalizaciji razvijaju kombinacije kristalnih formi

- Gubitkom elemenata simetrije (nastankom hemiedrije) pojedine kristalne forme ne mogu dati nove likove te kristalni razredi nastali gubitkom elemenata simetrije ne moraju imati 7 vrsta kristalnih formi
- Gubitkom elemenata simetrije mogu nastati dvije jednakе forme koje zajedno daju formu iz koje su nastale – komplementarne forme
- Ako se ove forme razlikuju samo odnosom ploha prema kristalografskim osima i zakretanjem se mogu dovesti do potpunog preklapanja – pozitivne i negativne
- Ako se zakretanjem ne mogu dovesti do preklapanja – enantiomorfne forme



## Označavanje klasa

- Klase se označavaju prema općoj formi
- Plohe opće forme sijeku sve tri kristalografske osi na različitim udaljenostima
- Okomito na ove plohe nema elemenata simetrije pa se mogu ponoviti najveći broj puta
- Budući da na vanjštinu kristala utječu prilike pri nastanku pojedini mineral može se razviti u različitim kristalnim formama
- Primjerice kamen sol pojaviće se u prirodi u formi heksaedara, kristalizacijom uz prisustvo određenih onečišćenja kristalizirat će u obliku oktaedara
- Unutarnja struktura, kristalna rešetka ostaje jednaka

Klase kubičnog sustava		
Hermann-Mauguinov simbol	štefan na kop je određene simbole na kojima je označena simetrija	Schönfliesova
$\bar{3}$	1	$3$
$\bar{3}m$	100	$1$
$\bar{4}$	111	$4$
$\bar{4}2$	3	$2$
$\bar{4}3$	4	$m$
$\bar{4}32$	6	$2/m$
$\bar{4}3m$	Q,	$mm$
$\bar{4}3m$	T,	$mmm$
$\bar{4}3m$	T	$4mm$



## Označavanje formi

- Postoji nekoliko standardnih notacija
- Schönfliesova**
  - Slovo + indeks
  - Npr:
  - O – oktaedar (grupa ima simetriju simetriju oktaedra)
  - Oh – O sa rotoinverzijom
  - T – tetraedar (grupa ima simetriju tetraedra)
  - Td – T sa rotoinverzijom
  - Cn – ciklički (grupa ima n-dimenzisku os simetrije)
  - Cnh – Cn sa ravnom simetrije okomito na os simetrije
  - Cnv – Cn sa ravnom simetrije paralelnom osi simetrije
  - Itd.
- Hermann-Mauguinova**
  - Triklinski 1,  $\bar{1}$
  - Monoklinski 2, m,  $2/m$
  - Rombični 222,  $mm2$ ,  $mmm$
  - Tetragonski 4,  $\bar{4}$ ,  $4m$ ,  $422$ ,  $4mm$ ,  $4\bar{m}mm$
  - Heksagonski 3,  $\bar{3}$ ,  $32$ ,  $3m$ ,  $3\bar{m}$
  - Rombični 6,  $\bar{6}$ ,  $6m$ ,  $622$ ,  $6mm$ ,  $6\bar{m}mm$
  - Kubični 23,  $m\bar{3}$ ,  $432$ ,  $4\bar{3}m$ ,  $m\bar{3}m$

## Helikoidalna os simetrije i ravnina simetrije s klizanjem

- Prostorne grupe
- Dobivaju se kombinacijom 32 točkaste grupe s Bravaisovim rešetkama
- Na ovaj način jednostavnim simetrijskim operacijama (centar simetrije, ravnina simetrije, osi simetrije i rotoinverzija) pridodaju se i složene simetrijske operacije: helikoidalna os simetrije i ravnina simetrije s klizanjem
- Helikoidalna os simetrije: rotacija točke oko osi + translacija paralelno osi
- Označava se stupnjem rotacije (broj operacija potrebnih za potpunu rotaciju), stupanj translacije dodaje se kao indeks koji označava za koji dio celiće se vrši translacija
- Npr.  $3_1$  – rotacija za  $120^\circ$  i translacija za  $1/3$  rešetke duž osi rotacije
- $3_2$  – rotacija za  $120^\circ$  i translacija za  $2/3$  rešetke
- Desna i lijeva helikoidalna os – desna – suprotno od kazaljke na satu, lijeva – u smjeru kazaljke na satu
- Ravnina simetrije s klizanjem: preslikavanje kroz ravninu simetrije i translacija paralelno ravnini
- Označava se s a, b, c ovisno o tome duž koje osi dolazi do klizanja, n – klizanje duž pola dijagonale plohe kocke, d – klizanje duž četvrtine dijagonale kocke



## Mineralogija

Proučava strukturu, fizička i kemijska svojstva i genezu minerala

### Područja mineralogije

- Kristalografija – odnos kristalne simetrije i forme s atomnom strukturom
- Kristalokemija – odnos kemijskog sastava i atomne strukture?
- Deskriptivna mineralogija – opis fizičkih, posebno optičkih svojstava
- Geneza minerala – interpretacija geoloških uvjeta u kojima su minerali formirani iz njihovih fizičkih, kemijskih i strukturnih atributa i s njima asociranih minerala



## Srodne discipline

- Petrologija – proučavanje podrijetla stijena umnogome se temelji na proučavanju strukture, teksure i kemijske sastavne komponente minerala
- Geokemija – proučava kemijsku sastavu materijala koji izgrađuju Zemlju određenu kemijskom sastavom minerala
- Strukturalna geologija i tektonika – deformacija stijena kontrolirana je orientacijom i kristalnom strukturom minerala konstituenata stijene
- Geologija okoliša i hidrogeologija – proučava interakcije biosfere, hidrosfere i atmosfere sa stijenama i mineralima (s litosferom)
- Ekonomski geologija – proučava podrijetlo i iskorištavanje mineralnih depozita

## Definicije

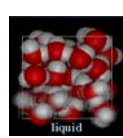


- Minera (lat.) – ruda, logos (grč.) - znanost
- Mineralogija – znanost o mineralima
- Zumberge i Rutherford: Mineral je prirodnja, kristalna, anorganska, homogena krutina s kemijskim sastavom koji je ili fiksni ili varira unutar određenih granica i ima karakterističnu strukturu koja se manifestira u njegovoj formi i fizikalnim svojstvima
- Uvažava čvrste otopine, dvojačko biogenih minerala
- Plummer i McGahey: Mineral je kristalna čvrsta tvar nastala prirodnim putem, anorganske prirode, određenog kemijskog sastava i karakterističnih fizičkih svojstava
- Uvažava biogene minerale, ne i čvrste otopine, ne spominje strukturu
- Povjerenstvo za nove minerale i nazivlje minerala: Mineral je kemijski element ili spoj kristalne strukture, nastao geološkim procesima

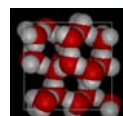
- Amorfni minerali  
– minerali koji nemaju pravilnu unutrašnju strukturu



- Metamiktni minerali  
– Zbog prisutnosti radioaktivnih elemenata u strukturi došlo je do raspada kristalne mreže (amorfizacija)



- Sintetske kristalne faze ne smatraju se novim mineralom.



- Voda se ne smatra mineralom, ali led da

- Živa je mineral

- Uzorke svemirskih tijela (meteorite, uzorci doneseni s Mjeseca) smatra se mineralima

- Produkti rasta živih organizama (npr. kosti, školjke, ljušte i sl.) ne smatraju se mineralima

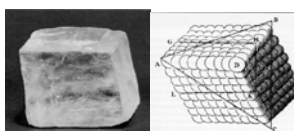
- Ako na takve tvari djeluje neka geološka sila i promjeni ih tada se smatraju mineralima

- Ponekad se mineralima nazivaju svi vrijedni materijali koji se dobivaju rudarstvom, poput ugljena, nafte, pjeska pa čak i vode – što nije ispravno

## Začetci mineralogije



- Predmet zanimanja od početaka civilizacije
- Teofrast (371.-286. pne) – De Mineralibus - rasprava o mineralima
- Georgius Agricola (Georg Bauer), De re metalica (1556.) – prvi mineraloški priručnik - otac mineralogije
- Nicolaus Steno (Niels Stensen) – De solidi intra solidum naturaliter contento dissertationis prodromus (1669.) - započinje pravilnost kristala kvarca – definira zakon o stalnosti kutova
- Dokazan mjerjenjima koja je proveo Jean Baptiste Rome de l'Isle, Essai de Cristallographie (1772)
- Mjerenja - kontaktni goniometar (grč. gonia-kut, metron-mjera) - konstruktör Carangeot (1783)



• 1690. Huygens objašnjava oblik kristala kalcita preko pakiranja sfera



• 1755. Bošković opisuje kristale kao točke između kojih djeluju privlačne i odbojne sile



• René Just Haüy - Traité de Minéralogie (1801.) - molekule sastavljačice – zaključuje da kristalografska, kemijska i fizička minerala svojstva odražavaju unutrašnju građu, pravilni poredak čestica koji izgradjuju kristale – zakon o racionalnom odnosu parametara

"molekule sastavljačice"

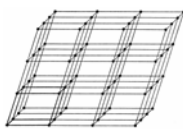
- 1804. Weiss predlaže zakon zona
- 1822. Mohs predlaže 7 kristalnih sustava
- 1839. Miller predlaže obilježavanje ploha  $hkl$  indeksima
- 1850. Bravais – shvaća kristale kao prostorne rešete u čijim se čvorovima nalaze atomi, ioni ili molekule
- E. S. Fjodorov, A. Schonflies, W. Barlow – druga polovica 19. st – teorije o unutrašnjoj simetriji i uredjenosti kristalnih struktura – kristalna struktura izgrađena od atoma pravilno poredanih u prostornu rešetku



Miller



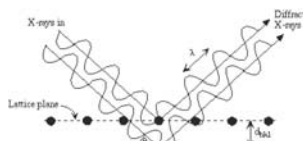
Bravais



- 1895. Röntgen otkriva X – zrake (kasnije nazvane Rendgenskim)
- 1912. Laue predviđa difrakciju rendgenskih zraka na kristalu
- 1912. W. Friedrich i P. Knipping – uspješan eksperiment - difrakcija rendgenskog zračenja na kristalu - dokaz da kristali imaju pravilnu građu
- 1914. W. H. Bragg i W. L. Bragg – prve kristalne strukture



Laue



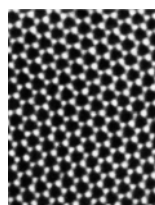
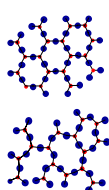
W.H. Bragg



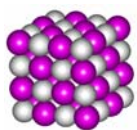
W.L. Bragg

## Kristalno stanje

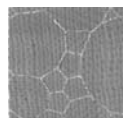
- Kristal - uredena trodimenzionalna mreža atoma ili molekula
- Kristalno stanje - periodično ponavljanjem atoma, iona ili molekula u tri dimenzije
- Amorfno stanje - ne postoji periodičnost (samo lokalna uredjenost)



## Monokristal/polikristalinični materijal

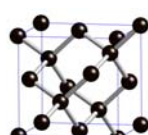


- Monokristal – kontinuirana periodičnost kroz cijeli materijal
- Polikristalinični materijal – mnogo malih kristala ili zrna sa različitom (nasumičnom) orientacijom



## Kristal

- Kruto tijelo omeđeno prirodnim plohami nastalim pri rastu kristala
- Vanjske plohe odražavaju pravilnu unutrašnju građu kristala (simetrična unutarnja građa uvjetuje i pravilnu vanjsku građu)



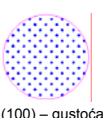
- Kristalne plohe rastu paralelno s mrežnim ravninama (čiji je položaj određen parametrima elementarne celije)
- Za kristalno stanje karakterističan je pravilan geometrijski oblik, vektorska fizikalna svojstva, određena temperatura prijelaza iz rastajenog u čvrsto stanje i obratno
- Veličina zrna može biti tako velika da se vide okom, a mogu biti tako mala da se vide tek pod mikroskopom
- Prema tome svaka kruta tvar koja se odlikuje pravilnom unutrašnjom gradom bez obzira na vanjski izgled je kristal
- Ovisno o privlačnim silama koji djeluju između atoma ili molekula kristale se može podjeliti na:
- Ionske (npr. kuhijska sol)
- Kovalentne (npr. dijamant)
- Metalne (npr. željezo)
- Molekulske (npr. led)

## Morfologija minerala

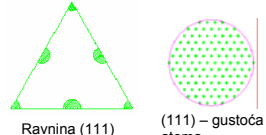
- Karakteristične plohe koje rastu definirane su termodinamičkim čimbenicima – najveće smanjenje energije



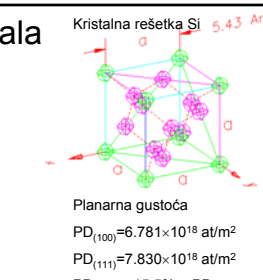
Ravnina (100)



(100) – gustoća atoma



Ravnina (111)



- Plohe veće planarne gustoće rastu brže
- Razvijaju se plohe manje planarne gustoće
- (Kada bi rast bio jednak u svim pravcima razvila bi se kugla)

- Kristal koji posjeduje vanjsku simetriju nastaje samo pri povoljnim uvjetima

- Slobodan spori rast (bez zapreka) iz prezasićene otopine (uz jednaku koncentraciju otopine sa svih strana) ili taline (npr. magma)
- Razvijaju se slobodni kristali – poliedri (sa svih strana omeđeni kristalnim plohami)

- Kristali mogu narasti i vrlo veliki – uz povoljne uvjete – rijetke otopine, male viskoznosti, spor proces
- U suprotnom slučaju, viskozna otopina, brzo isparavanje otapala ili brzo hlađenje taline – mali kristalići

- Ako se kristal razvija u okolini gdje ne može rasti na sve strane, s neke podloge plohe će se razviti samo gdje mogu slobodno rasti – prirasti kristali – u pukotinama i šupljinama stijena (kremen ili kalcit)

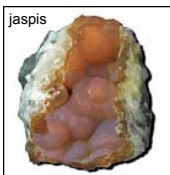
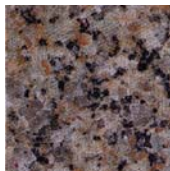
- Više kristala na zajedničkoj podlozi – kukanac ili kristalna druža



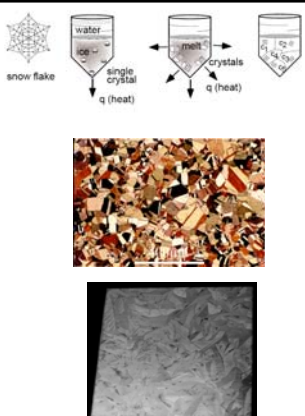
- Ako su prilike u kojima se kristal razvija nepromijenjene (jednolika koncentracija u okruženju svih ploha) – jednolik rast u pravilan geometrijski lik – idealan kristal
- Nejednolika koncentracija - nejednoliko pritjecanje gradivnih elemenata – nejednolika brzina rasta – razvija se kristal s nejednakim plohamama – razvučen kristal – ploha koja je rasla brže je manja!
- Tijekom rasta mogu se na kristalu razviti nove plohe kojih u početku nije bilo
- Također se može dogoditi da plohe koje su se razvile u početku kasnije nestanu
- Lokalne razlike u koncentraciji izazvane rastom kristala, strujanjem, razlikama u gustoći i temperaturi – brži rast dijelova kristala koji su bliže prezasićenim dijelovima otopine
- Brži rast – kristalni skeleti
- Brži rast, osobito ako su otopine viskozne, strujanje otežano, razvija se dendritičan kristal – što je otopina na pojedinom mjestu prezasićenija kristal na tim mjestima brže raste – raste u šljicima umjesto plohamama



- Ako tijekom rasta dolazi do sraza fronti rasta – kristali se utiskuju jedan u drugog, isprepliću i ostaju bez pravilne vanjske forme kao nepravilna zrna, listice ili ljkusice, vlakna ili prutice – polikristalne forme – agregat mnoga sitnih kristalnih individua – svaka individua ima kristalnu rešetku istovjetnu idealnom kristalu svoje vrste
- Njihov oblik ovisi o samom mineralu, brzini i uvjetima kristalizacije ili o obliku okoline
- Tako mogu izgledati kuglasto (ooliti, grč. Oon jaje, lithos-kamen i pizoliti pismum lat. grašak), bubrežasto, grozdasto, sigasto, pločasto...
- Minerali koji kristaliziraju u prizmatском habitusu stvarat će vlastaste ili igličaste strukture, npr. žadebit
- Koji kristaliziraju u pločastom habitusu stvarat će lističave i ljkustike agrete, hematit i liskuni
- Gdje su kristali izometrični – zrnati agregati – kalcit

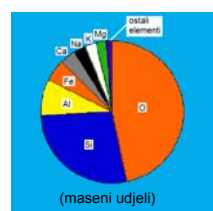
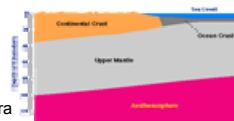


- Ako agregat nema prostora za svoj razvoj poprimiće oblik prostora u kom se razvijao
- Ako su individue koje sačinjavaju kristalaste agregate takvih dimenzija da ih se može razabrati okom govor se o - fenerokristalnim agregatima (grč phaneros-jasan)
- Kad su individue tako sitne da se razabire instrumentalno (npr. optičkim mikroskopom) – takve agregate naziva se kriptokristalinični (grč. Kryptos – skriven, jaspis i kalcedon)
- Amorfni (grč. a-bez, morphe – oblik) – izotropnih svojstava nastaju iz koloidnih otopina – opal



## Nazivi minerala

- Imena – nema pravila – imena su davana prema izgledu, kemijskim ili fizikalnim svojstvima, lokaciji pronalaska, pronalazaču, drugim osobama...
- Nove minerale nakon detaljnog opisa atome strukture i kemijskog sastava mora prihvati CNMNMIMA (Commission of New Minerals and Mineral Names of the International Mineralogical Association)
- Više od 4000 vrsta (svega 150-200 češćih, ostali rijetki)
- Danas je poznato oko 4000 minerala, od kojih se za njih dvjestotinjak može reći da su česti u prirodi
- O, Si, fe, Al, Ca, Na, Mg i K su kemijski elementi koji u 99% udjelu izgrađuju minerale litosfere



## Klasifikacija (razredi) minerala

- Minerali se klasificiraju prema glavnoj anionskoj komponenti
- Postoji ukupno trinaest razreda minerala:
- Borati
- Fosfati (+ oksisoli As i V)
- Halogenidi
- Jodati
- Karbonati
- Nitratni
- Oksidi (uključujući oksihidrokside i hidrokside)
- Organiski minerali
- Samorodni elementi
- Silikati
- Sulfati (uključujući oksisole Se, Te, Cr)
- Sulfidi (uključujući selenide i teluride)
- Volframati i molibdati
- Najznačajniji silikati, oksidi i hidroksidi i karbonati



## Halogenidi, fosfati



Fluorit  
CaF<sub>2</sub>



Halit  
NaCl

## Karbonati



- Kalcit
- $\text{CaCO}_3$



Dolomit  
 $(\text{Ca},\text{Mg})\text{CO}_3$

## Oksidi

- Hematit
- $\text{Fe}_2\text{O}_3$



Magnetit  
 $\text{Fe}_3\text{O}_4$



- Kasiterit
- $\text{SnO}_2$



Rutil  
 $\text{TiO}_2$



## Samorodni elementi

- Au

- Cu



## Silikati



- Cirkon
- $\text{ZrSiO}_4$



Talk  
 $\text{Mg}_3\text{Si}_4\text{O}_{10}(\text{OH})_2$



- Amfibol
- $\text{Ca}_2(\text{Fe},\text{Mg})_5\text{Si}_8\text{O}_{22}(\text{OH})_2$



Kvarc  
 $\text{SiO}_2$

## Sulfidi



- Galenit
- $\text{PbS}$



Cinabarit  
 $\text{HgS}$



Pirit  
 $\text{FeS}$



- Sfalerit
- $\text{ZnS}$



Halkopirit  
 $\text{CuS}$



Malahit  
 $\text{CuS}$

## Fizička svojstva minerala

- Karakteristična za pojedine minerale
- Identifikacija, klasifikacija
- Kristalni habit (formiran procesom kristalizacije)
- Kalavost
- Lom
- Tvrdoča
- Gustoča
- Boja
- Crt
- Propusnost svjetlosti
- Sjaj
- Indeks loma svjetlosti
- Luminiscencija

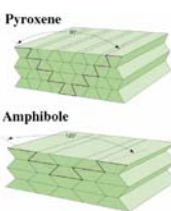


Toplinska svojstva  
Električna svojstva  
Magnetska svojstva ( samo magnetit i pirotit)  
Fiziološka svojstva (okus – halit)

Reakcija s HCl – pjenjenje (kalcit)  
 $\text{CaCO}_3 + 2\text{HCl} \rightarrow \text{CO}_2 + \text{H}_2\text{O} + \text{CaCl}_2$

## Kalavost i lom

- Kalavost – lom duž određenih kristalnih ravnina
- Tinjci – savršena kalavost (001) – slabe veze između slojeva
- Pirokseni i amfiboli
- Uži lanci piroksena – kalanje pod kutom od 90°
- Širi lanci amfibola – kalanje pod kutovima 60 i 120°
- Kvarc – jednako jake veze u svim pravcima – ne kala se
- Ukoliko ne dolazi do kalanja mineral puca nepravilno



calcit



muskovit,  
 $KAl_2(AlSi_3O_{10})(OH)_2$



opsidjan (nije  
mineral već stijena)

## Tvrdoča – Mohsova skala



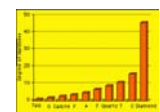
1,2 – mogu se ogrebati noktom

3-5 – mogu se ogrebati nožem

6-10 – mogu ogrebati staklo

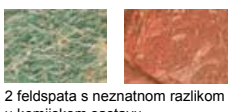
Rast tvrdoče nije linearan (dijamant 40x tvrdi od talka)

Tvrdoča donekle varira od uzorka do uzorka



## Boja i crt

- Boja – svojstvo koje je najlakše odrediti ali nije dobar način identifikacije
- Boja nije uvijek karakteristična - tipičan primjer je kvarc (bezbojan do crn, ametist – Mn) – alokromatski
- Korund (safir/rubin)
- Suprotno – idiomatski, npr. Malahit,  $Cu_2CO_3(OH)_2$
- Crt – način da se odredi prava boja
- Boja na površini može potjecati od oksida ili neke druge prevlake i biti različita od boje minerala
- Mineralom se "piše" po porculanskoj pločici – boja crta je prava boja minerala



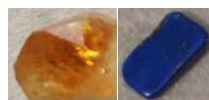
2 feldspata s neznatnom razlikom u kemijskom sastavu



hematit

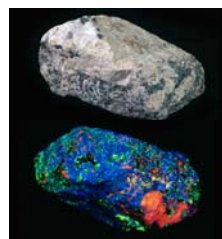
## Propusnost svjetla i sjaj

- S obzirom na propusnost svjetla mineral može biti transparentan (proziran), translucentan (providan) i opak (neprovidan)
- Transparentan – kroz mineral se jasno vide objekti (ne mora biti bezbojan)
- Translucentan – kroz mineral se vidi svjetlo ali ne i objekti
- Opak – mineral jednako izgleda gledajući ga prema svjetlu i od svjetla
- Sjaj – svojstvo koje opisuje kako mineral reflektriра svjetlo
- Dva osnovna opisa metalni (upravo poput metala) i nemetalni sjaj (biserni – uz prelijevanje boja, voštani – kao da je mineral mastan, svilenkasti – blagi sjaj, staklasti – poput smrvenjeg stakla)
- Preostala mogućnost – bez sjaja



## Indeks loma svjetlosti i luminiscencija

- Lom svjetla – pri ulasku zrake iz jedne u drugo sredstvo
- Dvolom – zraka svjetlosti prolazom kroz kristal lomi se na dvije zrake (na slici kalcit)
- Fluorescencija (eksitacija elektrona UV zračenjem)
- Pod UV svjetлом svijete u mraku



Sveučilište u Zagrebu  
Fakultet kemijskog inženjerstva i tehnologije

**Struktura i svojstva anorganskih  
nemetalnih materijala**  
**VJEŽBE**

Interna skripta za studente  
Fakulteta kemijskog inženjerstva i tehnologije

Priredila dr. sc. Jelena Macan

Zagreb, listopada 2006.

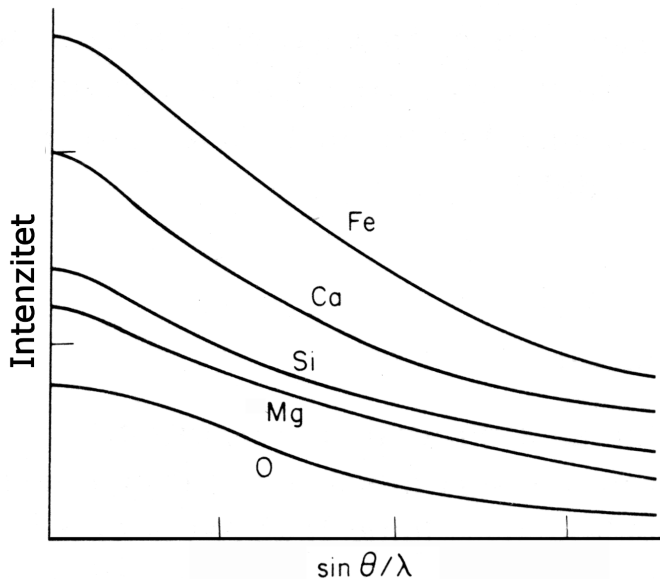
# 1. Rendgenska difrakcijska analiza

## 1.1. Rendgensko zračenje

Rendgensko zračenje vrsta je elektromagnetskog zračenja visokih frekvencija i energija (samo  $\gamma$ -zračenje ima više frekvencije). Valna duljina rendgenskog zračenja vrlo je mala, reda veličine razmaka među atomima kristala. Stoga se kristalični uzorci ponašaju kao optička rešetka za rendgensko zračenje. Naime, ako zrake vidljive svjetlosti padnu na optičku rešetku dolazi do rasipanja ili *difrakcije* svjetlosti. Pri tome se amplituda upadnog vala *interferencijom* pojačava ili smanjuje, ovisno o tome dolazi li do preklapanja vrha vala s vrhom ili dolom drugog vala. Razmak između vrhova valova naziva se *faznim pomakom*. Kad je fazni pomak jednak polovici valne duljine, dolazi do potpunog poništenja preklapanjem dva vala. Max von Laue prvi je zamijetio da bi međuatomski razmaci kristalne rešetke odgovarali optičkoj rešetci za difrakciju rendgenskog zračenja. Eksperimentalno zabilježena pojava difrakcije rendgenskog zračenja na kristalima tako je istovremeno poslužila kao dokaz valne prirode rendgenskog zračenja i kao metoda određivanja njegove valne duljine.

Difrakcija rendgenskog zračenja zapravo je posljedica međudjelovanja rendgenskih zraka i elektronskog omotača atoma. Rendgenska zraka predaje svoju energiju elektronskom omotaču, a atom zatim zrači rendgensko zračenje iste valne duljine (*koherentno* zračenje) u svim smjerovima. Pri tom dolazi do interferencije kao kod vidljive svjetlosti. Intenzitet raspršenog rendgenskog zračenja opada s kutom otklona od primarnog snopa, a amplituda mu je proporcionalna broju elektrona u elektronskom omotaču, tj. atomskom broju (slika 1).

Rendgensko zračenje nastaje u rendgenskoj cijevi. U njoj se elektroni s katode ubrzavaju velikom razlikom potencijala (20-60 kV) i udaraju u anodu ili protukatodu. Kako se najveći dio energije elektrona (99 %) prilikom udara u anodu gubi u toplinu, anodu je potrebno stalno hladiti tekućom vodom.

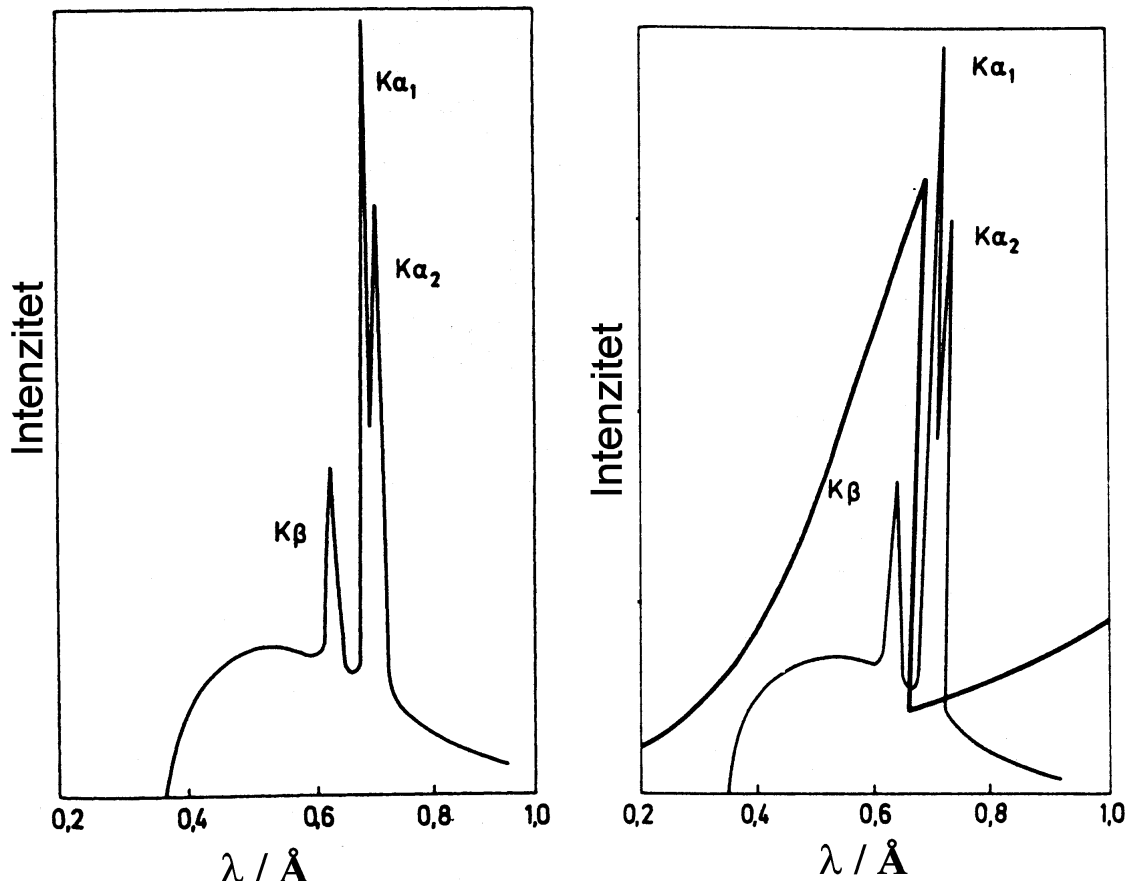


Slika 1 – Ovisnost intenziteta rendgenskog zračenja o atomskom broju i kutu otklona od primarnog snopa,  $\theta$ , normaliziranog valnom duljinom zračenja,  $\lambda$

Brzi elektroni prilikom sudara izbijaju elektrone iz atoma anode, koji povratkom u ravnotežno stanje oslobađaju višak energije u obliku rendgenskog zračenja. Tako nastaje *diskontinuirani* (linijski) spektar rendgenskog zračenja, a valna duljina linija spektra ovisi o energiji oslobođenoj skokom elektrona u ravnotežno stanje. Linije rendgenskog spektra označuju se prema ljkuskama u koje se elektroni vraćaju. Tako elektroni koji u K ljkusu skaču iz L ljkuse oslobađaju  $K_{\alpha}$  zračenje, oni iz M ljkuse  $K_{\beta}$  zračenje, itd. Kako L ljkusa ima nekoliko različitih energetskih podrazina, dolazi do cijepanja  $K_{\alpha}$  linije u  $K_{\alpha 1}$  i  $K_{\alpha 2}$  liniju, male razlike valnih duljina. Linijski spektar karakterističan je za materijal od kojeg je izrađena anoda, tj. spektri različitih materijala međusobno se razlikuju. Kočenjem brzih elektrona u elektronskom omotaču atoma anode nastaje pak *kontinuirani* ("bijeli") rendgenski spektar. Intenzitet kontinuiranog spektra ovisi o materijalu anode, dok raspodjela valnih duljina ovisi o razlici potencijala, tj. brzini elektrona. Što je atomski broj materijala anode veći, to je jači intenzitet kontinuiranog spektra. Stoga se za izradu anode rabe srednje teški metali, jer laki metali daju  $K_{\alpha}$  zračenje prevelike valne duljine, dok se kod teških metala  $K_{\alpha}$  linija gubi u intenzitetu kontinuiranog spektra.

Za kvalitetnu analizu većinom je potrebno *monokromatsko* rendgensko zračenje točno određene valne duljine, i obično se radi s  $K_{\alpha}$  zračenjem. Da bi se

uklonile ostale valne duljine rabe se metalni filtri koji apsorbiraju nepoželjni dio spektra, kao i kristalični monokromatori (optičke rešetke), obično grafitni. Metalni filter apsorbira sve zračenje čija je valna duljina ispod apsorpcijskog praga tog metala (slika 2). Izbor materijala za filter ovisi stoga o metalu od kojeg je načinjena anoda u rendgenskoj cijevi, i bira se tako da mu apsorpcijski prag bude nešto ispod valne duljine  $K_{\alpha}$  linije.



Slika 2 – Linijički i kontinuirani spektar rendgenskog zračenja i uklanjanje nepoželjnog dijela spektra odgovarajućim filtrom

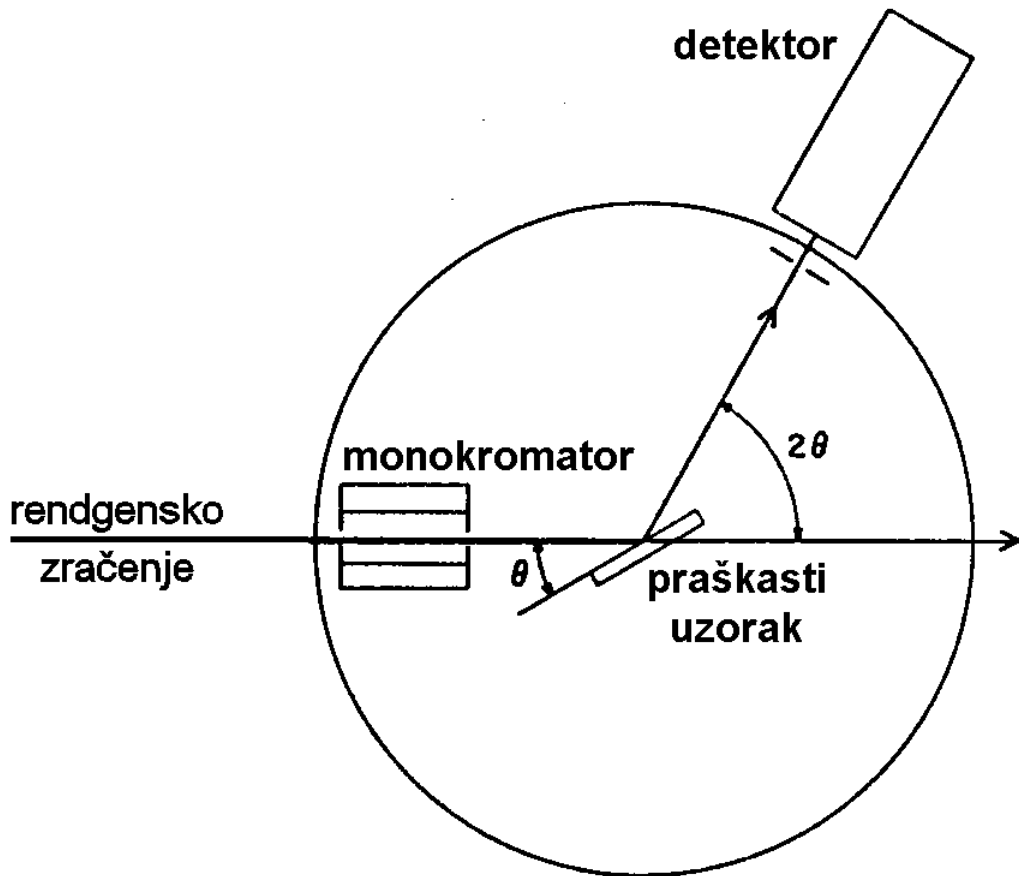
Uz pojave difrakcije i apsorpcije, kod obasjavanja uzorka rendgenskim zračenjem može doći i do *fluorescencije*. Kod fluorescencije atomi uzorka apsorbiranjem upadnog rendgenskog zračenja i sami prelaze u pobuđeno stanje i oslobođaju rendgensko zračenje svojstvenih valnih duljina. Time se povećava šum (smetnje) kod analiza, koji je to izraženiji što je jača apsorpcija rendgenskog zračenja. Stoga treba izbjegavati da valna duljina  $K_{\alpha}$  zračenja anode bude bliska apsorpcijskom pragu fluorescirajućeg elementa u uzorku (što je npr. slučaj kod snimanja uzorka koji sadrže željezo  $CuK_{\alpha}$  zračenjem).

Također se javlja i *Comptonov efekt* – povećanje valne duljine difraktiranog elektromagnetskog zračenja uslijed elastičnog sudaranja sa slabo vezanim elektronima uzorka. Taj efekt je posljedica čestične prirode elektromagnetskog zračenja.

### 1.2. Instrumenti za rendgensku difrakcijsku analizu

Rendgenska difrakcijska analiza koristi se za analizu *kristaličnih* uzoraka. Njome se može identificirati analizirani kristalični materijal (razlikovanje polimorfa koji kristaliziraju u različitim kristalnim sustavima), doznati njegova struktura, otkriti postojanje defekata u građi te definirati onečišćenja, i sl., a moguća je i kvantitativna analiza. Uzorci za rendgensku difrakcijsku analizu većinom su praškasti *polikristalični* uzorci, koji se sastoje od mnoštva sitnih kristalića bez posebne međusobne orientacije. *Monokristali*, komadni uzorci koji su cijeli jedan kristal, ispituju se većinom u mineraloškim istraživanjima, radi preciznog određivanja položaja atoma u kristalu i detaljnije strukturne analize. Analiza monokristala radi određivanja strukture primjenjuje se također u organskoj kemiji te biologiji (virusi).

Polikristalični praškasti uzorci u današnje se vrijeme većinom analiziraju instrumentom *difraktometrom*. Uzorak se rotira *goniometrom* (slika 3) čime se mijenja upadni kut zračenja, tj. difrakcijski kut,  $\theta$ . Intenzitet difraktiranog zračenja mjeri se detektorom, brojačem koji radi na principu ionizacijske komore. Dobiveni električni signal se pojačava i šalje na pisač ili danas na računalo, čime nastaje *difraktogram*, grafički prikaz ovisnosti intenziteta difraktiranog zračenja o difrakcijskom kutu (slika 4). Instrument bilježi kut zakretanja brojača, koji je jednak  $2\theta$ . Svaki kristalični materijal ima svojstveni difraktogram: položaji difrakcijskih maksimuma ovise o geometriji kristalne celije, a njihov intenzitet o broju, vrsti i položaju atoma u njoj. Dvije različite tvari ne mogu dati isti difraktogram, pa ako su dva difraktograma identična znači da su i oba uzorka identična. To je i temelj kvalitativne rendgenske analize, tj. identifikacije nepoznatih kristaličnih uzoraka.

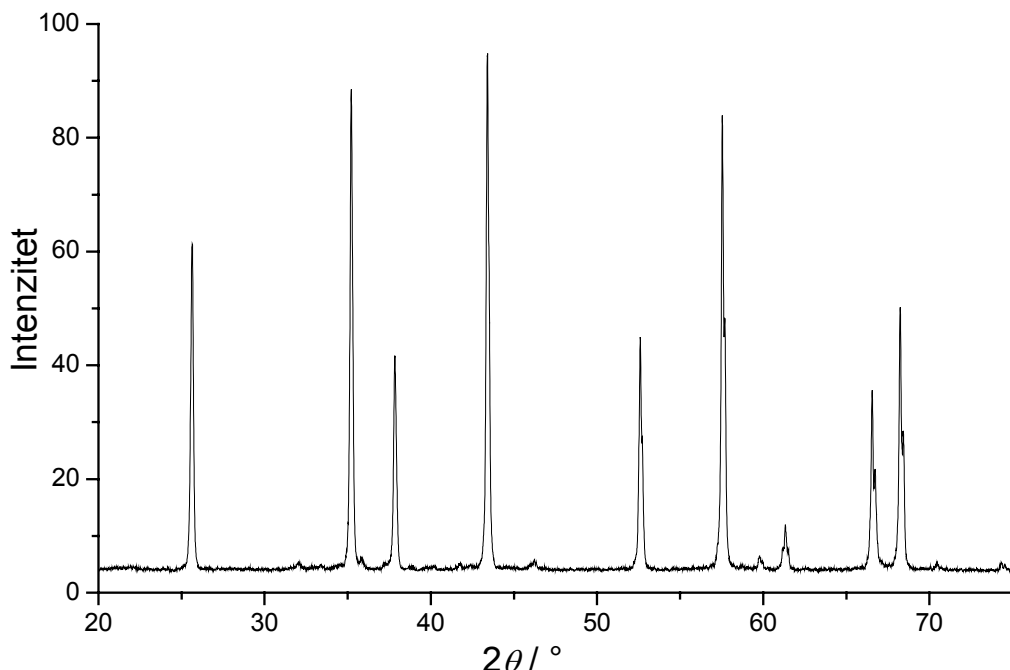


Slika 3 – Shema goniometra s označenim difrakcijskim kutom ( $\theta$ ) i kutom zakretanja goniometra ( $2\theta$ )

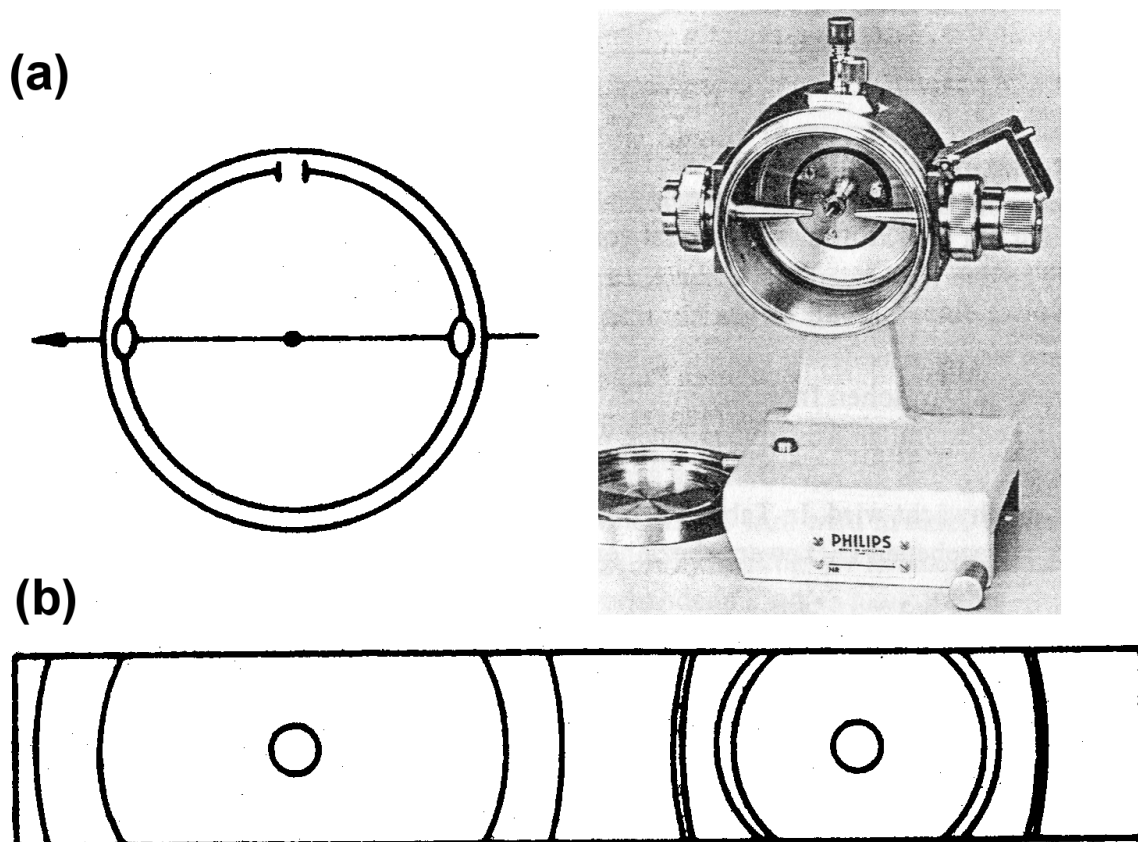
Kako se može vidjeti na slici 4, pri višim kutovima ( $> 65^\circ$ ) dolazi do udvajanja maksimuma, pri čemu je drugi maksimum upola niži od prvog. To je posljedica već spomenutog cijepanja  $K_\alpha$  linije u  $K_{\alpha 1}$  i  $K_{\alpha 2}$  linije. Zbog njihovih različitih valnih duljina nastaju maksimumi na različitim položajima, ali pri nižim kutovima razlika njihovih položaja je zanemariva pa se maksimumi u potpunosti preklapaju.

Manje praktične za primjenu su *okrugle* i *ravne* kamere (slika 5), koje danas sve više gube važnost. Zasnivaju se na osvjetljenju fotografiskog filma difraktiranim rendgenskim zračenjem. Dobivena slika naziva se *Debyogram*, pri čemu udaljenost *difrakcijskih prstenova* od središnjeg snopa odgovara difrakcijskom kutu kod difraktometra. Mane ovih kamera su manja točnost očitavanja intenziteta, sporije dolaženje do rezultata (zbog razvijanja filma) i potreba za tamnom komorom, dok je prednost jedino u cijeni. Njima se istovremeno bilježe položaji svih maksimuma, za razliku od difraktometra koji ih

bilježi sekvencijalno. Duljim vremenom snimanja (*eksponicijom*) dobije se Debyogram s jasnije izraženim intenzitetima maksimuma.



Slika 4 – Difraktogram korunda ( $\text{Al}_2\text{O}_3$ )



Slika 5 – Shema i fotografija okrugle kamere (a) i Debyogram (b)

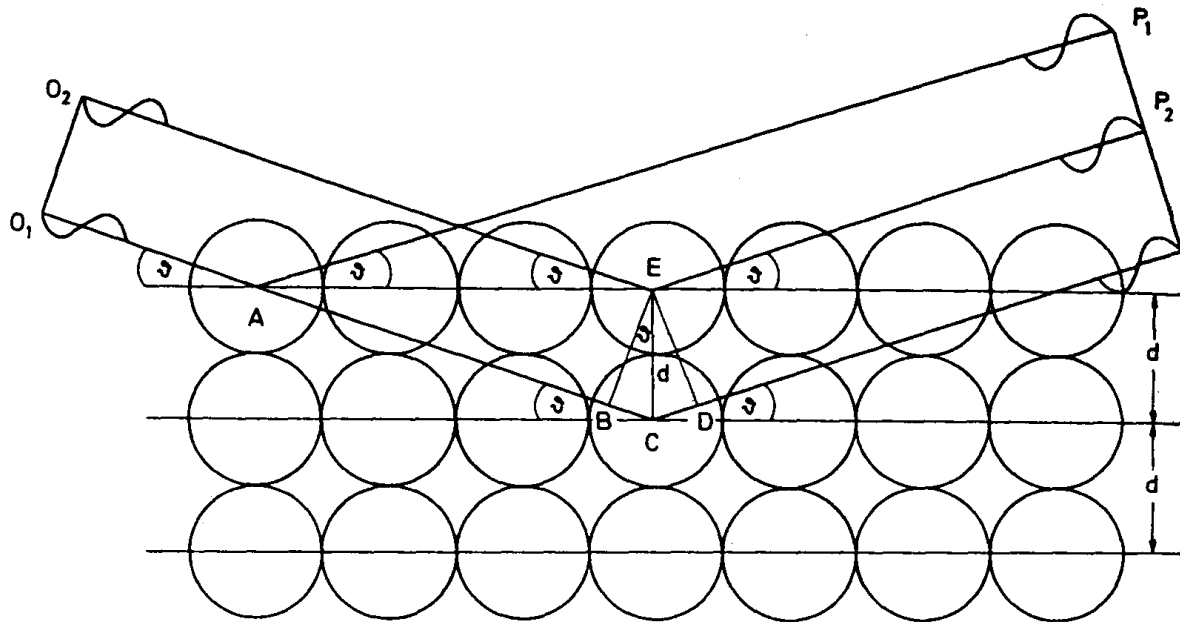
### 1.3. Rendgenska kvalitativna analiza

Kvalitativna rendgenska analiza zasniva se na *Braggovoj* interpretaciji pojave maksimuma na difraktogramu. William Henry Bragg i sin mu William Lawrence Bragg tumačili su da se rendgensko zračenje reflektira od tzv. *ekvidistantnih ploha* u kristalu, ploha iste energetske razine koje su sve međusobno jednako udaljene. Interferencija tako reflektiranih zraka shematski je prikazana na slici 6. Da bi došlo do pozitivne interferencije među zrakama, pomak u fazi ( $2x = BC + CD, BC = CD = x$ ) mora biti cijelobrojni višekratnik valne duljine  $\lambda$ :

$$2x = n\lambda \quad (1)$$

Pomak u fazi,  $x$ , može se trigonometrijski povezati s *međuplošnim razmakom* ekvidistantnih ploha,  $d$ , preko difrakcijskog kuta,  $\theta$ :

$$2d \sin \theta = n\lambda \quad (2)$$



Slika 6 – Shematski prikaz interferencije rendgenskih zraka

Dobiveni izraz (2) jest *Braggova jednadžba*. Iz nje se mjeranjem difrakcijskog kuta,  $\theta$ , kod kojeg se javlja difrakcijski maksimum i poznavajući valnu duljinu rendgenskog zračenja,  $\lambda$ , može odrediti međuplošni razmak ekvidistantnih ploha,  $d$ .

Kako se kroz jednu kristalnu rešetku može provući više ovakvih ploha, nastaje više difrakcijskih maksimuma. Za određenu valnu duljinu rendgenskog

zračenja,  $\lambda$ , najmanji odredivi međuplošni razmak,  $d_{\min} = \lambda/2$ , jer tada vrijedi  $\sin\theta_{\max} = 1$ . Najveći međuplošni razmak,  $d_{\max}$ , funkcija je veličine celije. Refleksi višeg reda,  $n > 1$ , zanemaruju se u računu, i ugrađuju u vrijednost međuplošnog razmaka. Tako se  $n$ -ti refleks ploha međuplošnog razmaka  $d$  može opisati kao prvi refleks ploha međuplošnog razmaka  $d/n$ , koje u kristalu ne moraju ni postojati.

Da bi se kristalične tvari mogle lakše identificirati preko svojih karakterističnih međuplošnih razmaka, primjenjuje se *Hanawaltov* sustav identificiranja. U Hanawaltovom indeksu tvari su složene prema intenzitetu svojih difrakcijskih maksimuma. Stoga se kod kvalitativne analize nakon određivanja međuplošnih razmaka za sve maksimume izračunaju i njihovi relativni intenziteti (100 za najintenzivniji). Hanawaltov indeks podijeljen je u odjeljke od kojih svaki obuhvaća određeni raspon vrijednosti  $d$  najintenzivnijeg maksimuma, a odjeljci su složeni od najviših do najnižih  $d$ . Unutar pojedinog odjeljka, tvari su složene po vrijednosti  $d$  drugog pa trećeg po veličini difrakcijskog maksimuma, ponovno od viših prema nižim vrijednostima. Da bi se olakšalo identificiranje ispitivanih tvari, svaka tvar je u Hanawaltovom indeksu navedena tri puta: prvi put sa stvarnim redoslijedom maksimuma,  $d_1 \ d_2 \ d_3$ , a zatim još i pod redoslijedima  $d_2 \ d_3 \ d_1$  i  $d_3 \ d_1 \ d_2$ .

Difraktogram *smjese* kristaličnih tvari pokazuje difrakcijske maksimume svih prisutnih tvari, ali je intenzitet maksimuma ovisan o udjelu u smjesi. Odnosi intenziteta difrakcijskih maksimuma za pojedinu komponentu pri tom ostaju nepromijenjeni. Kod analize sastava smjese rendgenskom difrakcijskom analizom glavni je problem odrediti koji maksimumi na difraktogramu odgovaraju pojedinoj komponenti smjese. Jednom kad se identificira prva komponenta, preostali maksimumi mogu se pripisati drugoj komponenti, što olakšava njezinu identifikaciju. Naravno, postoji mogućnost da se maksimumi dvaju komponenata nađu na istom položaju (jednaki  $d$ ) pri čemu dolazi do njihovog preklapanja u jedan maksimum većeg intenziteta, što dodatno otežava identifikaciju komponenata. Što ima više komponenti u smjesi analiza je složenija, no prethodno poznavanje djelomičnog sastava (npr. kemijskom analizom) uvelike olakšava postupak. Komponente čiji je maseni udio ispod 3 % teško se mogu

odrediti rendgenskom difrakcijskom analizom (osim ako su izuzetno kristalične) jer im se maksimumi gube među sitnjim maksimumima glavne komponente i u šumu instrumenta.

Kada se pomoću Hanawaltovog indeksa nađe tvar čiji najintenzivniji maksimumi odgovaraju onima nepoznate tvari, točnost identifikacije provjerava se uz pomoć kartica Datoteke za difrakcijsku analizu prašaka (engl. Powder Diffracton File, American Society for Testing & Materials, Joint Comission of Powder Diffraction, slika 7). Kako su na kartici navedeni svi maksimumi identificirane tvari, može se provjeriti postoji li potpuno poklapanje difraktograma s podacima na kartici i time konačno potvrditi identifikaciju.

18 - 154

d	3.99	2.91	4.73	9.47	Ba(N <sub>3</sub> ) <sub>2</sub>	Barium Azide	★
I/I <sub>1</sub>	100	80	70	20			
<b>Rad.      λ</b> Cut off      I/I <sub>1</sub> Filter      Dia. Ref. Tokar, Krischner and Radl, Montash. Chem. 96, 3, 932-40 (1965)							
9.47	20	001	2.295	40	211		
5.33	20	100	2.282	40	210		
5.03	60	101	2.196	70	020,113		
4.73	70	002	2.182	20	202		
4.35	30	101	2.152	10	211		
3.99	100	011	2.083	30	014		
3.39	60	110	2.046	10	114		
3.27	20	102	2.030	10	120		
3.15	30	003	2.013	40	121		
3.08	70	111	1.992	60	213,022		
2.943	20	103	1.961	30	121		
2.909	80	112	1.952	30	212		
2.693	40	201	1.942	10	204		
2.673	30	200	1.893	20	005,203		
2.627	10	112	1.823	20	122		
2.562	70	013	1.803	30	023		
2.537	10	103					
2.514	10	202					
2.468	20	201					
2.366	10	004					

Slika 7 – Kartica Datoteke za difrakcijsku analizu prašaka

Glavni podaci u tablici su kemijska formula i naziv spoja, te popis međuplošnih razmaka, *d*, difrakcijskih maksimuma, njihovih relativnih intenziteta i odgovarajućih *Millerovih indeksa* (hkl). Uz te podatke svaka kartica sadrži i oznaku pouzdanosti, literaturu i eksperimentalne uvjete određivanja podataka, kristalografske podatke i druga svojstva te tvari, te eventualno bilješke. Ako je kemijska formula spoja u uglatim zagradama, uzorak je sintetski priređen.

Oznake pouzdanosti:

- ★ – najpouzdaniji podaci,
- i – podaci srednje pouzdanosti,
- O – najnepouzdaniji podaci,
- c – računski dobiveni podaci (prema engl. *calculated*).

Kristalografski simboli:

- S.G. – trodimenzijska prostorna grupa (engl. *space group*),
- a, b, c, α, β, γ – parametri kristalne rešetke,
- A = a/b, C = c/b – omjeri parametara rešetke,
- Z – broj jedinica kemijske formule po čeliji,
- Dx – gustoća izračunata iz volumena kristalne rešetke, broja jedinica kemijske formule po čeliji, Z, i molarne mase kemijske formule.

Oznake uz vrijednosti Millerovih indeksa u tablici:

- b – difuzni maksimum,
- d – dublet (stari standard, povučena oznaka),
- n – maksimum nije dozvoljen za navedenu prostornu grupu (po starom standardu – nije naveden u svim izvorima),
- nc – maksimum nije izračunat za tu čeliju (stari standard, povučena oznaka),
- ni – nedozvoljeni indeks za tu čeliju (stari standard, povučena oznaka),
- np – maksimum nije dozvoljen za tu prostornu grupu (stari standard, povučena oznaka),
- x – intenzitet maksistema nesiguran zbog preklapanja s β linijom (oznaka po starom standardu: β),
- tr – trag (stari standard, povučena oznaka),
- + – mogući dodatni Millerovi indeksi,
- c – izračunati Millerovi indeksi.

## Vježba 1: Rendgenska kvalitativna analiza

Cilj vježbe jest identificirati nepoznati uzorak iz snimljenog difraktograma, pomoću Hanawaltovog indeksa. Međuplošni razmaci,  $d$ , računaju se prema Braggovoj jednadžbi:

$$d = \frac{\lambda}{2 \sin \frac{2\theta}{2}} \quad (3)$$

Za izračunavanje  $d$  kod jednostrukih maksimuma rabi se srednja vrijednost valnih duljina K<sub>α</sub> zraka bakra,  $\lambda(\text{CuK}_\alpha) = 1,5418 \text{ \AA}$ .

Kod dvostrukih maksimuma koji se javljaju na višim kutovima očitava se viši maksimum i za račun se rabi  $\lambda(\text{CuK}_{\alpha 1}) = 1,5405 \text{ \AA}$ .

$2\theta / {}^\circ$	$d / \text{\AA}$	$I / I_{\max}$

Iz dobivenih vrijednosti  $d$  i  $I / I_{\max}$  može se identificirati uzorak preko Hanawaltovog indeksa.

### Identifikacija uzorka snimljenog okruglom kamerom

Kod okruglih kamera vrijedi udaljenost difrakcijskih prstenova od upadne zrake,  $l$ , može se povezati s difrakcijskim kutom,  $\theta$ , prema sljedećoj jednadžbi:

$$\frac{l}{2R\pi} = \frac{4\theta}{360} \quad (4)$$

$$4\theta = \frac{180l}{R\pi} \quad (5)$$

Male okrugle kamere izrađuju se tako da im promjer bude  $2R = 180/\pi = 57,3 \text{ mm}$ .

Tada vrijedi:

$$\theta = \frac{l / \text{mm}}{2} \quad (6)$$

$I$ / mm	$d$ / Å	$I_{\text{rel}}$

## Vježba 2: Rendgenska kvalitativna analiza smjese

U ovoj vježbi cilj je kvalitativno odrediti sastav dvokomponentne smjese. Komponente se identificiraju pomoću Hanawaltovog sustava, na isti način kao u prvoj vježbi. Kod analize smjese prepostavi se da tri najintenzivnija maksimuma pripadaju istoj komponenti i pokuša se naći odgovarajuća tvar u Hanawaltovom indeksu. Ako se pronađe, nužno je provjeriti odgovaraju li i maksimumi nižeg intenziteta toj tvari i eliminirati sve maksimume koji odgovaraju prvoj komponenti. Tada je prva komponenta određena, a drugu je lako pronaći iz preostalih maksimuma.

U slučaju da se ne uspije pronaći odgovarajuća tvar za prva tri maksimuma, jedan od njih se odbacuje i uzima idući po intenzitetu, i tako se kombinira nekoliko najintenzivnijih maksimuma dok se ne uspije identificirati prvu komponentu.

### 1.4. Rendgenska kvantitativna analiza

Intenziteti,  $I$ , difrakcijskih maksimuma pojedinih komponenti u višefaznom sustavu proporcionalni su udjelu tih komponenti u smjesi. No ta zavisnost nije linearna, pa nije moguće izravno odrediti sastav smjese iz intenziteta maksimuma. Na intenzitet maksimuma osim udjela komponente utječe i *apsorpcijski koeficijent* smjese,  $\mu_s$ , definiran Lambert-Beerovim zakonom apsorpcije elektromagnetskog zračenja:

$$\frac{I}{I_o} = e^{-\mu_s l} \quad (7)$$

gdje je  $I$  debljina sloja u kojem se zračenje apsorbira, a  $I_o$  intenzitet upadnog zračenja.

Da bi se riješio problem nelinearnosti, najčešće se rabe tri metode: metoda vanjskog standarda, metoda unutarnjeg standarda i metoda poznatog dodatka. One se zasnivaju na Alexander-Klugovoј jednadžbi koja daje ovisnost intenziteta maksimuma o udjelu tvari u smjesi:

$$I_{ij} = K_i \frac{\varphi_j}{\mu_s} \quad (8)$$

$I_{ij}$  – intenzitet i-tog maksimuma j-te komponente,

$\varphi_j$  – volumni udio j-te komponente u smjesi,

$\mu_s$  – linearni apsorpcijski koeficijent smjese (iz Lambert-Beerovog zakona),

$K_i$  – "konstanta" koja ovisi o maksimumu, kemijskom sastavu komponente, instrumentu i valnoj duljini zračenja; ukratko, konstanta je samo kod snimanja iste smjese u istim uvjetima.

Kako je za krutine uobičajeno izražavanje sastava u masenim a ne volumnim udjelima, jednadžba (8) obično se transformira u sljedeći oblik:

$$I_{ij} = K_i \frac{x_j}{\rho_j \mu_s^*} \quad (9)$$

$x_j$  – maseni udio j-te komponente u smjesi,

$\rho_j$  – gustoća j-te komponente,

$\mu_s^*$  – maseni apsorpcijski koeficijent smjese, suma  $\mu^*$  pojedinih komponenti prema njihovim masenim udjelima; neovisan je o fizikalnom stanju tvari, ali ovisi o  $\lambda$  zračenja.

Rendgenskom kvantitativnom analizom preciznije se mogu odrediti tvari koje daju intenzivne i oštре maksimume. To su tvari koje sadrže teške atome (jači intenzitet difrakcije), vrlo kristalične tvari (intenzitet maksimuma raste s kristaličnošću), kao i one s vrlo simetričnom rešetkom (malobrojniji maksimumi većeg intenziteta koji nastaju preklapanjem refleksa s više simetričnih ploha). Prilikom odabiranja maksimuma za kvantitativnu analizu nastoji se da budu što intenzivniji radi veće točnosti, da se ne preklapaju s drugim maksimumima, te, u

slučaju metoda unutarnjeg standarda i poznatog dodatka, da maksimumi određivane komponente i standarda budu u međusobnoj blizini.

### Metoda vanjskog standarda

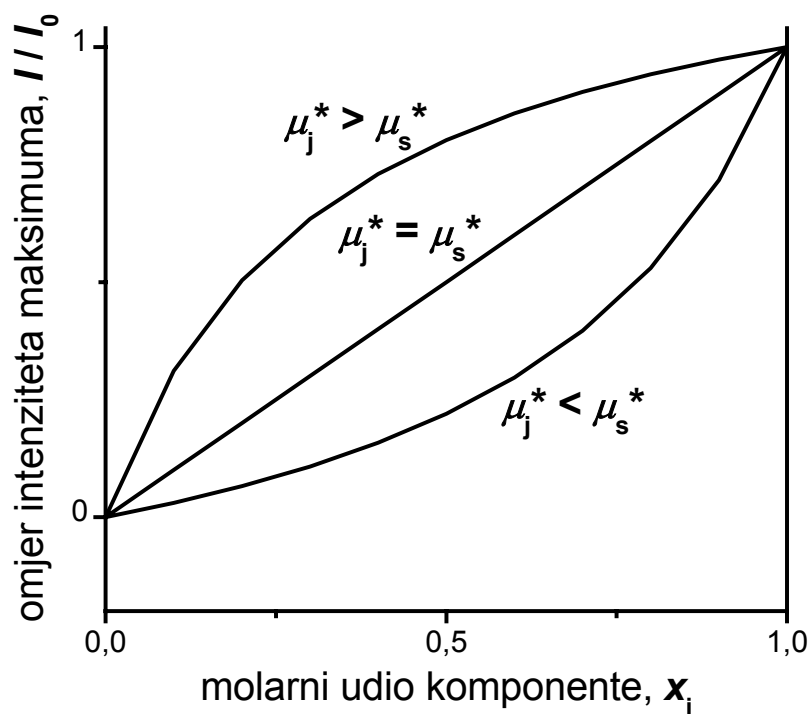
Kao vanjski standard u ovoj metodi rabi se čista komponenta čiji udio treba odrediti. To se postiže usporedbom intenziteta,  $I_{ij}$ , s intenzitetom istog maksistema za čistu komponentu:

$$I_{ij,0} = K_i \frac{1}{\rho_j \mu_j^*} \quad (10)$$

iz čega slijedi:

$$\frac{I_{ij}}{I_{ij,0}} = x_j \frac{\mu_j^*}{\mu_s^*} \quad (11)$$

U ovom slučaju omjer intenziteta linearno ovisi o sastavu samo kada  $\mu_j^* = \mu_s^*$ , to jest kada sve komponente smjese imaju isti kemijski sastav (slika 8). Dakle, ova metoda se može izravno upotrebljavati samo za analizu smjesa polimornih modifikacija. U ostalim slučajevima krivulja može aproksimirati pravcu za male raspone  $x_j$ , te se crta baždarni pravac.



Slika 8 – Metoda vanjskog standarda

Egzaktna ravnotežna krivulja za dvokomponentni sustav jest:

$$\frac{I}{I_0} = \frac{\mu_1^* x_1}{x_1(\mu_1^* - \mu_2^*) + \mu_2^*} \quad (12)$$

### Metoda unutarnjeg standarda

Ova metoda razvijena je da bi se izbjegli nedostaci metode vanjskog standarda. U ispitivani uzorak dodaje se uvijek jednaka količina standarda (npr. 10 % na ukupnu masu). Za standard tada vrijedi:

$$I_{nd} = K_n \frac{x_d}{\rho_d \mu_s^*} \quad (13)$$

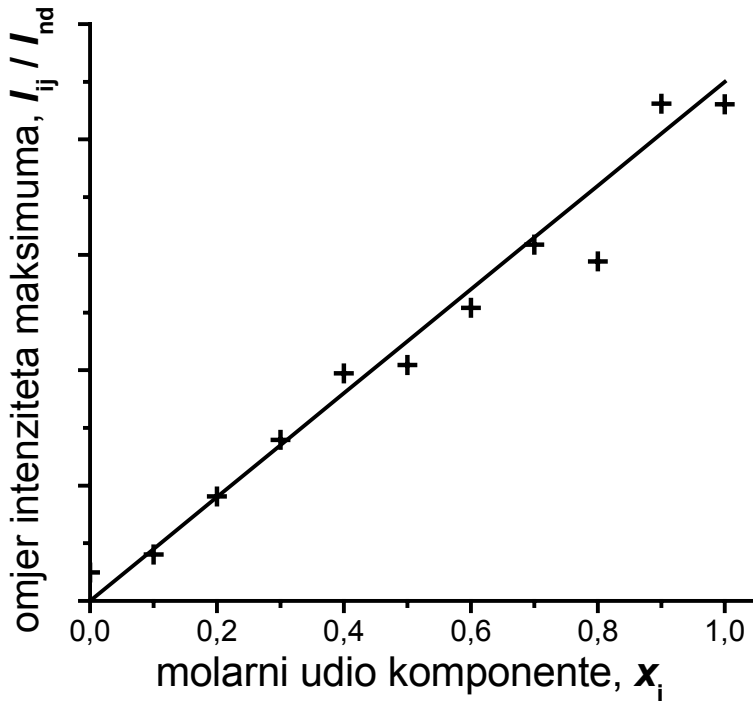
(n – redni broj maksimuma standarda; d – oznaka za standard). Tako je omjer intenziteta maksimuma određivane tvari i standarda:

$$\frac{I_{ij}}{I_{nd}} = \frac{K_i x_j \rho_d \mu_s^*}{K_n x_d \rho_j \mu_s^*} = \alpha \frac{x_j}{x_d} \quad (14)$$

Kako je standard sastavni dio ispitivanog uzorka, apsorpcijski koeficijent je jednak, pa je  $\alpha$  konstantna za smjesu koje ima iste komponente, i za jednake uvjete snimanja. Ako se uvijek dodaje ista količina standarda, i  $x_d$  je konstantan, pa se dobiva linearna ovisnost omjera intenziteta o masenom udjelu komponente. Zbog linearne ovisnosti ova metoda predstavlja napredak u odnosu na metodu vanjskog standarda.

Da bi se mogao odrediti udio nepoznate tvari u uzorku, potrebno je napraviti baždarni pravac snimanjem difraktograma niza smjesa poznatog sastava (slika 9). Tvari iz kojih se rade uzorci za baždarni pravac moraju biti strukturno jednake komponentama nepoznate smjese, i svi sastojci se moraju precizno vagati i dobro homogenizirati. Izrada takvog baždarnog pravca je naporan posao, i isplativ je ako se planira raditi niz analiza istovrsnih smjesa. Kod metode unutarnjeg standarda baždarni pravac obavezno prolazi kroz nulu!

Standard mora biti vrlo kristaličan da bi mu maksimumi bili izraženi i pri manjim udjelima u smjesi. Također mora biti stabilan, tj. ne smije reagirati sa zrakom, vlagom, ili komponentama uzorka. Važno je da nema znatnijeg preklapanja između maksimuma standarda i komponenata uzorka.



Slika 9 – Baždarni pravac za metodu unutarnjeg standarda

#### Metoda poznatog dodatka

Pri određivanju malih udjela neke komponente dodatkom standarda još više se smanjuje njezin udio, a time i točnost određivanja. Tada je bolje koristiti metodu poznatog dodatka, koja je također prikladna kada je matica (tj. ostatak uzorka) toliko komplikirana da ju je teško umjetno reproducirati prilikom izrade baždarnih smjesa. Kod ove metode tako nije potrebno poznavati sve komponente smjese.

Kao standard uzima se bilo koji difrakcijski maksimum druge komponente u smjesi. Udio te komponente treba biti stalan, a dobro bi bilo da ispunjava zahtjeve za unutarnji standard. U uzorak se dodaju poznate količine komponente čiji udio treba odrediti. Kako su i u ovom slučaju uzorak i standard u istoj smjesi, u omjeru intenziteta  $\mu_s^*$  se poništava, te vrijedi:

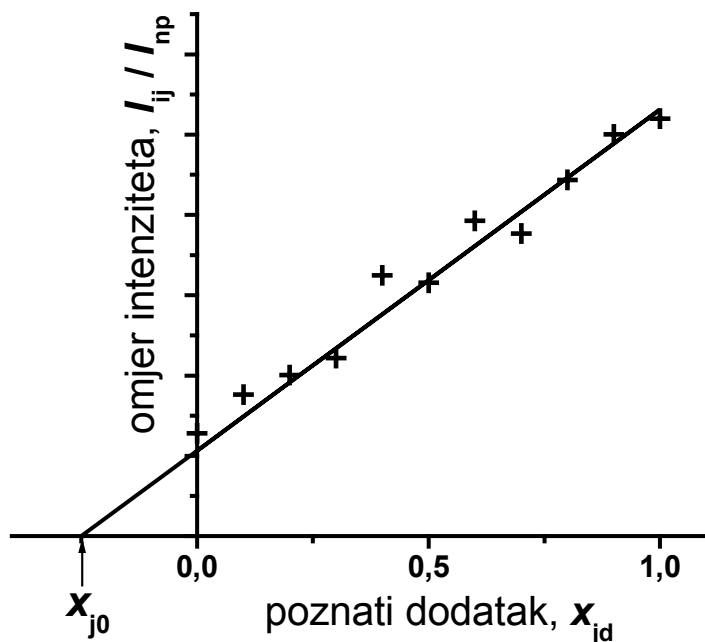
$$\frac{I_{ij}}{I_{np}} = \alpha(x_{jo} + x_{jd}) \quad (15)$$

$x_{jo}$  – količina određivane komponente u uzorku,

$x_{jd}$  – dodana poznata količina određivane komponente,

p – oznaka druge komponente koja je odabrana kao standard.

Iz baždarnog pravca može se odrediti  $x_{j0}$ , kako je prikazano na slici 10.



Slika 10 – Određivanje udjela određivane komponente,  $x_{j0}$ , metodom poznatog dodatka

### Vježba 3: Rendgenska kvantitativna analiza

Cilj ove vježbe je odrediti maseni sastav smjese kalcita ( $\text{CaCO}_3$ ) i kasiterita ( $\text{SnO}_2$ ), s dodatkom 10 % anatasa ( $\text{TiO}_2$ ) kao standarda. Intenzitet je proporcionalan površini ispod difrakcijskog maksimuma. Baždarni pravac izrađuje se snimanjem difraktograma prethodno pripravljenih smjesa poznatih udjela kalcita i kasiterita. Nepoznati uzorak se snima na isti način kao i baždarni pravac.

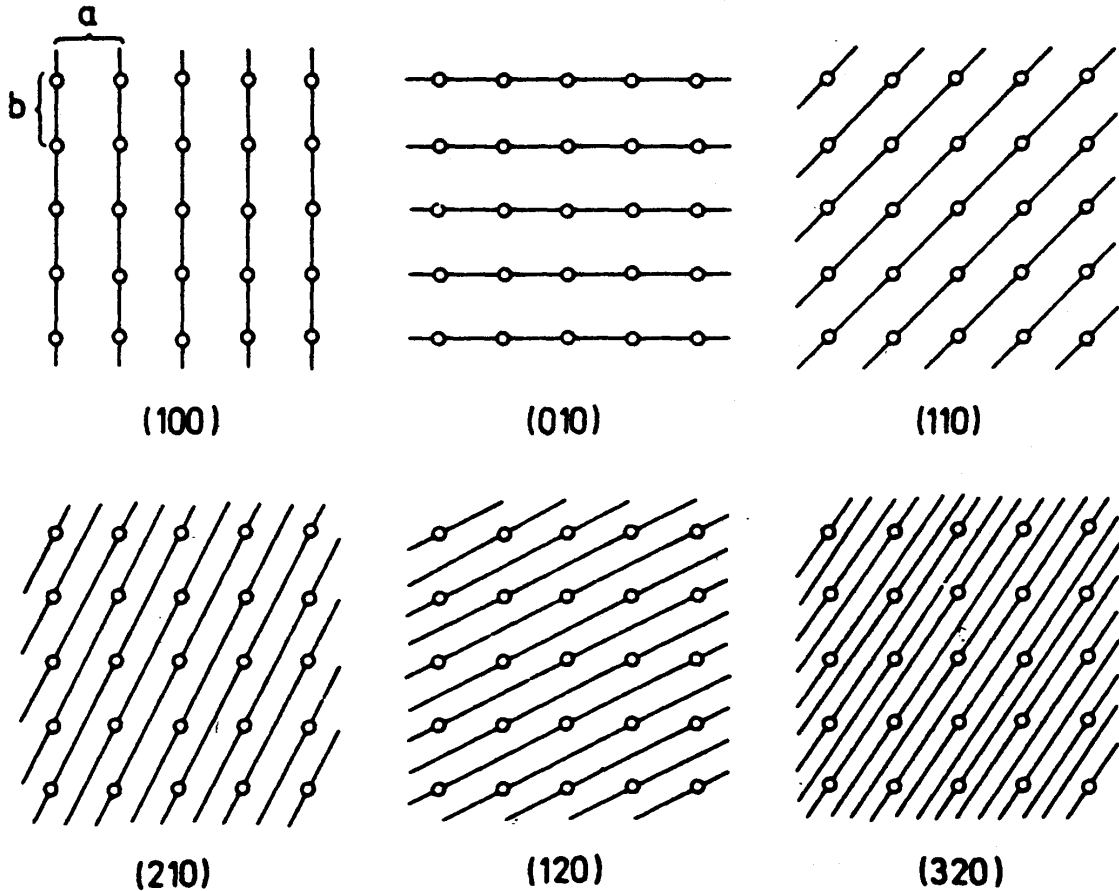
$w(\text{SnO}_2) / \%$	$I_{\text{kas}}$	$I_{\text{kal}}$	$I_{\text{ana}}$	$I_{\text{kas}} / I_{\text{ana}}$	$I_{\text{kal}} / I_{\text{ana}}$
10					
15					
.					
.					
.					
<i>nep. uzorak</i>					

Baždarne pravce za kalcit i kasiterit potrebno je nacrtati metodom najmanjih kvadrata. Točnost metode može se provjeriti zbrajanjem neovisno izračunatih vrijednosti udjela kasiterita i kalcita u smjesi nepoznatog sastava.

### 1.5. Određivanje parametara elementarne čelije

Atomi ili molekule kristala pravilno su raspoređeni kroz njegov volumen, tako da se isti uzorci periodički ponavljaju u sve tri dimenzije. Položaj atoma ili molekula određuje se prema *kristalnim osima*, koje međusobno ne moraju biti pod pravim kutom, i koje se u kristalografskoj označavaju slovima a, b i c. Dio volumena čijom se translacijom u smjeru sve tri kristalne osi može opisati cjelokupni raspored atoma u kristalu naziva se *jediničnom* ili *elementarnom čelijom*. Elementarna čelija kristaličnih tvari bira se tako da bude najmanjeg mogućeg volumena a da još uvijek posjeduje punu simetriju kristala. Prema kutu između kristalnih osi i omjeru duljina stranica elementarne čelije svi se oblici kristala mogu svrstati u 7 kristalnih sustava: kubični, tetragonski, rompski, trigonski, heksagonski, monoklinski i triklinski. Kutovi između kristalnih osi i duljine stranica u potpunosti određuju elementarnu čeliju i stoga se nazivaju *parametrima kristalne rešetke*.

Da bi se parametri kristalne rešetke mogli odrediti iz difraktograma, potrebno je naći vezu između međuplošnih razmaka,  $d$ , i parametara rešetke. Svaka ekvidistantna ploha prolazi kroz elementarnu čeliju pod nekim kutom, pri čemu siječe osi elementarne čelije na određenim udaljenostima. Te udaljenosti mogu se prikazati kao  $a/h$ ,  $b/k$  i  $c/l$ , gdje su h, k i l *Millerovi indeksi* za određenu plohu, a  $a$ ,  $b$  i  $c$  duljine bridova čelije. Millerovi indeksi uvijek se svode na najmanji cijeli broj, što znači da sve paralelne plohe imaju iste indekse. Ako je ploha paralelna s jednom od osi ona sijeće tu os u beskonačnosti, pa je Millerov indeks za tu os  $a/\infty = 0$ . Millerovi indeksi u oblim zagradama simboliziraju plohu: (321). Negativni Millerovi indeksi označavaju se s crtom preko odgovarajuće znamenke: (110)



Slika 11 – Primjeri ekvidistantnih ploha s odgovarajućim Millerovim indeksima u dvodimenzijskoj kvadratičnoj rešetki

Ovisnost  $d$  o parametrima rešetke funkcija je samih parametara, ali i vrste kristalne rešetke. Za ortogonalne rešetke  $d$  se može izračunati iz prostorne dijagonale kvadra prema sljedećoj jednadžbi:

$$\frac{1}{d_{hkl}^2} = \frac{h^2}{a^2} + \frac{k^2}{b^2} + \frac{l^2}{c^2} \quad (16)$$

Za kubičnu rešetku  $a = b = c$ , pa se gornja jednadžba pojednostavljuje u:

$$\frac{1}{d_{hkl}^2} = \frac{h^2 + k^2 + l^2}{a^2} \quad (17)$$

Kako se iz difraktograma izravno mogu izračunati jedino  $d_{hkl}$ , za svaku vrijednost  $d_{hkl}$  potrebno je odrediti Millerove indekse. Kod kubične rešetke to je jednostavno postići postavljanjem sljedećeg omjera:

$$\left( \frac{1}{d_{hkl}^2} \right)_1 : \left( \frac{1}{d_{hkl}^2} \right)_2 = \frac{h_1^2 + k_1^2 + l_1^2}{a^2} : \frac{h_2^2 + k_2^2 + l_2^2}{a^2} \quad (18)$$

Kraćenjem se dobiva:

$$\frac{(1/d_{hkl}^2)_1}{(1/d_{hkl}^2)_2} = \frac{h_1^2 + k_1^2 + l_1^2}{h_2^2 + k_2^2 + l_2^2} \quad (19)$$

Kako su Millerovi indeksi cijeli brojevi, suma njihovih kvadrata nužno je također cijeli broj, pa omjeri ( $1/d^2$ ) moraju biti omjeri cijelih brojeva. Sve se vrijednosti ( $1/d^2$ ) podjele s prvom, a dobiveni omjeri se zatim po potrebi množe zajedničkim množiteljem da bi se dobili cijeli brojevi. Ti brojevi odgovaraju sumi  $h^2 + k^2 + l^2$  za pojedini  $d_{hkl}$ , i iz njih je moguće pretpostaviti Millerove indekse  $h$ ,  $k$  i  $l$ . Jednom kad su Millerovi indeksi poznati, parametar kubične rešetke računa se prema:

$$a = \sqrt{d^2(h^2 + k^2 + l^2)} \quad (20)$$

Preciznije se  $a$  izračunava grafički, iz nagiba pravca provučenog metodom najmanjih kvadrata:

$$d = a \cdot \frac{1}{\sqrt{h^2 + k^2 + l^2}} \quad (21)$$

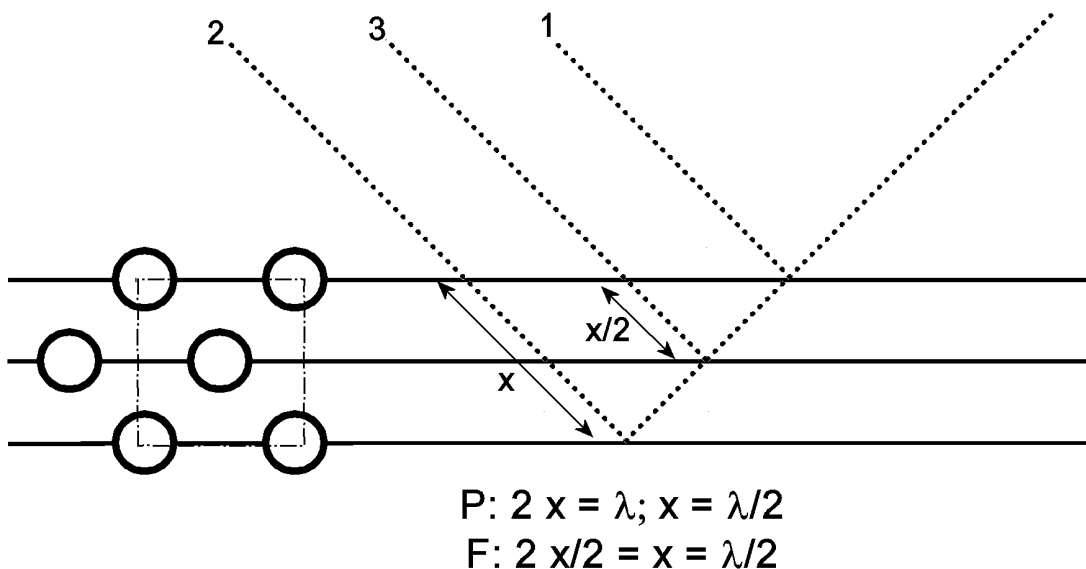
Iz dobivenih vrijednosti Millerovih indeksa također se može odrediti vrsta kubične rešetke: primitivna (P), plošno centrirana (F, prema njem. *Flachenzentrierte*) ili prostorno centrirana (I, njem. *Innenzentrierte*) kocka. Kod primitivne kubične rešetke moguće je postojanje refleksa za sve vrijednosti Millerovih indeksa. Kod prostorno centrirane kocke ne mogu se javiti ("zabranjeni su") refleksi za ekvidistantne plohe čiji je zbroj Millerovih indeksa,  $h + k + l$ , neparan. To je posljedica negativne interferencije refleksa s takvih ploha, kako je pojednostavljeno prikazano na slici 12.

Kod plošno centrirane kubične rešetke iz istih se razloga mogu javiti samo refleksi koji zadovoljavaju sva tri sljedeća uvjeta:

$$h + k = \text{paran broj},$$

$$k + l = \text{paran broj},$$

$$h + l = \text{paran broj}.$$



Slika 12 – Poništavanje refleksa s ekvidistantnih ploha za koje je suma  $h + k$  neparna (na primjeru dvodimenzijske kvadratične rešetke)

Da bi se parametri rešetke odredili sa što manjom pogreškom, u računu se koriste maksimumi kod viših kutova. Kod njih pogreška u kutu manje utječe na točnost vrijednosti  $d$ , a i račun s vrijednošću  $\lambda$  za  $\text{CuK}_{\alpha 1}$  je precizniji. Radi veće točnosti određivanja položaja maksimuma, po potrebi se može dodati i standard s poznatim vrijednostima  $d$ .

#### Vježba 4: Određivanje parametara elementarne čelije

Cilj ove vježbe je odrediti parametar kubične rešetke za zadalu tvar, te odrediti u kojoj kubičnoj rešetki kristalizira.

$2\theta$	$d/\text{\AA}$	$1/d^2 / \text{\AA}^{-2}$	$h^2 + k^2 + l^2$	hkl	$a / \text{\AA}$

Grafički prikaz za izračunavanje  $a$  metodom najmanjih kvadrata.

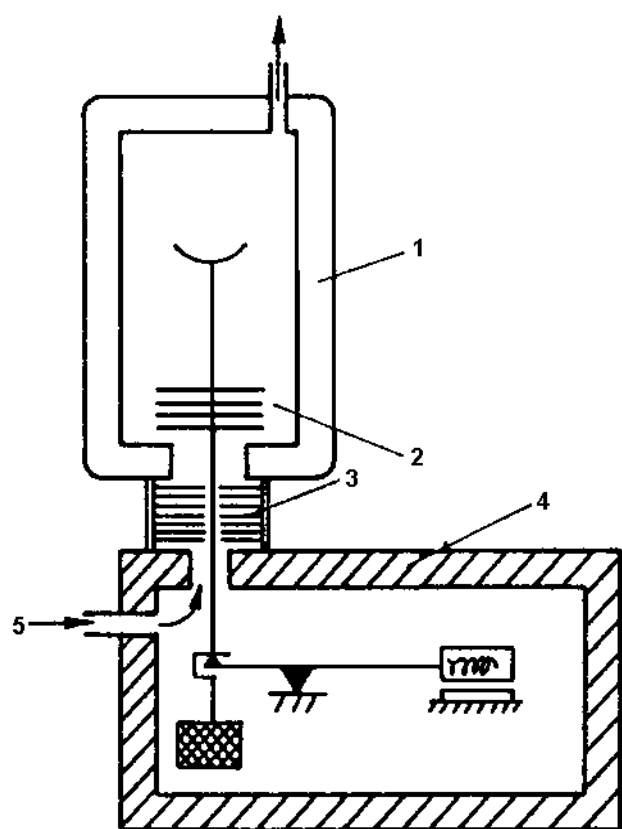
Dobivenu eksperimentalnu vrijednost  $a$  treba usporediti s literaturnom vrijednosti, i izračunati pogrešku.

## 2. Metode toplinske analize

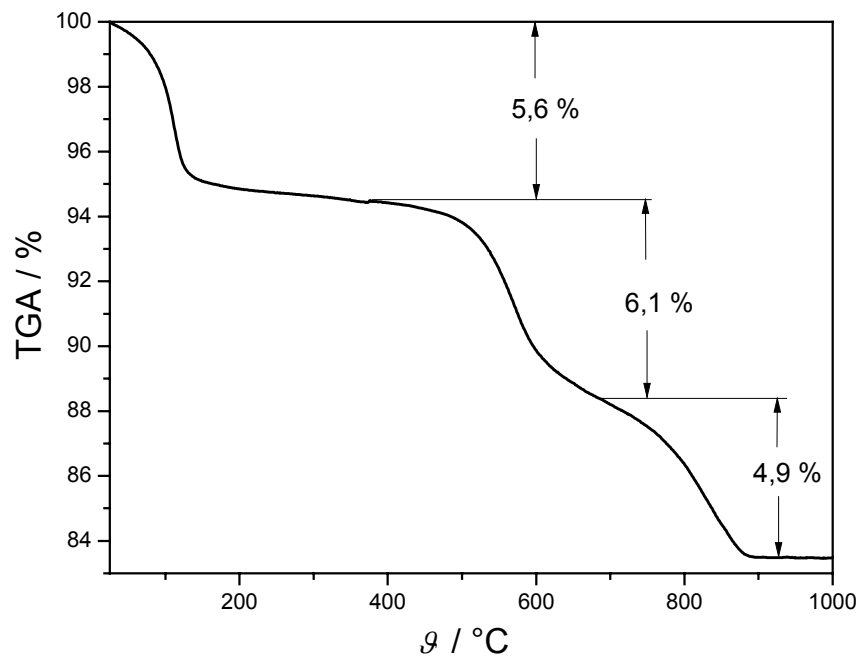
Metode kojima se određuju fizikalna i kemijska svojstva ispitivane tvari u ovisnosti o temperaturi nazivaju se metodama toplinske analize. Pri tome mjerena mogu biti *izotermna*, ako se tvar izloži stalnoj temperaturi i prate se promjene u vremenu, ili *neizotermna*, ako se uzorak zagrijava ili hlađi u pravilu stalnom brzinom ( $\beta / \text{K min}^{-1}$ ) do konačne temperature. Neke od najčešćih metoda toplinske analize su termogravimetrijska analiza (TGA), diferencijalna toplinska analiza (DTA), diferencijalna pretražna kalorimetrija (DSC, iz engl. *differential scanning calorimetry*), toplinska mehanička analiza (TMA) i diferencijalna mehanička (toplinska) analiza (DMTA). Same po sebi ove metode nisu dovoljne za nedvosmislenu identifikaciju uzorka. Stoga služe uglavnom kao dopunske metode za detaljnije karakteriziranje već poznatih uzoraka. Vrlo su prikladne za određivanje tališta, staklastog prijelaza, toplinskog kapaciteta, toplinske postojanosti materijala, njegove reaktivnosti, faznih dijagrama itd.

Termogravimetrijska analiza mjeri promjenu mase uzorka (npr. gubitak mase raspadom uzorka, porast oksidacijom, itd.). Instrument kojim se to mjeri naziva se *termovaga* i shematski je prikazan na slici 13. Princip rada termovage je jednostavan: zdjelica na koju se stavlja uzorak uvlači se u peć gdje se uzorak kontrolirano zagrijava. Termovage su vrlo precizne, i redovito imaju osjetljivost od 0,1 mg ili manje. Da bi se ta preciznost održala u svim uvjetima mjerena, vaga je zaštićena toplinskim štitovima i propuhivanjem inertnog plina kroz kućište, a stalna temperatura se održava termostatiranjem. Može se regulirati i atmosfera u peći, tako da se reakcije provode u inertnoj atmosferi, reaktivnoj (recimo oksidativnoj) atmosferi, ili čak u vakuumu.

Tipična krivulja gubitka mase dana je na slici 14. Mogu se primijetiti tri odvojena koraka gubitka mase, koji se mogu kvantificirati. Da bi se olakšala identifikacija procesa koji uzrokuju promjenu mase, TGA metoda se sve više koristi u kombinaciji s DSC ili DTA metodama. Povezivanjem s odgovarajućim detektorom (spektrometrom u infracrvenom području ili masenim spektrometrom) također se mogu analizirati oslobođeni plinovi, i ta metoda naziva se EGA (engl. *evolved gas analysis*).

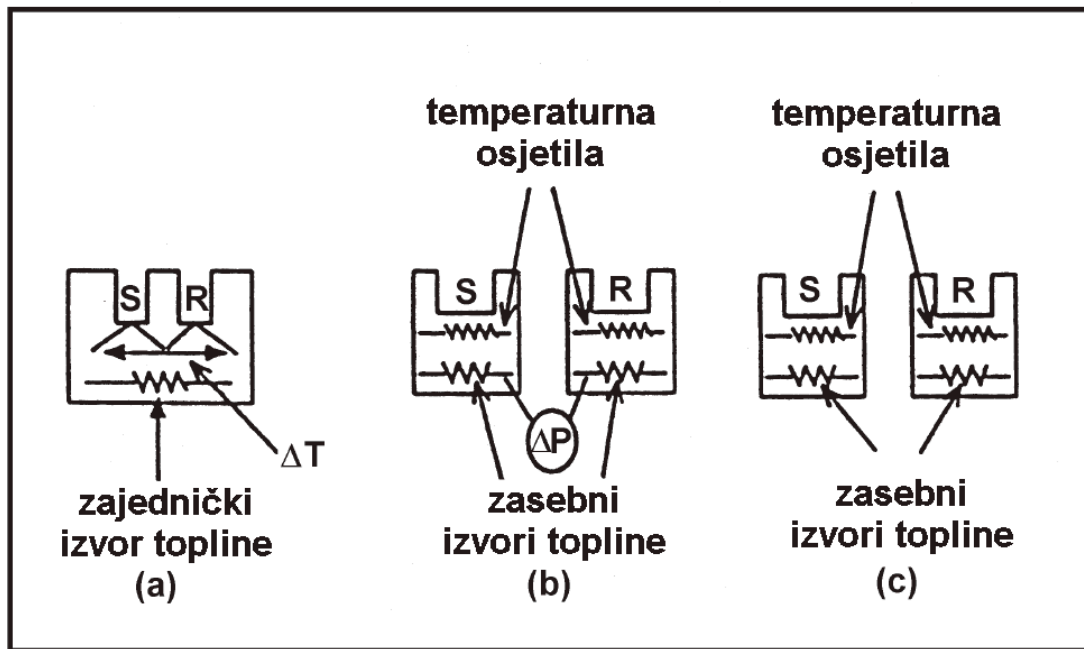


Slika 13 – Shema termovage. (1) peć, (2) zdjelica za uzorak s toplinskim štitovima, (3) dodatna izolacija vase, (4) kućište vase, (5) ulaz inertnog plina



Slika 14 – Primjer TGA krivulje s tri stupnja gubitka mase

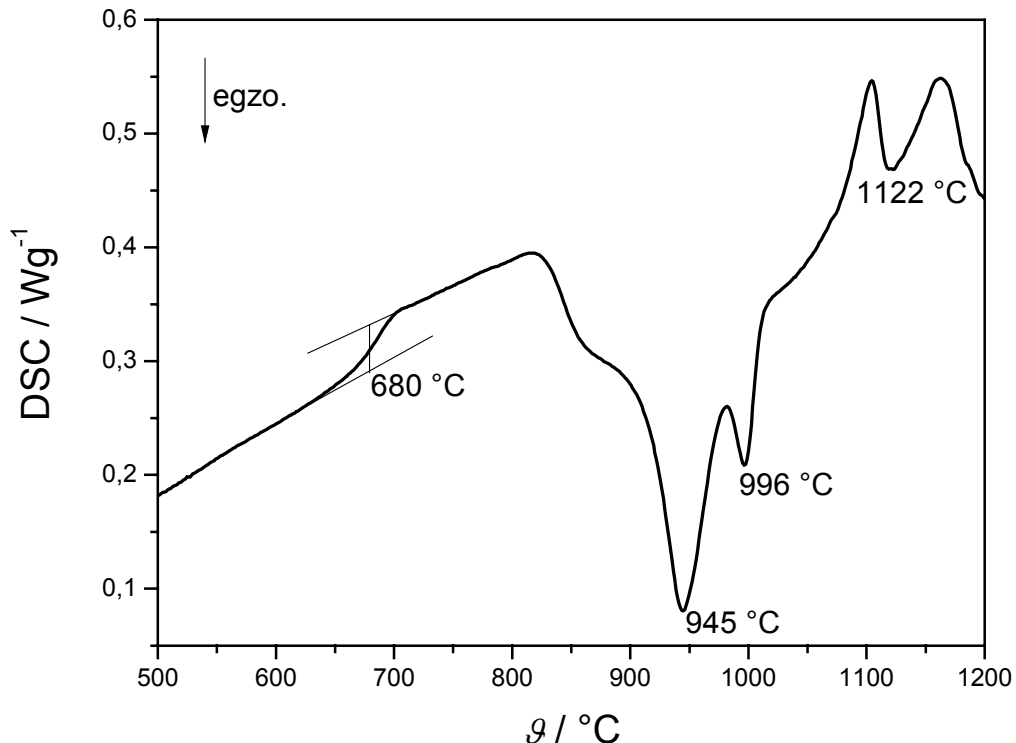
Diferencijalna toplinska analiza i diferencijalna pretražna kalorimetrija slične su metode. Obje su *komparativne*, tj. uspoređuju ispitivani uzorak s inertnim *referencijskim uzorkom*. Referencijski uzorak ne smije prolaziti kroz fazne promjene (staklište, talište, reakcija) u mjernom temperaturnom području. Stoga se najčešće odabire korund ( $\text{Al}_2\text{O}_3$ ) koji je postojan do  $1500\text{ }^{\circ}\text{C}$ . Kod DTA termoparam se mjeri razlika temperatura između ispitivanog i referencijskog uzorka. Pri tom u ispitivanom uzorku uslijed reakcije dolazi do odstupanja temperature od zadanog temperaturnog programa, što se bilježi kao DTA signal:  $dT/dt$ . DSC instrument pak mjeri snagu,  $dH/dt$ , koja je potrebna da se razlika temperature između ispitivanog i inertnog uzorka svede na nulu. DSC instrumenti se po načinu rada dijele na dvije vrste: DSC na principu toplinskog toka (engl. *heat flux*) i DSC na principu kompenzacije snage (engl. *power compensation*). Kod prvih se mjeri toplinski tok između uzorka koji se javlja zbog temperaturne razlike među njima, dok se kod drugih izravno mjeri razlika snaga grijачa koji održavaju uzorke na jednakim temperaturama. Sheme DTA i DSC instrumenta dane su na slici 15.



Slika 15 – Shema instrumenata: (a) DTA, (b) DSC na principu kompenzacije snage i (c) DSC na principu toplinskog toka; S = ispitni uzorak, R = referencijski uzorak

Prednosti su instrumenata na principu toplinskog toka mogućnost rada s većim uzorcima, visoka osjetljivost i mogućnost rada na temperaturama iznad

800 °C. No oni nisu upotrebljivi pri velikim brzinama zagrijavanja. Glavne su prednosti instrumenata na principu kompenzacije snage što ne zahtijevaju kalibraciju, jer se toplina može odrediti izravno iz električne energije dovedene mjernom ili referencijskom uzorku, te što mogu raditi s velikim brzinama zagrijavanja. Mane su im nužnost upotrebe vrlo osjetljive elektronike (koja sprečava primjenu pri temperaturama iznad 800 °C) i iznimna osjetljivost na promjene u okolišu.



Slika 16 – Primjer DSC krivulje uzorka sa staklastim prijelazom pri 680 °C i tri egzotermna maksimuma

DTA i DSC metodom mogu se određivati fizikalne i kemijske promjene uzorka, tj. fazni prijelazi ili reakcije pri kojima dolazi do promjene entalpije. U kombinaciji s TGA metodom omogućavaju i kvalitativnu i kvantitativnu analizu uzorka. Kod endoternih promjena u uzorku DTA bilježi negativan otklon signala pošto uzorak troši vlastitu energiju prilikom reakcije i time njegova temperatura pada u usporedbi s referencijskim uzorkom. DSC, naprotiv, bilježi pozitivan otklon signala jer se uzorku dovodi toplina da bi mu se temperatura održala na jednakoj vrijednosti kao kod referencijskog uzorka. U slučaju egzoternih promjena otkloni su suprotni. Dogovorno se na grafičkom prikazu egzotermne reakcije prikazuju negativnim vrijednostima, ali to može varirati

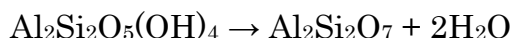
ovisno o instrumentu. Stoga se ta orientacija redovito dodatno naznačuje. Na slici 16. dan je primjer DSC krivulje s označenim staklištem i nekoliko egzoternih reakcija. Kod staklišta dolazi do karakterističnog skoka u baznoj liniji kao posljedica promjene toplinskog kapaciteta ispitivanog uzorka. Kao temperatura staklastog prijelaza obično se uzima točka infleksije krivulje.

Kalibracija DSC i DTA instrumenata ključna je ponajprije radi određivanja temperature, a zatim i topline reakcije, pogotovo stoga što intenzitet signala ovisi i o brzini zagrijavanja. Postoje različite metode kalibracije DSC instrumenata, a najpopularnije su one pomoću Jouleova efekta i toplina taljenja. *Jouleov efekt* naziv je za pojavu zagrijavanja otpornika kroz koji teče struja, pri čemu je oslobođena toplina razmjerne jakosti struje. Ta pojava omogućuje jednostavan način kalibracije, postavljanjem električnih grijajućih na mjesto uzorka. Usprkos mogućem gubitku topline u žicama grijajućih, točnost je te kalibracije bolja od 0,2 %. Taljenje vrlo čistih tvari pak omogućuje usporednu kalibraciju temperature i topline reakcije, jer se rabe tvari koje se tale pri dobro definiranim temperaturama i imaju poznatu toplinu taljenja. Preporučljivo je kalibrirati s nekoliko tvari i uz nekoliko različitih brzina zagrijavanja, jer osjetljivost instrumenta osim o temperaturi ovisi i o brzini zagrijavanja. Kako toplinska vodljivost može utjecati na odziv instrumenta, poželjno je da masa tvari koja se rabi za kalibraciju bude što bliža masi uzorka. Glavni je nedostatak toga postupka potreba korištenja više standardnih tvari kod kalibracije širih temperaturnih područja.

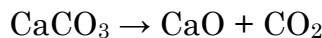
## Vježba 5: Metode toplinske analize

Potrebno je kvantitativno odrediti sastav smjese kaolinita ( $\text{Al}_2\text{Si}_2\text{O}_5(\text{OH})_4$ ), α-kvarca ( $\text{SiO}_2$ ) i kalcita ( $\text{CaCO}_3$ ) simultanom DSC/TGA analizom, uz korund ( $\text{Al}_2\text{O}_3$ ) kao standard, i stalnu brzinu zagrijavanja  $\beta = 10 \text{ K min}^{-1}$ . Zagrijavanjem smjese redom se odvijaju sljedeće reakcije:

1. oslobođanje adsorbirane vode (određivanje vlage u uzorku),
2. pri  $515,8^\circ\text{C}$  kaolinit prelazi u metakaolinit uz gubitak vode:



3. pri  $569,3^\circ\text{C}$  α-kvarc se pregrađuje u β-kvarc, bez gubitka mase,
4. pri  $781,2^\circ\text{C}$  kalcit se raspada uz gubitak  $\text{CO}_2$ :



5. pri  $971,1^\circ\text{C}$  metakaolinit se pregrađuje u aluminijsko-silicijski spinel, bez gubitka mase.

Kvantitativni sastav uzorka može se odrediti iz gubitka mase pri pojedinim reakcijama.

$$w(\text{kaolinit}) =$$

$$w(\text{kalcit}) =$$

$$w(\alpha\text{-kvarc}) =$$

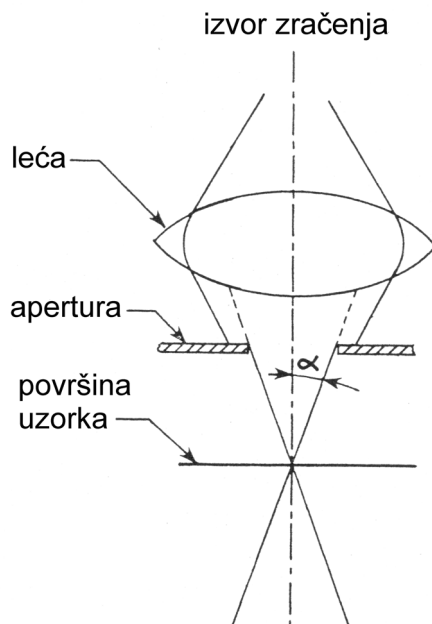
$$w(\text{vlaga}) =$$

### 3. Elektronska mikroskopija

U mikroskopiji osim povećanja bitna je i *razlučivost* ili rezolucija tako dobivene povećane slike. Razlučivost se definira kao razmak između detalja koji se još mogu razlikovati, tj. razlučiti. Ako visoko povećanje nije praćeno izrazitom razlučivošću slike će biti bezvrijedne. Razlučivost svjetlosnih mikroskopa ograničena je valnom duljinom svjetlosti, i definirana je Abbeovom jednadžbom:

$$d = \frac{0,612\lambda}{n \sin \alpha} \quad (22)$$

gdje je  $d$  razlučivost (to bolja što joj je vrijednost niža), 0,612 empirijski utvrđen faktor,  $\lambda$  valna duljina,  $n$  indeks loma medija (za vakuum i zrak 1), a  $\alpha$  aperturni kut, kako je prikazano na slici 17. U praksi razlučivost ovisi jedino o valnoj duljini svjetlosti, i bolja je što je valna duljina manja. Da bi se postigla veća povećanja treba dakle upotrebljavati manje valne duljine. Stoga se otkrićem valne prirode tvari počelo raditi na primjeni elektrona kao izvora "svjetlosti" vrlo malih valnih duljina.



Slika 17 – Aperturni kut u mikroskopiji

Valna duljina elektrona definirana je de Broglieovom jednadžbom:

$$\lambda = \frac{h}{mv} \quad (23)$$

gdje je  $\lambda$  valna duljina elektrona,  $m$  njegova masa,  $v$  brzina, a  $h$  Planckova konstanta. Prema tome, valna duljina elektrona obratno je proporcionalna njegovoј brzini. Elektroni se ubrzavaju prolaznjem kroz električno polje napona  $U$  tako postižu kinetičku energiju,  $E_k$ :

$$E_k = \frac{1}{2}mv^2 = Ue \quad (24)$$

gdje je  $e$  naboј elektrona, pa se valna duljina elektrona može povezati s tzv. *naponom ubrzanja*,  $U$ , sljedećim izrazom:

$$\lambda = \frac{h}{\sqrt{2mUe}} \quad (25)$$

Primjerice, za napon od 80 kV valna duljina elektrona je 4,2 pm, a za 200 kV 2,5 pm. Tako se primjenom elektrona mjesto svjetlosti razlučivost mikroskopa poboljšala do razine desetine nanometra, drugim riječima do razine atoma. Teorijski bi razlučivost mogla biti i 100 puta bolja, no zbog većih optičkih pogrešaka elektromagnetskih leća mora se rabiti manja apertura čime se smanjuje razlučivost.

Prema tome stvaraju li sliku elektroni koji prolaze kroz uzorak ili pak oni koji se odbijaju od njegove površine, razlikuju se *transmisijski* i *skenirajući* elektronski mikroskopi (TEM i SEM).

### 3.1. Transmisijski elektronski mikroskop

TEM daje sliku unutarnje građe tvari, ali kako se radi na vrlo tankim uzorcima ne može se dobiti dubinska slika. Primjena elektronske mikroskopije u proučavanju materijala napokon je omogućila izravno promatranje pojave koje su dotad bile samo teorijski opisane ili neizravno dokazivane: defekata rešetke, uklopaka druge faze, granica zrna i sl.

Klasični TEM omogućuje povećanja od oko 200 000 puta. Razlučivost koja se može postići ovisi o kontrastu, a viša je kad se razlučuju dvije usporedne linije nego dvije točke. To omogućuje izravno promatranje ekvidistantnih ploha kristalnih rešetaka. Kontrast nije posljedica apsorpcije kao u svjetlosnoj mikroskopiji, već raspršenja elektrona na atomima uzorka. Kako atomi više atomske mase jače raspršuju elektrone, manje njih prolazi kroz otvor *zaslonu* ili

blende, pa su ta područja slike tamnija. Tako se uporabom užih objektnih zaslona postiže bolji kontrast, ali istodobno cijela slika postaje tamnija, jer se propušta manje ukupne "svjetlosti". Isti utjecaj na kontrast i ukupno osvjetljenje slike ima i smanjivanje napona ubrzanja pri radu. Kontrast na slici posljedica je i različite debljine uzorka, jer se elektroni znatnije raspršuju ako moraju prolaziti kroz deblji sloj.

Elektroni se difraktiraju na kristaličnim uzorcima jednako kao i rendgensko zračenje, što omogućuje difrakcijsku analizu uzorka na potpuno istim postavkama. U kristaličnim uzorcima kontrast između različitih zrna mijenja se zakretanjem uzorka, da bi se kut zakrenutosti pojedinog zrna poklopio s pozitivnom interferencijom difraktiranih elektrona. Kako su kutovi difrakcije zbog male valne duljine elektrona vrlo mali, dovoljno je zakrenuti uzorak za nekoliko stupnjeva. Ta pojava omogućuje i snimanje uzorka u *tamnom polju*: na difrakcijskoj slici odabere se i centrira difrakcijski maksimum koji odgovara određenoj orijentaciji kristala. Tada se na slici kao svjetli vide samo kristali koji su te orijentacije, tj. na kojima nastaje pozitivna interferencija upadnog elektronskog snopa.

Kod TEM-a najzahtjevniji dio rada je priprava je uzorka, koji ne smiju biti deblji od 200 nm da bi elektroni mogli proći kroz njih. To je vjerojatno najsloženiji i vremenski najzahtjevniji dio postupka u elektronskoj mikroskopiji. Tako mikroskopi mogu stajati neiskorišteni ili ne rade kako valja zbog neodgovarajuće opreme za pripravu uzorka.

### *3.2. Skenirajući elektronski mikroskop*

SEM rabi fokusirani snop elektrona visoke energije koji sustavno prelazi preko površine uzorka. Pritom međudjelovanjem s uzorkom nastaju *sekundarni elektroni* nižih energija koji se detektiraju i prikazuju na ekranu koji radi poput televizora. IsCRTavanje slike na katodnoj cijevi ekrana sinkronizirano je s prelaženjem snopa preko uzorka, pa povećanje ovisi o površini uzorka koja se skenira. Elektroni s dijela uzorka koji je okrenut od detektora djelomično su zaklonjeni samim uzorkom, tako da je ta površina tamnija od one okrenute detektoru. Prema tome, dobivena slika predmeta prividno je osvijetljena iz

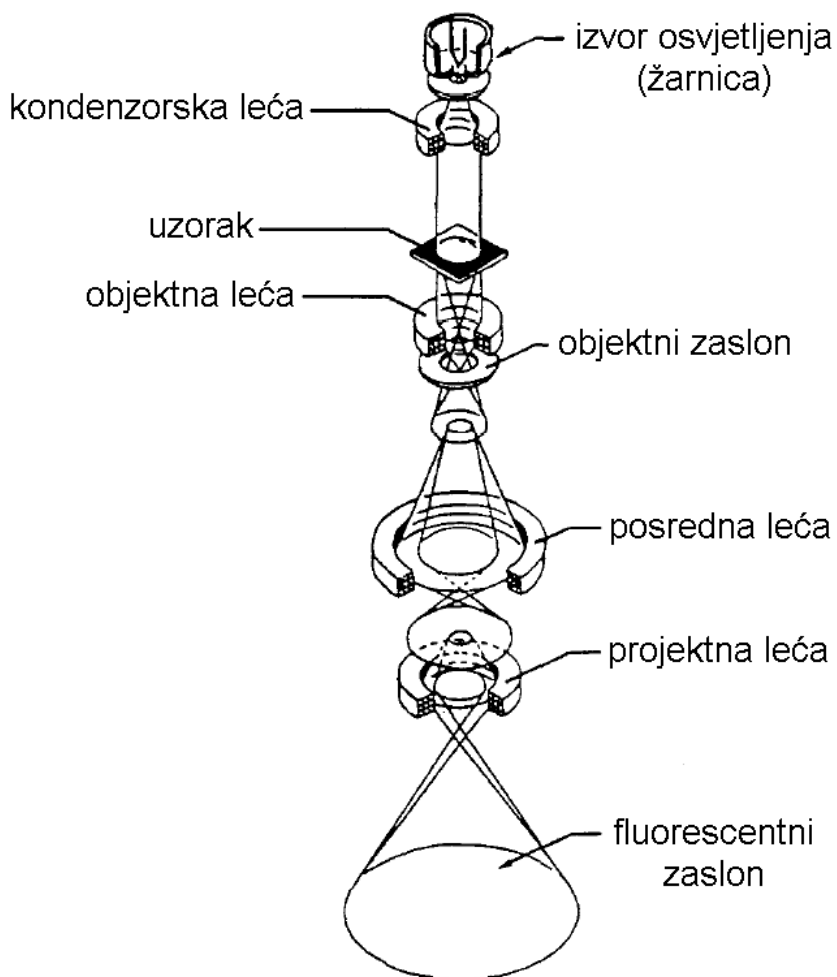
smjera detektora. Kako su sekundarni elektroni nižih energija, uzorak lako resorbira sve osim onih koji dolaze s površine, pa SEM daje izvrsnu sliku površine, ali isključivo nje. Obratno od TEM-a, kod SEM-a atomi veće atomske mase daju više sekundarnih elektrona pa time i svjetliju sliku. Kontrast dodatno pojačava izraženija emisija elektrona s vrhova i rubova uzorka te s kosih površina koje daju razmjerno više elektrona. Osim vrlo dobre razlučivosti, prednost je SEM-a velika *dubina polja* (tj. područja u kojem je predmet u fokusu) pri svim povećanjima. Zahvaljujući malom aperturnom kutu ona je nekoliko puta veća nego u optičkoj mikroskopiji.

### 3.3. Izvedba elektronskog mikroskopa

U mikroskopu, izvor elektronskog snopa je *žarnica*, katoda od volframa, koja se nalazi na vrhu kolone mikroskopa. Kad se na katodu narine napon ubrzanja, oslobođaju se elektroni čija je brzina, pa time i valna duljina, određena tim naponom. Povećanjem struje koja teče kroz katodu povećat će se i količina emitiranih elektrona, no samo do određene granice, *struje zasićenja* pri kojoj se dobiva optimalan omjer količine elektrona prema struji. Dok je za TEM poželjan što veći napon (do 200 kV) da bi elektroni lakše prolazili kroz uzorak, za SEM preveliki napon šteti razlučivanju površine upravo zbog prejakog prodiranja u dubinu uzorka. Stoga se za SEM rabe manji naponi od 1 do 50 kV. Da bi se postiglo bolje i usredotočenije osvjetljenje te bolja monokromatičnost elektronskog snopa, rabe se katode od lantanskog heksaborida, LaB<sub>6</sub>. Te katode traže vrlo visoki vakuum koji se postiže tek ionskim pumpama, a ni izrada monokristala LaB<sub>6</sub> nije jednostavna. I volfram i LaB<sub>6</sub> *termionski* su izvori iz kojih se elektroni oslobođaju zagrijavanjem. Postoje još i "hladni" izvori *emisijom polja*, kod kojih se elektroni oslobođaju iz precizno orijentiranog kristala volframa pomoću električnog polja. Ti izvori emitiraju s još manjeg područja, pa se time postiže bolja razlučivost i dubina polja kod SEM-a.

Optički sustav u TEM-u (slika 18) odgovara onom klasičnih mikroskopa i sastoji se od tri glavne leće: kondenzorske kojom se regulira širina pa time i intenzitet snopa, objektne kojom se fokusira snop na uzorak i projektne kojom se dobiva konačno povećanje slike. Moderni TEM obično ima dvije kondenzorske

leće, od kojih jedna služi za ograničenje područja uzorka koje snop osvjetljuje da bi se smanjio utjecaj snopa na uzorak i moguća oštećenja. Objektna leća obuhvaća uzorak i najvažnija je od svih leća, jer njezina optička pogreška određuje granice razlučivosti instrumenta. Kako je riječ o elektromagnetskoj leći, magnetsko polje u blizini uzorka prilično je jako. To ograničava primjenjivost TEM-a u proučavanju magnetskih materijala, posebno ako je potrebna visoka razlučivost. Sklop projektnih leća koje se nalaze ispod uzorka služi isključivo postizanju različitih stupnjeva povećanja. U SEM-u nije potrebna projektna leća, jer sliku daju odbijeni elektroni.



Slika 18 – Optički sustav transmisijskog elektronskog mikroskopa

Zasloni se također dijele na kondenzorske, objektne i projektne. Oni služe za ograničavanje snopa elektrona, te povećanje kontrasta i dubine vidnog polja. Kod SEM-a objektni zasloni služe za smanjenje optičke pogreške leće. Manji

otvori zaslona daju bolji kontrast i dubinu polja, ali smanjuju osvjetljenje uzorka. Dubina polja u SEM-u može se poboljšati i udaljivanjem uzorka od objektne leće, ali time se smanjuje razlučivost.

Obje vrste elektronskih mikroskopa moraju raditi u vakuumu, da ne bi izgorjela vrela žarnica i da elektroni mogu slobodno prolaziti kroz kolonu mikroskopa. U suprotnom došlo bi do njihovog raspršenja sudaranjem s molekulama zraka, pa bi im prosječni slobodni put bio kraći od duljine kolone. Vakuum također pomaže održavanju čistoće kolone, a time i dobre fokusiranosti snopa. Naime, vlaga iz zraka može izazvati koroziju, a eventualna prašina može blokirati snop ili se nabiti pa ga svojim utjecajem otklanjati. Vakuum se postiže spregom mehaničkih rotacijskih pumpi s difuzijskim pumpama. Rotacijske pumpe spuštaju tlak zraka do niskog vakuma na kojemu mogu raditi difuzijske pumpe, koje onda stvaraju pravi vakuum. Ako je potreban još veći vakuum, rabe se ionske pumpe.

**Literatura:**

Ivan Filipović i Stjepan Lipanović, *Opća i anorganska kemija I dio – opća kemija*, IX. izdanje, Školska knjiga, Zagreb, 1995.

Aleksandar Bezjak, *Cement* 7(2) (1963) 51; *Cement* 7(4) (1963) 147.

Harald Krischner, *Einführung in die Rendgenfeinstrukturanalyse*, 3. prerađeno izdanje, Friedr. Vieweg & Sohn, Braunschweig, 1987.

Christopher Hammond, *The Basics of Crystallography and Diffraction*, Oxford University Press, 1997.

J. B. Bindell: *SEM: scanning electron microscopy*, i K. E. Sickafus: *TEM: transmission electron microscopy*, u *Encyclopedia of materials characterization: surfaces, interfaces, thin films*, Ur: C. R. Brundle, C. A. Evans Jr., S. Wilson, Butterworth-Heinemann, Stoneham, 1992



## Staklokeramika

S. Kurajica, FKIT

## Cilj predavanja

- Definirati staklokeramiku
- Ukazati na svojstva ovog materijala
- Opisati i objasniti proces kristalizacije stakla
- Definirati i opisati procese nukleacije i kristalizacije
- Utvrditi čimbenike koji definiraju svojstva staklokeramike
- Utvrditi kako uticati na ove čimbenike
- Ukazati na važnost izbora početnog sastava
- Opisati mehanizme djelovanja nuklearata
- Opisati proces termičke obrade stakla koji dovodi do kristalizacije
- Opisati proces proizvodnje staklokeramike
- Ukazati na pojedina svojstva staklokeramike
- Ukazati na važnije vrste staklokeramike
- Pretpostavlja se da su znanja o staklu, svojstvima stakla, strukturi stakla, sirovinama stakla, procesu proizvodnje stakla, procesu nukleacije i rasta kristala već usvojeni



## Uvod



- Keramika i staklo – fizičkim svojstvima dominira amorfna faza
- Fizička svojstva mogu se značajno poboljšati kompletnom kristalizacijom, osobito ako je moguće postići malu veličinu kristala
- Nastojanja pri dobivanju ovakvog materijala dovela su do otkrića staklokeramike
- Staklokeramika je polikristalinična krutina dobivena kontroliranom kristalizacijom stakla
- Kristalizacija se postiže podvrgavanjem stakla prikladnog sastava te povećanjem temperaturi u skladu sa potrebnim razinama rastota
- Kristalizacija može biti potpuna, najčešće je djelomična (preostaje nešto staklene faze)
- Nastali kristali su slučajno orientirani u staklu
- Materijal se razlikuje od klasične keramike jer kristalne faze nastaju samo procesom nukleacije i rasta dok su u klasičnoj keramici djelomično nepromjenjena sirovina a djelomično nastaju reakcijama u čvrstom stanju
- Razlikuje se i od stakla budući da sadrži kristalne faze dok je staklo u potpunosti amorfno

## Povijest

- 18. stoljeće, Reaumur – oblaganjem stakla smjesom pijeska i gipsa te zagrijavanjem do crvenog usijanja tijekom nekoliko dana dobiva opáki materijal izgledom nalik porculanu ali inferiornih mehaničkih svojstava  
Ne uspijeva postići kontrolu procesa
- 20. stoljeće, Corning Glass Works – otkriće fotoosjetljivih stakala  
Mala količina Cu, Ag ili Au koji, tijekom termičke obrade, precipitiraju u staklu u obliku vrlo malih kristala, osobito ukoliko se prije termičke obrade ozrači UV svjetlom (selektivno ozračivanje – selektivna kristalizacija – formiranje slike)
- Ovaj materijal ne može se smatrati staklokeramikom jer je udio kristalne faze vrlo mali
- ~1950., S. D. Stookey (Corning Glass Works) slučajno je izložio fotoosjetljivo staklo višoj temperaturi od uobičajeno korištene u procesu  
Rezultat je bio opáki polikristalinični keramički materijal veće mehaničke čvrstoće od stakla te bolji izolator od stakla
- Procesom nije došlo do izobličenja objekta niti značajne promjene volumena
- Ovaj materijal smatra se prvom pravom staklokeramikom



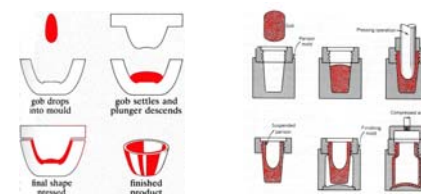
## Prednosti staklokeramike

- Proces proizvodnje staklokeramike sastoji se od proizvodnje stakla koje se oblikuje u željenu formu
- Stakleni objekt se potom podvrgava ciklus termičke obrade koji dovodi do kontrolirane kristalizacije kristalnih faza
- Ovakav način proizvodnje omogućava brojne prednosti:
- Jednostavnost proizvodnje
- Homogenost sastava, uniformna mikrostruktura i neporoznost
- Mogućnost izbora sastava ishodnog stakla, nuklearata te parametara procesa termičke obrade
- Poboljšana svojstva



## Jednostavnost proizvodnje

- Primjena procesa oblikovanja stakla (puhanje, prešanje, lijevanje...) omogućava visoko automatiziranu (brzu) proizvodnju i postizanje relativno složenih oblika
- Proces je jednostavniji i ne zahtijeva sušenje ni pečenje pri kojima dolazi do značajnog skupljanja i postoji rizik od izobličenja
- Pri konverziji stakla u staklokeramiku dolazi do određenih promjena dimenzija, međutim ove su promjene malene i lako se kontroliraju
- Moguće je aplicirati staklo direktno na metal i kontrolirano ga kristalizirati  
Što je znatno jednostavnije od spajanja keramike i metalac

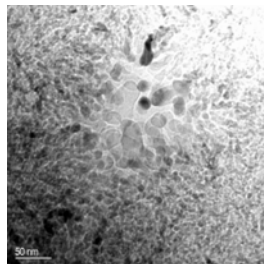


## Homogenost, uniformna mikrostruktura i neporoznost

Budući da nastaje iz kemijski i fizikalno homogenog materijala, a proces kristalizacije je moguće kontrolirati, nastaje neporozan materijal fine, uniformne mikrostrukture.

Kristaliti mogu biti i svega  $0.1 \mu\text{m}$ . Nema pora (koje inače djeluju kao koncentratori naprezanja).

Ovakva struktura povoljno djeluje na mehanička (čvrstoća) i električna (izolator) svojstva.



## Poboljšana svojstva (osobito mehanička), primjerice:

- Čvrstoća od  $6 \times 10^7 - 10^8 \text{ Nm}^{-1}$
- Koeficijent termičkog širenja od  $-20 \times 10^{-7}$  do  $200 \times 10^{-7} \text{ K}^{-1}$
- Optička svojstva od transparentnosti do potpune neprozirnosti
- Kemijska postojanost od potpune inertnosti do topivosti
- Električna svojstva od poluvodiča do izolatora



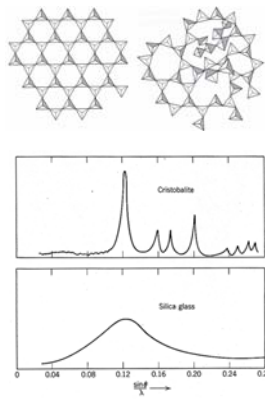
## Mogućnost izbora sastava ishodnog stakla, nukleatora te parametara procesa termičke obrade



- Na ovaj način moguće je utjecati na vrstu kristala koji procesom nastaju, njihove udjele u materijalu i na mikrostrukturu materijala
- Na ovaj način moguće je kontrolirati fizička svojstva staklokeramičkog materijala u skladu s ciljanom namjenom materijala
- Primjerice koeficijent toplinskog širenja staklokeramike može biti od negativnog, vrlo malenog (dobra dimenzijska stabilnost i otpornost na termoskokove) do vrlo visokog (usklađenost s metalom)
- Kontrola sastava → kontrola svojstava

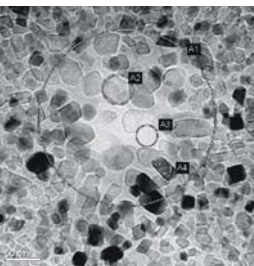
## Stakleno stanje

- Staklo – pothlađena talina, amorfna struktura
- Dokazi amorfne prirode:
- Transparentnost – nema granica zrna koje bi prouzročile raspršenje svjetla
- Difraktogram – "amorfni halo", difraktogram sličan difraktogramu kapljivine
- Izotropnost – svojstva jednaka bez obzira na smjer
- ASTM: staklo je anorganski materijal nastao taljenjem i skrutičavanjem bez kristalizacije
- Struktura taline, većina svojstava čvrstog tijela
- Najispravnije: Kapljivina vrlo velike viskoznosti



## Nastanak stakla

- Hlađenjem taline čiste tvari dolazi do skrutičavanja
- Definirana temperatura skrutičavanja – kristalizacija
- U nekim slučajevima moguće je pothlađiti talinu ispod temperature skrutičavanja bez da dođe do kristalizacije
- Podhladjena talina – metastabilno stanje
- Kristalizacija – diskontinuirana promjena svojstava (npr. volumena) i egzotermni efekti
- Podhladjena talina – ne dolazi do kristalizacije, nema diskontinuirane promjene svojstava niti egzoternog efekta
- Što je temperatura niža tim je veće odstupanje Gibbsove energije pothlađene taline od ravnotežne Gibbsove energije kristalne faze pri određenoj temperaturi
- Sa smanjenjem temperature dolazi do postupnog porasta viskoznosti – onemogućava transport građevnih vrsta i uređenje strukture
- Naposljetku je viskoznost toliko velika da se pothlađena talina ponaša kao krutina

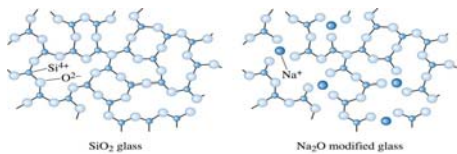


## Kako uticati na ove čimbenike?

- Izbor početnog sastava
- Izbor nukleatora
- Termički tretman

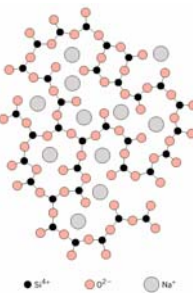
## Struktura stakla – osnovne teorije

- Lebedev – nakupina mikrokristaličnih visokodisperznih kristalita različitih silikata i SiO<sub>2</sub>
- Zachariassen – prostorna, trodimenzionalna, asimetrična mreža koja se od kristala razlikuje neuređenim, aperiodičnim poretkom atoma
- Evolucija hipoteza – staklo ima mikroheterogenu strukturu – postoje područja veće uređenosti koja postepeno prelaze u područja potpune neuređenosti



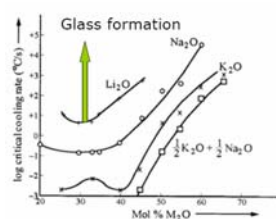
## Kemijski sastav stakla

- Zachariansen**
- Mrežotvorci** – KB 3 ili 4 (Si, B, P, Ge, As, Be)
- Modifikatori** – KB >= 6 (Na, K, Ca, Be)
- Intermedijeri** – KB broj 4 – 6 (Al, Mg, Zn, Pb)
- Mrežotvorci**
- Molekule koje se vežu međusobno tvoreći lance i mreže
- Modifikatori**
- Reduciraju broj Si-O-Si veza, "otvaraju" mrežu
- Olkšavaju taljenje
- Čine staklo mekanim i obradivim – viskoznost stakla se smanjuje
- Na i K slabe kemijsku postojanost – lako se otapaju
- Ca se teže izlučuje – staklo kemijski postojano
- Visoke koncentracije destabiliziraju staklo – može doći do kristalizacije
- Intermedijeri**
- Utjecaj na svojstva stakla
- U nekim slučajevima stabiliziraju mrežu i daju kemijsku stabilitet



## Selekcija vrste stakla

- Ponašanje tijekom taljenja i oblikovanja
- Reproducibilnost sastava
- Radne karakteristike
- Nesklonost spontanoj devitrifikaciji
- Kemijska stabilitet
- Kristalizacijska svojstva



## Radne karakteristike

- Određuju koji je proces oblikovanja moguće primijeniti
- Radni interval stakla – u kojem je moguće oblikovati – najčešće počeljno što širi
- Kod stakala za staklokeramiku je uži zbog sastava koji diktiraju ciljane kristalne faze
- Popoljšava ga prisutnost alkalija
- Stakla koja sadrže okside zemnoalkaliničkih metala imaju kratak radni interval
- Al<sub>2</sub>O<sub>3</sub> – visoka viskoznost stakla – potrebno ga je oblikovati na visokoj temperaturi – hlađenje brže – skraćen radni interval
- PbO i ZnO produžen radni interval



## Ponašanje tijekom taljenja i oblikovanja

- Temperatura taljenja < ili = 1600°C
- Više temperature – reakcija stakla s materijalom peći
- Potrošnja energije
- Poželjni 1400-1500°C
- Određeni konstituenti snižavaju talite i homogenizaciju (alkalinski oksidi, osobito Li<sub>2</sub>O)



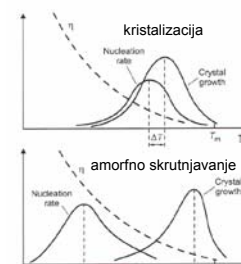
## Reproducibilnost sastava

- Gubitak hlapivih komponenti
- Korozija vatrstalne obloge peći (staklo s puno alk. i zemnolak. oksida, fluoridi)
- Redukcija konstituenata zbog atmosfere u peći



## Nesklonost spontanoj devitrifikaciji

- Izbjeći devitrifikaciju tijekom obrade – nekontrolirana kristalizacija
- Posljedice nekontrolirane kristalizacije (makar i neznačne)
- Loša mehanička svojstva
- Skrćenje radnog intervala
- Naprezanja
- Veliki udio alkalinskih oksida – laka devitrifikacija
- Al<sub>2</sub>O<sub>3</sub> – snižava temperaturu likvidusa te tako spriječava devitrifikaciju (pomak radnog intervala)
- ZnO – sličan ali slabiji efekt



- Velika viskoznost
- Odsutnost nuklearatora
- Mala brzina nukleacije

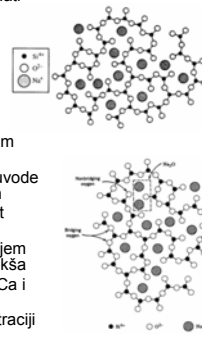
## Kemijska stabilnost stakla

- Važna i tijekom postupka oblikovanja
- Te za kemijsku stabilnost staklokeramike (zaostala staklena faza)
- Nepoželjna prisutnost velikih udjela  $\text{Na}_2\text{O}$  i  $\text{K}_2\text{O}$ , u manjoj mjeri  $\text{Li}_2\text{O}$
- Poželjan udio  $\text{MgO}$  i  $\text{CaO}$
- I  $\text{Al}_2\text{O}_3$  i  $\text{ZnO}$  povoljno djeluju na kemijsku stabilnost
- $\text{B}_2\text{O}_3$  povoljno utječe na stabilnost rezidualnog stakla – koncentracija u rezidualnoj staklenoj fazi



## Kristalizacijska svojstva

- Poželjno je da nije potrebna preduga termička obrada
- Staklena i kristalna faza moraju međusobno dati poželjna fizikalna svojstva
- Neka stakla su izuzetno stabilna (npr.  $\text{K}_2\text{O} \cdot \text{Al}_2\text{O}_3 \cdot 6\text{SiO}_2$ )
- Potrebno je izbjegavati ovakve sastave
- Konflikt u zahtjevima za stabilnošću tijekom oblikovanja i lakoću kristalizacijom
- Primjena nukleusa rješava ovaj konflikt
- Stakla koja lako kristaliziraju odlikuju se velikim udjelom modifikatora
- Modifikatori slabe strukturu stakla (mrežu) – uvođe nevezujuće kisikove ione na mjesto vezujućih
- Što je slabija struktura stakla te je vjerojatnost kristalizacije veća
- Mali kationi teže se okružiti kisikom u uređenjem rasporedu – zbog toga je tranzicija u kristal lakša
- Korisniji Li na Na i K, također korisniji Mg od Ca i Ba
- Međutim, i oni djeluju korisno u većoj koncentraciji
- Zn također djeluje povoljno



## Važnost kontrole kristalizacije

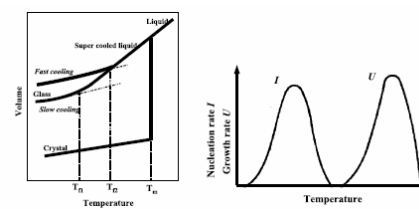
- Iako je temelj procesa formiranja staklokeramike devitrifikacija do nje mora doći na kontroliran način kako bi materijal imao željenu mikrostrukturu i svojstva
- Preuranjenu kristalizaciju potrebno je izbjegići tijekom procesa oblikovanja:

  - visoka naprezanja (razlike u koeficijentu termičkog širenja stakla i kristalne faze)
  - nema kontrole mikrostrukture (vjerojatan nastanak grube mikrostrukture)
  - kristalizacija započinje na površini (kemijski sastav na površini odstupa od sastava stakla, heterogenosti na površini, strukture nesavršenosti) – rast s površine u pravcu centra čestice, orientirane čestice, loša mehanička svojstva



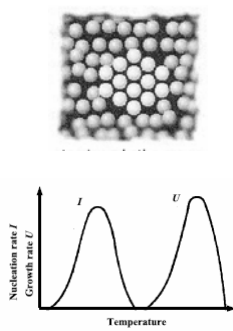
## Kristalizacija pothlađenih kapljevina

- Transformacija do koje ne dolazi istovremeno u cijeloj staklenoj fazi
- Transformacija započinje iz centra nukleacije i nastavlja se rastom kristala
- Dva važna procesa: nukleacija i rast
- Nukleacija: homogena i heterogena
- Homogena: lokalne energetske → strukturne fluktuacije
- Heterogena: strane čestice, sličnost strukture - kataliziraju proces nukleacije



## Nukleacija

- 1925., Tamman: klasična studija kristalizacije u pothlađenim talinama
- Ispod temperature taljenja: temperaturni interval nazvan metastabilna zona – ne dolazi do opazivog stvaranja nukleusa
- Na nižim temperaturama taline kojima viskoznost brzo raste pokazuju maksimume brzine procesa nukleacije i rasta
- Iz slike je jasno da je za nastanak malih kristala nukleaciju potrebno provesti pri temperaturi maksimuma brzine nukleacije



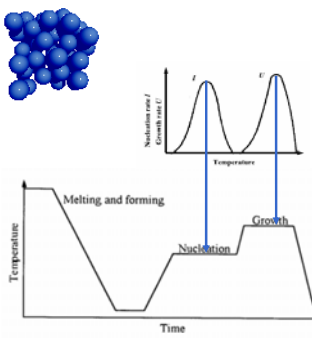
## Odnos brzine nukleacije i viskoznosti

- Slobodna energija nukleacije:  $\Delta G_N = 4/3\pi r^3 \Delta G_v + 4\pi r^2 \gamma$
- Kritična slobodna energija nukleacije:  $\Delta G^* = 16\pi r^3 / 3\Delta G_v^2$
- Kritični radius ( $r^* = -2\gamma / \Delta G^*$ )
- Brzina nukleacije:  $I = \omega C_0 \exp(-\Delta G^*/kT)$
- $\omega$  - vibracijska frekvencija, frekvencija pridodavanja ( $\sim 10^{11} \text{ s}^{-1}$ )
- $C_0$  - gustoća molekula po jedinici volumena ( $\sim 10^{29} \text{ m}^{-3}$ )
- $\omega$  u staklima vezana uz viskoznost, koja ovisi o temperaturi
- Stokes-Einsteinova relacija za atomsku difuzivnost u talinama:  $D = K/T / 3\pi a_0^2 = \omega a_0^2$
- Slijedi da je  $\omega$  inverzno proporcionalna viskoznosti:
- $\eta: \omega = \text{konst}/\eta$
- $\Delta G_v = \Delta H_m \Delta T \cdot T / T_m^2$
- Slijedi da je brzina nukleacije:

$$N = \frac{K}{\eta} \exp \left[ \frac{16\pi}{3kT} \frac{V_m^2 \gamma_{SL}^3}{\Delta H_m^2 \left( \frac{\Delta T \cdot T}{T_m^2} \right)^2} \right]$$

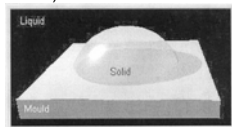
## Heterogena nukleacija

- Da bi se postigla fina mikrostruktura važna za poželjna svojstva staklokeramike nejčešće potrebna heterogena nukleacija
- Optimalno: dodatak nuklearatora → veliki broj centara nukleacije, homogeno raspodijeljenih u staklu
- Prvo je potrebo otopiti nuklearator u talini
- Termičkom obradom razviti nukleuse (precipitacija visoko dispergiranih čestica)
- Termičkom obradom omogućiti rast kristala



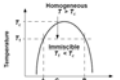
## Svojstva nuklearatora

- Da bi materijal bio djelotvoran kao nuklearator mora imati određena svojstva:
- Mora biti topiv u rastaljenom staklu pri visokim temperaturama ali topljivost se mora smanjiti pri nižim temperaturama da bi došlo do precipitacije
- Nukleacija mora biti brza što ujedno znači da energija potrebna za stvaranje nukleusa mora biti mala
- Površinska energija na granici faza staklo/nukleus mora biti mala
- Energija potrebna za difuziju mora biti malena da bi embriji mogli narasti do veličine stabilnih nukleusa
- Površinska energija na granici faza nukleus / kristalna faza mora biti mala
- Potrebna je strukturalna sličnost između nukleusa i ciljane kristalne faze (kristalna struktura, parametri elementarne celije, koherenčna nukleacija, epitaktički, topotaktički rast)



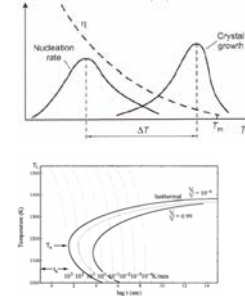
## Razdvajanje faza

- Drugi mehanizam djelovanja
- Oksidi koji u rastaljenom stanju tvore homogenu talinu a pri hlađenju dolazi do separacije faza u dvije amorfne, po kemijskom sastavu različite faze
- Brzim hlađenjem to je moguće izbjegći te proces izazvati naknadno, zagrijavanjem
- Mikrostruktura razdvojenih faza može biti kontinuirana ili diskontinuirana (kapljčasta faza u kontinuiranom matriksu)
- Proces je lakši od precipitacije nukleusa budući da je energija na granici faza kapljivo/kapljivo gotovo zanemariva (za razliku od energije na granici faza kapljivo/čvrsto)
- Jedna od faza (ili čak obje) može biti manje neuređena te će biti potrebna manja energija aktivacije za kristalizaciju nego bi to bio slučaj za osnovno staklo
- Dolazi do homogene nukleacije unutar razdvojene faze
- Moguća je kristalizacija unutar kapljčaste faze dok matriks ostaje amorfan
- Kristali nastali unutar kapljčaste faze mogu poslužiti kao nukleusi faze matriksa
- Moguća je i kristalizacija unutar kontinuirane faze (iako bi to dovelo do nastanka grublje mikrostrukture)



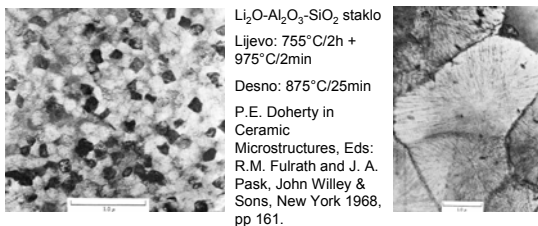
## Rast kristala

- Nakon nukleacije slijedi rast koji se opisuje ovisno o mehanizmu koji kontrolira brzinu reakcije, sustavu, uvjetima eksperimenta, pretpostavkama i aproksimacijama primjenjenim tijekom izvoda jednadžbe itd..
- Rast je također određen termodinamičkim čimbenicima i viskoznošću (difuzija)
- U pravilu se opisuje modelom nukleacije i rasta prema JMA:
- $\alpha(t)=1-\exp[-(kt)^n]$
- Sferični i dendritični rast – morfologija
- Dendritični česci na nižim temperaturama (niži D, međufaza siromašna komponentama kristala, koncentracija najveća na izbocinama



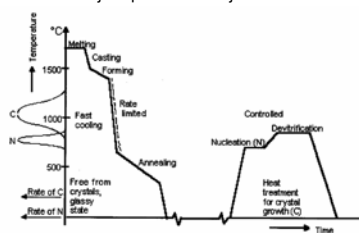
## Razvoj mikrostrukture

- Nukleacija i rast međuovisni su procesi
- Ako se krivulje preklapaju a Ea za proces rasta niža od Ea nukleacije u ukupnom će procesu dominirati rast čestica – nastaju veće čestice
- U obrnutom slučaju (razdvajanje krivulje ili Ea(R) > Ea(N)) stvorit će se veliki broj nukleusa koji će rastom dati manje čestice
- Zato je, u cilju kontrole mikrostrukture najčešće potrebno staklo prvo nukleirati pa tek potom kristalizirati (termička obrada u 2 stupnja)



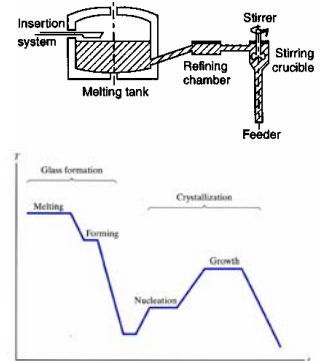
## Termička obrada

- Nukleacija na nešto nižoj temperaturi
- Zadržavanje na temperaturi nukleacije - stvaranje što većeg broja nukleusa (→ fina mikrostruktura)
- Podizanje temperature - kontrola - prebrzo – deformacije i pucanje
- Kristalizacija – zadržavanje na temperaturi kristalizacije
- Brza kristalizacija bez opasnosti da dođe do deformacija (mekšanje preostale staklene faze zbog više temperature)
- Kompletna kristalizacija ili preostanak dijela staklene faze



## Proces proizvodnje

- Sirovine
- Miješanje
- Taljenje
- Bistrenje
- Homogenizacija
- Oblikovanje
- Termička obrada
- Nukleacija
- Kristalizacija



## Svojstva staklokeramike

- Mikrostruktura (fina) i poroznost (mala)
- Gustoča (ovisna o vrsti kristala i udjelu zaostale staklene faze)
- Kemijska stabilnost (staklena faza, hidroliza, korozivni agensi)
- Mehanička čvrstoća (krt materijal, veličina čestica, staklena vlasta, veličina objekta, termička obrada, udio kristalne faze, svojstva površine, temperatura)
- Elastičnost (prema tipu staklokeramike i kemijskom sastavu preostalog stakla)
- Tvrdota, otpornost na habanje (prema tipu staklokeramike)
- Električna vodljivost (vrlo dobar izolator, najčešće veći otpor od ishodnog stakla, ovisno o staklenoj fazi)
- Koeficijent termičkog širenja (od negativnog do vrlo visokog, ovisno o kristalnoj fazi)
- Vatrostalnost (ovisna o kristalnoj fazi ali značajna i zaostala staklena faza, poželjno što manje)
- Toplinska vodljivost (ovisna o kristalnoj fazi, može se postići velika u slučaju kada je to poželjno)
- Otpornost na termošokove (ovisna o koeficijentu termičkog širenja i toplinskog vodljivosti)
- Strojna obradivost
- Fotoosjetljivost
- Biokompatibilnost

## Primjena

- Ležajevi (čvrstoća i otpornost na abraziju, glatka površina)
- Pumpa (za abrazivne suspenzije)
- Vodilice (konac) i usinici (ekstruderji)
- Motori s unutarnjim izgaranjem (djelovi izloženi termičkim naprezanjima)
- Katalitički konverteri
- Brtvičko i vezivo (staklo teče, dobro kvasi spoj, termička obrada – devitrifikacija, vatrostalnost, vakuumski cijevi)
- Cijevi, mjerna oprema (otpornost na koroziju)
- Izolatori (veliki otpor i čvrstoća, omogućavaju korištenje manjih dijelova)
- Kondenzatori (serija metala i tankih filmova staklokeramike – moguće izvlačiti tanke filmove)
- Modifikator nuklearne reakcije (šipke u reaktorima, apsorpcija neutrona, velika količina borova oksida, vatrostalnost)



## Pyroceram<sup>R</sup> i Visions<sup>R</sup>

- Posuđe za jelo i kuhanje (dobra toplinska vodljivost, mali koeficijent toplinskog širenja, otpornost na termošokove, čvrstoća, otpornost na abraziju)
- Ploče štednjaka (sve gore navedeno)
- Izmjenjivači topline (kemijska stabilnost, mali koeficijent termičkog širenja)
- Dijelovi peći (otpornost na termošokove, oksidaciju i koroziju na visokim temperaturama)



Pyroceram™ – sustav  $\text{Li}_2\text{O}-\text{Al}_2\text{O}_3-\text{SiO}_2$   
Corning Ware 9608 - bazirana na  $\beta$ -spodium,  $\text{LiAlSi}_2\text{O}_6-\text{SiO}_2$

Visions™ – zbog dobre nukleacije s  $\text{TiO}_2$  i  $\text{ZrO}_2$  nastaju nanokristali – transparentna staklokeramika

## Foturan<sup>R</sup>, Radomes<sup>R</sup>

- Supstrati za mikročipove, LCD TFT ekrane (koeficijent termičkog širenja jednak Si, kemijska stabilnost)
- Substrati za HDD, spinel-enstatitna staklokeramika (tvrdota, izolatorska svojstva, visoka točka mešanja)
- Fotosenzitivna staklokeramika bazirana na litijevom disilikatu,  $\text{Li}_2\text{Si}_3\text{O}_8$  - kristalna faza koju je moguće selektivno jetkati (UV zračenje) u cilju fine obrade (supljine, kanali) - Foturan<sup>R</sup>, Fotoceram<sup>R</sup>.
- Radomes<sup>R</sup> - Corning 9606, kordijerita staklokeramika - Zaštitna kućišta radara - letjelice, projektili, (transparentnost na radarske zrake, visoka čvrstoća na visokim temperaturama, otpornost na termošokove, kemijska otpornost – hidroliza)



## MACOR<sup>R</sup>

- Strojno obradiva staklokeramika, bazirana na fluorom flogopitu,  $\text{KMg}_3\text{AlSi}_3\text{O}_{10}\text{F}_2$ , s dodatkom  $\text{B}_2\text{O}_3$  i  $\text{SiO}_2$ . Flogopit je tinjac – kalav
- Precizna obrada, niske tolerancije, odlična fizikalna svojstva



Properties	SiMetric
Temperature Limit	1000 °C
Dielectric Constant @1000 °C	4.32
Dielectric Strength, AC or DC (at .01" thickness, 25°C)	40KV/mm
DC Volume Resistivity at 25°C	>10 <sup>12</sup> ohm-cm
Thermal Conductivity at 25°C	1.46 W/m °C
Coefficient of Expansion 25-300°C	9.3 x 10 <sup>-6</sup> °C
Density, g/cm <sup>3</sup>	2.52
Modulus of Elasticity at 25°C	64 GPa
Porosity	0

Silicon -	$\text{SiO}_2$	46%
Magnesium -	$\text{MgO}$	17%
Aluminum -	$\text{Al}_2\text{O}_3$	16%
Potassium -	$\text{K}_2\text{O}$	10%
Boron -	$\text{B}_2\text{O}_3$	7%
Fluorine -	F	4% 12

## Zerodur<sup>R</sup>

- Staklokeramika s niskim koeficijentom termičkog širenja, sadrži uglavnom  $\beta$ -kvarc.
- Primjena: teleskopska ogledala, prstenasti laseri

oxide	wt %	mol %	function
SiO <sub>2</sub>	55.4	63.8	form beta-quartz ss
Al <sub>2</sub> O <sub>3</sub>	25.4	17.2	form beta-quartz ss
P <sub>2</sub> O <sub>5</sub>	7.2	3.5	form beta-quartz ss
Li <sub>2</sub> O	3.7	8.6	form beta-quartz ss
MgO	1.0	1.7	form beta-quartz ss
ZnO	1.6	1.4	form beta-quartz ss
Na <sub>2</sub> O	0.2	0.2	improve glass melting
K <sub>2</sub> O	0.6	0.4	improve glass melting
TiO <sub>2</sub>	2.3	2.0	nucleating agent
ZrO <sub>2</sub>	1.8	1.0	nucleating agent
As <sub>2</sub> O <sub>3</sub>	0.6	0.2	fining agent



Ring Laser Gyroscope (RLG)

## Termička izolacija raketoplana



## Literatura

- Glass-Ceramics (1979), P.W. McMillan, Academic Press, New York.
- Glass-Ceramic Technology (2002), W. Höland & G. Beall, The American Ceramic Society, Westerville, OH.
- Physical Ceramics (1997), Y.-T. Chiang, D.P. Birnie III, W.D. Kingery, Wiley, New York, pp430-450.
- Materials Principles & Practice, Butterworth Heinemann, Edited by C. Newey & G. Weaver.



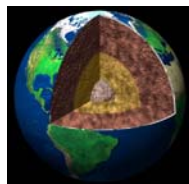
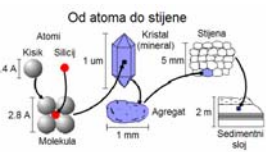
## Sažetak

- Staklokeramika je polikristalinična krutina dobivena kontroliranom kristalizacijom stakla
- Prednosti: jednostavnost proizvodnje, homogenost sastava, uniformna mikrostruktura i neporoznost, mogućnost izbora sastava ishodnog stakla, nuklearatora te parametara procesa termičke obrade, poboljšana svojstva
- Čimbenici koji definiraju svojstva staklokeramike: svostva kristalne faze, veličina kristala, veze unutar kristala, orijentacija kristala, udio kristalne faze, raspodjela zaostale staklene faze
- Kako uticati na nju: izbor sastava, nuklearatora, i termičkog tretmana
- Sastav stakla, nuklearatori, mehanizam djelovanja nuklearatora
- Proces termičke obrade stakla - proces proizvodnje staklokeramike
- Proces kristalizacije: nukleacija i rast, mikrostruktura
- Ukazati na pojedina svojstva staklokeramike: mikrostruktura, poroznost, gustoća, kemijska stabilnost, mehanička čvrstoća, elastičnost, tvrdoća, otpornost na habanje, električna vodljivost, koeficijent termičkog širenja, vatrostalnost, topilska vodljivost, otpornost na termošokove, strojna obradivost, fotoosjetljivost, biokompatibilnost
- Primjeri staklokeramike

## Minerali, stijene, zemljina kora

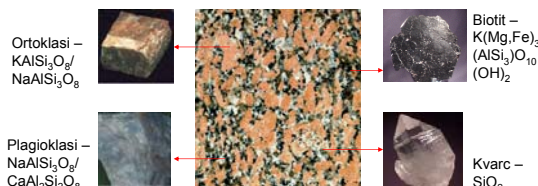
- Minerali izgrađuju stijene a stijene izgrađuju zemljinu koru

- Zemljina kugla: kora (od površine do Moho diskontinuiteta, ~40 km – od 6 km ispod oceana do 70 km ispod kontinenata), plasti (40-2900 km) i jezgra (2900-6371 km)
- Plać je građen od ultrabazičnih stijena dok je jezgra slijina Fe i Ni
- Udio O (49.5 mas.%) i Si (25.7 mas.%) - silikati najzastupljeniji minerali u zemljinoj kori
- Mali broj minerala izgrađuje većinu zemljine kore - najviše: kvarc, feldspati (ortoklasi i plagioklasi), tinici (biotit i muskovit), amfiboli (hornblenda), pirokseni (augit) i olivini



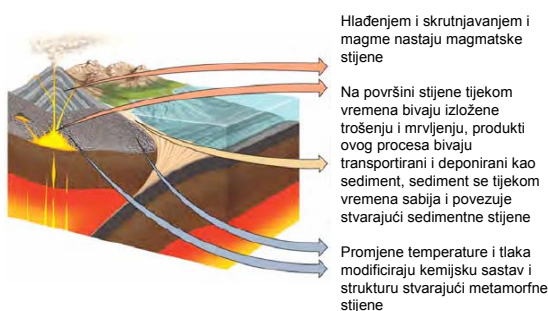
## Stijene

- Stijene su prirodni mineralni agregati
- Stijene ulaze u sastav zemljine kore kao samostalne i jasno ograničene mase
- Stijena može biti monomineralna ili složena, vezana ili rastresita, polikristalne ili amorfne grade
- Većina stijena su polimineralni agregati (granit se npr. sastoji od kvarca, feldspata i liskuna + akcesorni minerali: cirkon, magnetit, apatit), (vapnenci-monomineralne stijene - sastoje se samo od kalicita)



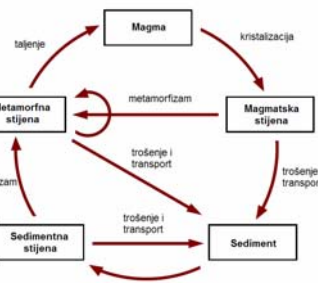
## Nastanak stijena

- Stijene nastaju kristalizacijom iz magme (magmatske stijene), prekristalizacijom u čvrstom stanju ranije kristaliziranih magmatskih minerala (metamorfne stijene), te taloženjem (sedimentne stijene)



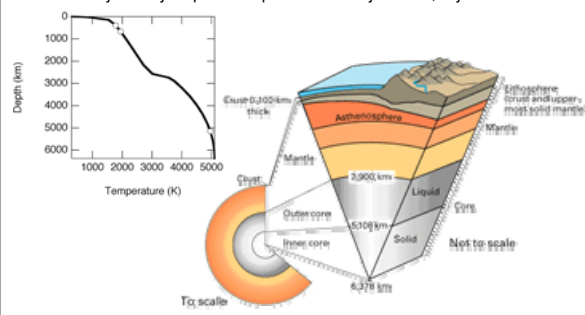
## James Hutton – proces kontinuirane međusobne transformacije stijena

- Stijene se transformiraju jedne u druge
- Magmatske – nastaju kristalizacijom magme te taljenjem drugih stijena (pri čemu barem kratko, prije potpunog taljenja, bivaju metamorfne) i kristalizacijom
- Sedimentne – akumulacijom materijala nastalog fizikalnim, kemijskim i biološkim procesima (trošenjem, transportom, depozicijom i litifikacijom)
- Metamorfne – izlaganjem povisenoj p i T dolazi do preobrazbe teksture, strukture, mineralnog i kemijskog sastava



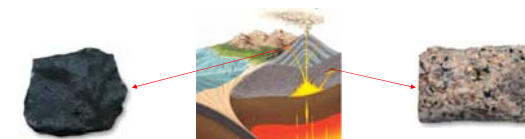
## Temperaturni profil Zemlje

- Hlađenje Zemlje - prauzrok postanka Zemljine kore, stijena i minerala



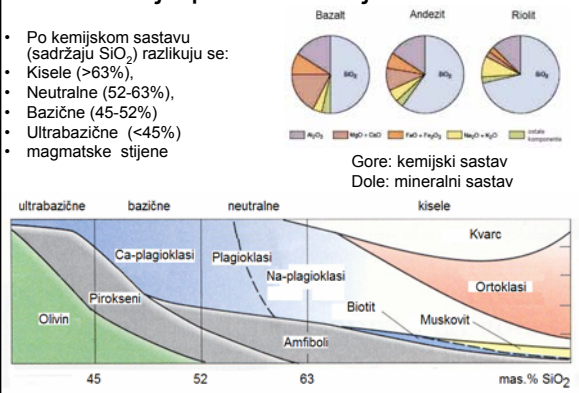
## Magmatske (eruptivne) stijene

- Magma je prirodna silikatna talina, u sastav magme ulazi veliki broj kemijskih elemenata
- Kristalizacijom magme nastaju magmatske stijene
- Magmatske stijene su redovito silikatnog sastava
- Dijele se prema načinu pojavljivanja i kemijskom sastavu
- Po načinu (mjestu) pojavljivanja, odnosno po teksturi, magmatske stijene dijele se na:
- Dubinske (intruzivne, plutonske) koje nastaju, kristalizacijom magme u dubini (sporo hlađenje → veliki, vidljivi kristali, npr. granit) i
- Površinske (efuzivne, vulkanske) koje nastaju ohlađivanjem na površini (brzo hlađenje → mali, nevidljivi kristali, npr. bazalt)



## Klasifikacija prema kemijskom sastavu

- Po kemijskom sastavu (sadržaju  $\text{SiO}_2$ ) razlikuju se:
- Kisele ( $>63\%$ ),
- Neutralne (52-63%),
- Bazične (45-52%)
- Ultrabazične ( $<45\%$ )
- magmatske stijene

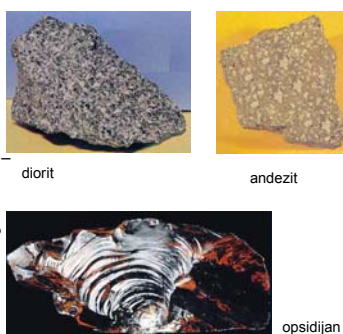


## Usporedba

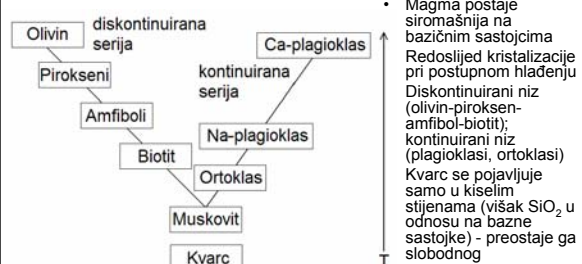


## Mikrostruktura

- Dva osnovna tipa mikrostrukture: zrnata (granularna) i porforna
- Zrnata - potpuna kristaliziranost, grubo zrnati kristali, približno jednake veličine, međusobno se dodiruju, više akcesornih minerala – intruzivne
- Porforna – fino-zrnati ili amorfni matriks sa 0-50% kristala suspendiranih u matriksu (fenokristali ili utrisci) – efuzivne (rana polagana kristalizacija + erupcija)
- + posve staklasta



## Slijed kristalizacije magme- Bowenova serija (niz)



## Sedimentne stijene

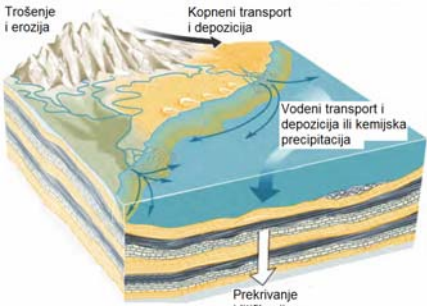
- Nastaju taloženjem u vodi ili na zraku materijala nastalog kemijskim, fizikalnim i biološkim procesima
- Javljuju se u obliku pločastih masa koje se prostiru na velikim površinama i relativno malim debjinama
- Za razliku od magmatskih stijena sedimentne stijene stvaraju se samo na površini zemlje
- Čine svega 5 % ukupnog volumena Zemljine kore ali značajne jer su na i blizu površine (u Hrvatskoj izgradjuju više od 90 % terena)
- Budući da nastaju procesom sedimentacije osnovna im je značajka slojevitost



## Nastanak sedimentnih stijena

- Formiraju se na 5 osnovnih načina:
  - Depozicijom ostataka nastalih trošenjem magmatskih i metamorfnih stijena (klastične sedimentne stijene) – Šljunak, konglomerati, breče, pijesci i pješčenjaci, muljevi i mulnjaci, siltovi, šejlovi i gline
  - Depozicijom materijala nastalog biogenom aktivnošću (biogene sedimentne stijene)
    - zoogene: vapnenac, dolomit, dijatomomska zemlja, fosfati
    - fitogene: ugljeni, i
    - zoogene i fitogene: nafta, asfalt
  - Precipitacijom iz otopina (kemijske sedimentne stijene) – evaporiti (halit, gips), željezoviti sedimenti, gline iz kemijskih otopina
  - Vulkanoklastični – tufovi, vulkanski pepeo
  - Rezidualni – boksiti
- Jednostavnija podjela – minerogene (mehanički i kemijski talozi) i organogene (zoogene i fitogene)
- Prema kemijskom sastavu dijele se na karbonatne, silikatne i evaporitne

## Proces nastanka sedimentnih stijena



- Njihov postanak vezan je uz fizikalno-kemijsko raspadanje starijih stijena (na čestice i otopljene molekule), transport, taloženje ili sedimentaciju te litifikaciju (okamenjivanje) zbijanjem i cementacijom

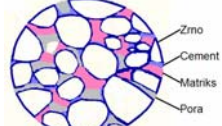
## Trošenje

- Razarači procesi koji mijenjaju fizikalna i kemijska svojstva stijena na površini Zemlje
- Mehaničko trošenje – razaranje bez promjena u kemijskom i mineraloškom sastavu
- Posljedica smrzavanja, širenja i skupljanja pri temperaturnim promjenama, abrazivnog djelovanja vode i vjetra i organske aktivnosti
- Kemijsko trošenje – agensi iz atmosfere i hidrosfere kemijski reagiraju sa stijenama i mijenjaju nijihovi kemijski i mineraloški sastav
- Posljedica otapanja, hidrolize i oksidacije



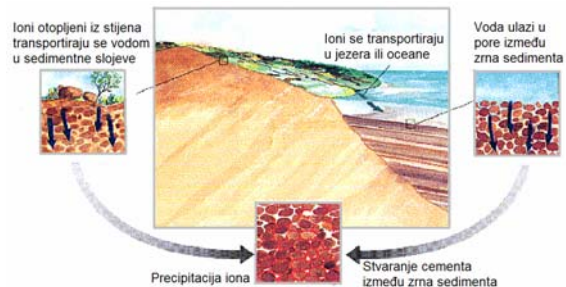
## Mikrostruktura sedimentnih stijena

- Prema morfolojiji dijele se na klastične i neklastične
- Klastične stijene sastavljene su od čestica nastalih razaranjem drugih stijena
  - Krupno-zrnati klastiti ( $>2$  mm) – šljunak, konglomerati (zaobljeni fragmenti), breče (angularni fragmenti)
  - Srednje-zrnati klastiti (areniti) ( $63\text{ }\mu\text{m} - 2\text{ mm}$ ) – pjesak, pješčenjaci
  - Sitno-zrnati klastiti (lutiti) ( $>63\text{ }\mu\text{m}$ ) – silt, siliti, glina, glinjaci, mulj, mulnjaci, šejlovi
- Neklastične mogu biti kemijske, nastale kristalizacijom iz otopine i biokemijske, nastale taloženjem organskih tvari ili anorganskih skeletnih dijelova organizama



## Dijageneza

- Prirodno očvršćivanje sedimentnih stijena naziva se dijageneza, geološka starost sedimentnih stijena procjenjuje se prema napretku procesa dijogeneze i metamorfoze



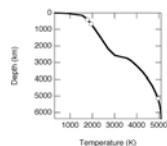
## Metamorfne stijene



- Nastaju procesom metamorfoze (preobrazbe) magmatskih, sedimentnih i samih metamorfnih
- Pod metamorfozom se podrazumijevaju svi procesi, fizički i kemijski, koji se zbivaju u dubini zemljine kore pri visokom tlaku i temperaturi ili djelovanjem mineralnih otopina, a koji mijenjaju strukturu, mineraloški i kemijski sastav polazne stijene
- Metamorfizam - proces prilagodavanja stijena novim ravnotežnim uvjetima
- Do metamorfoze dolazi u dubljim dijelovima kore i u gornjem platu – procesi u čvrstom stanju (bez taljenja)
- (Površinsko starenje stijene pod utjecajem atmosferilija nije metamorfoza)

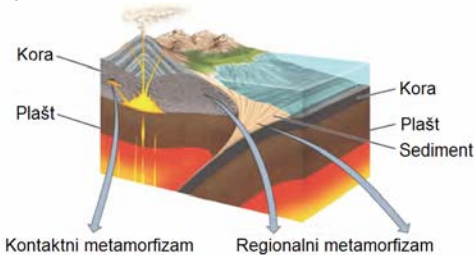
## Postanak minerala metamorfnih stijena

- Glavni čimbenici:
- Sastav ishodne stijene (protolita)
- Temperatura
  - geotermalni gradijent (povećanje temperature s dubinom)
  - utiskivanje magme
  - trenje duž rasjednih linija
- Tlak
  - Litostatski tlak (sila jednaka u svim smjerovima)
  - Usmjereni tlak (naprezanje, stres, sila izraženja u određenom smjeru)
    - kompresijski ili srušni
- Kemijski aktivan fluid ( $\text{H}_2\text{O}$ ,  $\text{CO}_2$ ,  $\text{CH}_4$ ,  $\text{H}_2\text{S}$ )



## Podjela metamorfnih stijena

- Metamorfne stijene dijele se prema obimu i mjestu metamorfoze pa razlikujemo regionalne i kontaktne metamorfne stijene, odnosno regionalni i kontaktni (termalni) metamorfizam
- Regionalne nastaju pri snažnim pokretima u dubini zemljine kore i obuhvaćaju veća područja
- Kontaktnе metamorfne stijene nastaju pri ubrizgavanju magme u okoline stijene

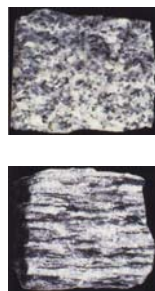


## Tipovi metamorfizma

- Kod regionalnog zajednički djeluju temperatura, i tlak i dovode do preobražaja velikih masa
- Kontaktni (termalni) je prouzročen djelovanjem temperature intruzije koja se utiskuje u ranije nastalu stijenu i lokalnog je karaktera
- Termalni karakteriziraju temperature 100-850°C a regionalni temperature 300-400°C te tlak do 20000 At
- Vapnenac u kontaktu s magmom → mramor
- Termalnom metamorfozom nastaju i granati i volastonit te kordijerit koji može nastati i u regionalnom metamorfozom
- Andaluzit u disten nastaju metamorfozom glinenih stijena, andaluzit u regionalnom distenu
- Tipovi metamorfizma prema glavnom čimbeniku u procesu metamorfoze:
- Kataklastični (glavni čimbenik tlak)
- Termalni (glavni čimbenik temperatura)
- Dinamotermalni (i tlak i temperatura)

## Morfologija metamorfnih stijena

- Granularna (zrnata) mikrostruktura - tlak pri nastanku nije usmjeren
- Lističi ili pločice rastu nasumično orientirani
- Tipično za kontaktni metamorfizam
- Folijacijska mikrostruktura – metamorfizam uz deformaciju (kompresijsko naprezanje)
- Lističi ili pločice orientiraju se okomito u odnosu na silu – stvara se stijena izražene folijacije
- Tipično za regionalni metamorfizam



## Stupanj metamorfoze

- Izvorna stijena šejl
- Ovisno o stupnju metamorfoze različite stijene
- Osim od šejla gnajs može potjecati i od granita ili andezita

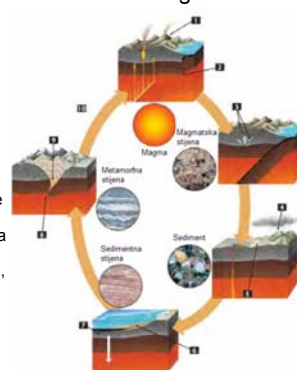


- Mramor – nizak stupanj metamorfoze (izvorna stijena vapnenac)
- Kvarcit – srednji do visok stupanj metamorfoze (izvorna stijena pješčenjak)



## Zaključak – ciklus transformacije stijena – interakcija tektonskih procesa i klimatskog sustava

- podvlačenje oceanske ploče ispod kontinentalne izaziva izdizanje vulkanskog planinskog lanca
- oslobađanje vode snižava temperaturu taljenja u plaštu i dolazi do dizanja magme
- stvaranje magmatskih stijena
- atmosferilje (kiša)
- smrzavanje, erozija i ispiranje materijala
- transport i taloženje materijala u oceanu
- materijal tone i biva prekriven, dolazi do zbijanja
- organogeni nastanak
- metamorfizam
- taljenje



## Geokemijski procesi nastajanja minerala

- Ovisno o temperaturi razlikuju se sljedeći geokemijski procesi nastajanja minerala
  - Magmatsko nastajanje (pirogeni minerali)
  - Pegmatitsko nastajanje (pegmatitski minerali)
  - Pneumatoliza (pneumatski minerali)
  - Hidrotermalno nastajanje (hidrotermalni minerali)
  - Kristalizacija iz hladnih otopina (hidratogeni minerali)
- Vrijednosti temperature pojedinih procesa mijenjaju u slijedećem nizu:  
 $T_M > T_{Pe} > T_{Pn} > T_H > T_K$
- Biogeno nastajanje (organogeni minerali: fitogeni i zoogeni)
- Sedimentno nastajanje (sedimentni minerali)
- Stvaranje trošenjem, oksidacijom, hidrolizom, formiranje karbonata i sulfida na zraku, tlu i morskom dnu
- Metasomatski procesi
- Rekristalizacija zbog metamorfnih procesa

- Magmatsko nastajanje
- Proces nastajanja kristala kristalizacijom iz magme
- Minerali magmatskog porijekla stvaraju se u dubljim dijelovima litosfere, gdje dolazi do kristalizacije intruzivnih stijena, ili u gornjim dijelovima litosfere, gdje izbacivanjem magme u vidu lave, dolazi do kristalizacije efuzivnih stijena
- Zbog visokih temperatura (700-1200°C) i tlakova pri kojima nastaju naziv pirogeni minerali (prema grč. pyr=atra i genesis=poštanak)
- Primarni minerali i polazni materijal za formiranje drugih minerala
- Broj pirogenih minerala relativno je mali pa je i mineralni sastav litosfere relativno jednostavan
- Samo nekoliko važnih grupa minerala ulazi u sastav stijena, to su minerali iz grupe kvarca, feldspata, feldspatoida, amfibola piroksena, liskuna i olivina
- Ostali minerali, kojih je znatno manje u magmatskim stijenama nazivaju se akcesorni minerali

- Pegmatitsko nastajanje (~600°C)
- Neohlađena magma izvor je velikih, kiselih plinova i para koje prate rastopljenu magmu, radi se najčešće o pregniranoj vodenoj pari, plinovitim HF, H<sub>3</sub>BO<sub>4</sub>, HCl te CO<sub>2</sub>, SO<sub>2</sub>, H<sub>2</sub>S i CH<sub>4</sub>
- Sniženo talište i viskoznost magme – omogućen rast kristala i nastanak akcesornih minerala (koncentracija)
- U određenim fizičko-kemijskim uvjetima ove pare stvaraju pegmatite (Ostatak magme, obogaćen plinovima i parama djeluje na okolne stijene i vrši njihov metasomatski preobražaj)
- Rezultat ovih procesa su brojni minerali: ortoklas, albit, mikroklin, kvarc, turmalin, liskuni, beril, spodumen, rutil, magnetit, halkopirit i dr
- Pneumatoliza 400-600°C
- I dalje je visoka koncentracija agresivnih plinova visoke T i P
- Slijedeći bilo koji smjer slabosti stijene ovi agresivni plinovi prodiru u stijenu i mijenjanju je (kemijska reakcija) te tako dolazi do stvaranja novih, pneumatolitskih minerala, a proces se naziva pneumatoliza (od grč. pneuma=zrak i lizein=razlaganje)
- Ovako mogu nastati liskuni, beril, feldspati te korund

- Hidrotermalno nastajanje 50-400°C
- Kada se plinovi i pare koji prate magmu ohlade toliko da dođe do njihove kondenzacije nastaju hidrotermalni uvjeti
- Vrele vodene otopine agresivnih plinova prolaze kroz pukotine postojećih stijena, otapaju ih ili kemijski reagiraju s njima dajući nove minerale – hidrotermalni minerali
- Kaolinit i drugi glineni minerali uglavnom su nastali hidrotermalnim raspadom feldspata (od nesilikatnih minerala karakteristični su galenit, sfalerit, halkopirit, cinabarit i sl.)
- Kristalizacija iz hladnih otopina
- Nastajanje minerala kristalizacijom iz zasićenih, hladnih, pravih ili koloidnih otopina naziva se hidratogeno nastajanje
- Preduvjet ovog procesa je prethodni raspad i otapanje ranije nastalih minerala
- Kristalizacijom iz otopina nastaje gips, kuhinjska sol i sl.

- Biogeno nastajanje
- Polazni materijal za biogeno nastajanje minerala je organska tvar, biljnog ili životinjskog porijekla
- Neki organogeni minerali su proizvod fizioloških funkcija životinjskog ili biljnog organizma, a drugi su proizvodi truljenja ili raspada ovih organizama
- Ovim procesom nastali minerali nazivaju se organogeni minerali (zoogeni ili fitogeni)
- Gotovo sav kalcit zoogenog je porijekla
- Postanak minerala u sedimentnim stijenama
- Djelovanjem procesa raspadanja, mehaničke i kemijske dezintegracije magmatskih metamorfnih i starih sedimentnih stijena, dolazi do raspadanja primarnih minerala i stvaranja novih mineralnih vrsta
- Pod utjecajem temperaturnih razlika, smrzavanja vode i kristalizacije soli dolazi do fizičkog raspada dok djelovanjem vode, kisika i ugljičnog dioksida dolazi do kemijskih promjena, hidrolize, stvaranja oksida i karbonata

- Minerali otporni na kemijsko trošenje, koji se talože nepromijenjeni nazivaju se rezistentnim mineralima (najčešće silikati poput kvarca)
- Drugu grupu sedimentnih minerala predstavljaju oni koji nastaju trošenjem primarnih silikata (minerali gлина, kaolinit, montmorilonit), aluminijski hidroskidi (hidrargilit, bemit, dijaspor)
- Treću grupu čine željezni i manganski oksidi, djelovanjem H<sub>2</sub>CO<sub>3</sub> na primarne silikatne minerale stvaraju se karbonati, slijedi oksidacija te hidroliza
- U sredinama gdje nije prisutan kisik (morsko dno) nastaju sulfidi
- Dolomit se može stvarati taloženjem iz otopina (primarni dolomit), dolomitizacijom karbonata u ranom stupnju dijogeneze (očvrščavanja) sedimentari i dolomitizacijom karbonata pod uticajem magnezijem bogatih otopina
- To su metasomatski procesi, dolazi do zamjene kalcijskih komponente u karbonatu magnezijskom - magnezijski ion iz otopine prelazi u dolomit, a kalcijski ion iz čvrstog kalcita prelazi u otopinu

- Postanak minerala metamorfnih stijena
- Metamorfizam je proces prilagodavanja stijena novim ravnotežnim uvjetima temperature i tlaka
- Promjenom ovih čimbenika stijene mogu pretrpjeti niz mineralnih, kemijskih i strukturalnih promjena
- Metamorfnii minerali nastaju u dubini zemljine kore gdje se kristalizacija minerala metamorfnih stijena vrši u čvrstom stanju (prekristalizacija)
- Razlikuju se termalni (kontaktni) i regionalni metamorfizam
- Termalni je prouzročen djelovanjem temperature intruzije koja se utiskuje u ranije nastalu stijenu i lokalnog je karaktera
- Kod regionalnog zajednički djeluju temperatura, naprezanje i tlak i dovode do preobražaja velikih masa
- Termalni karakteriziraju temperature 100-850°C a regionalni temperature 300-400°C te tlak do 20000 At
- Silimanit, andaluzit i disten nastaju metamorfozom glinenih stijena, andaluzit termalnom i disten regionalnom
- Termalnom metamorfozom nastaju i granati i volastonit te kordijerit koji može nastati i regionalnom metamorfozom